



การศึกษาสเปกตรัมของรังสีอัลตราไวโอลেตที่จังหวัดนครปฐม

โดย
นายสมเจตน์ ภัทรพาณิชชัย

วิทยานิพนธ์นี้เป็นส่วนหนึ่งของการศึกษาตามหลักสูตรปริญญาวิทยาศาสตรมหาบัณฑิต
สาขาวิชาฟิสิกส์
ภาควิชาฟิสิกส์
บัณฑิตวิทยาลัย มหาวิทยาลัยศิลปากร
ปีการศึกษา 2551
ลิขสิทธิ์ของบัณฑิตวิทยาลัย มหาวิทยาลัยศิลปากร

การศึกษาสเปกตรัมของรังสีอัลตราไวโอดเลตที่จังหวัดนครปฐม

โดย
นายสมเจตน์ ภัตรพานิชชัย

วิทยานิพนธ์นี้เป็นส่วนหนึ่งของการศึกษาตามหลักสูตรปริญญาวิทยาศาสตรมหาบัณฑิต
สาขาวิชาฟิสิกส์
ภาควิชาฟิสิกส์
บัณฑิตวิทยาลัย มหาวิทยาลัยศิลปากร
ปีการศึกษา 2551
ลิขสิทธิ์ของบัณฑิตวิทยาลัย มหาวิทยาลัยศิลปากร

A STUDY OF SOLAR ULTRAVIOLET SPECTRUM AT NAKHON PATHOM

By

Somjet Pattarapanitchai

A Thesis Submitted in Partial Fulfillment of the Requirements for the Degree

MASTER OF SCIENCE

Department of Physics

Graduate School

SILPAKORN UNIVERSITY

2008

บัณฑิตวิทยาลัย มหาวิทยาลัยศิลปากร อนุมัติให้วิทยานิพนธ์เรื่อง “ การศึกษาสเปกตรัมของรังสีอัลตราไวโอลেตที่จังหวัดนครปฐม ” เสนอโดย นายสมเกตุ ภัทรพาณิชชัย เป็นส่วนหนึ่งของการศึกษาตามหลักสูตรปริญญาวิทยาศาสตรมหาบัณฑิต สาขาวิชาฟิสิกส์

.....
(รองศาสตราจารย์ ดร.ศิริชัย ชินะตั้งกุร)

คณบดีบัณฑิตวิทยาลัย
วันที่เดือน พ.ศ

อาจารย์ที่ปรึกษาวิทยานิพนธ์
รองศาสตราจารย์ ดร.เสริม จันทร์ฉาย

คณะกรรมการตรวจสอบวิทยานิพนธ์

..... ประธานกรรมการ
(รองศาสตราจารย์ จำนวนค สำรองมาศ)

...../...../.....

..... กรรมการ
(รองศาสตราจารย์ ดร.พิชัย นามประกาย)

...../...../.....

..... กรรมการ
(รองศาสตราจารย์ ดร.เสริม จันทร์ฉาย)

...../...../.....

49306208 : สาขาวิชาฟิสิกส์

คำสำคัญ : สเปกตรัม/รังสีญูวี/รังสีอัลตราไวโอเลต

สมเจตน์ ภัทรพาณิชชัย : การศึกษาสเปกตรัมของรังสีอัลตราไวโอเลตที่จังหวัดนครปฐม. อาจารย์ที่ปรึกษาวิทยานิพนธ์ : รศ.ดร.เสริม จันทร์ฉาย. 122 หน้า.

ในงานวิจัยนี้ ผู้วิจัยได้ทำการวัดสเปกตรัมรังสีอัลตราไวโอเลตจากดวงอาทิตย์ ด้วยเครื่อง spectroradiometer (Bentham, DMc150) ที่คณะวิทยาศาสตร์ มหาวิทยาลัยศิลปากร จังหวัดนครปฐม (13.82°N , 100.04°E) จากนั้นได้นำข้อมูลสเปกตรัมรังสีอัลตราไวโอเลตจำนวน 1 ปี (มกราคม – ธันวาคม 2551) มาทำการวิเคราะห์ โดยได้ทำการศึกษาการเปลี่ยนแปลงตามเวลาในรอบวันของสเปกตรัมรังสีอัลตราไวโอเลตที่ความยาวคลื่น 305, 310, 315, 320, 340 และ 380 nm พบว่า สเปกตรัมรังสีอัลตราไวโอเลตแปรค่าในลักษณะคล้ายกับกราฟรูปไซน์ (sinusoidal) โดยมีค่าสูงสุดที่เวลาเที่ยงวัน และความเข้มสูงสุดมีค่าเพิ่มขึ้นตามความยาวคลื่น และยังได้ทำการศึกษาการแปรค่าของสเปกตรัมรังสีอัลตราไวโอเลตตามความยาวคลื่นที่ตั้งในสภาพท้องฟ้าปราศจากเมฆ และท้องฟ้าทึ่วไป พบว่าความเข้มสเปกตรัมรังสีอัลตราไวโอเลตมีค่าเพิ่มขึ้นตามความยาวคลื่น หลังจากนั้นผู้วิจัยได้ทำการอินทิเกรตสเปกตรัมรังสีอัลตราไวโอเลตเพื่อให้ได้ค่าความเข้มรังสีอัลตราไวโอเลตเอ (UVA, 320 – 340 nm) รังสีอัลตราไวโอเลตบี (UVB, 280-320 nm) และรังสีอัลตราไวโอเลตที่มีผลต่อผิวหนังมนุษย์ (EUV, 280 – 320 nm) โดยถ่วงน้ำหนักด้วยค่าการตอบสนองของผิวหนัง (จากนั้นได้ทำการศึกษาการแปรค่าตามเวลาในรอบวันของรังสีอัลตราไวโอเลตเอ รังสีอัลตราไวโอเลตบี และรังสีอัลตราไวโอเลตที่มีผลต่อผิวหนังมนุษย์ พบว่า รังสีทั้ง 3 ชนิด มีค่าสูงสุดในตอนเที่ยงวัน ในด้านของการแปรค่าตามฤดูกาลในรอบปี พบว่ารังสีทั้ง 3 ช่วงความยาวคลื่นมีลักษณะการแปรค่าคล้ายกันกล่าวคือมีค่าค่อนข้างสูงในช่วงระหว่างเดือนเมษายน ถึงเดือนกันยายน สุดท้ายผู้วิจัยได้ทำการวิเคราะห์การแจกแจงทางสถิติของ UVA, UVB และ EUV และพบว่าการแจกแจงทางสถิติของ EUV ตลอดทั้งปีที่อยู่ในระดับ High ($125 - 175 \text{ mW/m}^2$) Very high($175-250 \text{ mW/m}^2$) และ Extreme (มากกว่า 250 mW/m^2) มีค่าเท่ากับ 15.2% 14.0% และ 2.9% ตามลำดับ

ภาควิชาฟิสิกส์ บัณฑิตวิทยาลัย มหาวิทยาลัยศิลปากร

ลายมือชื่อนักศึกษา.....

ลายมือชื่ออาจารย์ที่ปรึกษาวิทยานิพนธ์

ปีการศึกษา 2551

49306208 : MAJOR : PHYSICS

KEY WORD : SPECTRUM/UV/ULTRAVIOLET/RADIATION

SOMJET PATTARAPANITCHAI : A STUDY OF SOLAR ULTRAVIOLET SPECTRUM
AT NAKHON PATHOM. THESIS ADVISOR : ASSOC.PROF.SERM JANJAI, Ph.D. 122 pp.

In This work, the spectrum of solar Ultraviolet (UV) radiation were measured by using a spectroradiometer (Bentham, model DMc150) at Silpakorn University (13.82°N, 100.04°E), Nakhon Pathom, Thailand. A one-year period (January – December, 2008) of the spectral data from this measurement was analyzed. A diurnal variation of the ultraviolet spectrum at the wavelength of 305, 310, 320, 340, and 380 nm for clear sky were investigated. The diurnal variation has sinusoidal shapes with the peak at solar noon and the peak spectral irradiance increases with the wavelength. The variation of the spectral irradiance with wavelength under clear and general skies was also presented. The spectral irradiance increase with wavelength for both clear and general sky. Afterward, the spectral UV data were integrated to obtain ultraviolet A (UVA, 320- 380 nm), ultraviolet B (UVB, 280 – 320 nm) and erythemal ultraviolet (EUV, 280 – 320 nm with erythemal response). Diurnal variation of UVA, UVB and EUV showed the peak values at the solar noon. UVA, UVB and EUV have similar seasonal variation with high irradiances during April - September. Statistical distribution of UVA, UVB and EUV was also investigated. It was found that percentages of the number of hour with high ($125 - 175 \text{ mW/m}^2$), very high ($175-250 \text{ mW/m}^2$) and extreme ($> 250 \text{ mW/m}^2$) EUV were 15.2%, 14.0% and 2.9%, respectively.

Department of Physics Graduate School, Silpakorn University Academic Year 2008
Student's signature.....
Thesis Advisor's signature.....

กิตติกรรมประกาศ

งานวิจัยในวิทยานิพนธ์นี้ ผู้วิจัยได้รับทุนผู้ช่วยวิจัยจากห้องปฏิบัติการวิจัยพลังงานแสงอาทิตย์ ภาควิชาฟิสิกส์ คณะวิทยาศาสตร์ มหาวิทยาลัยศิลปากร ผู้วิจัยจึงขอขอบพระคุณไว้ ณ ที่นี่เป็นอย่างสูง

ผู้วิจัยขอขอบพระคุณอาจารย์ รองศาสตราจารย์ ดร.เสริม จันทร์ฉาย ซึ่งเป็นอาจารย์ที่ปรึกษาและให้คำแนะนำทางวิชาการ พร้อมทั้งจัดหาทุนวิจัย เครื่องมือ และข้อมูลที่จำเป็นสำหรับใช้ในการดำเนินงานวิจัย และขอบพระคุณอาจารย์ รองศาสตราจารย์ ดร.พิชัย นามประกาย ที่ได้กรุณาเสียเวลาและเวลาในการอบรมการสอบวิทยานิพนธ์ในครั้งนี้เป็นอย่างสูง

ผู้วิจัยขอขอบคุณ ดร.อิสรະ มะศิริ และนักวิจัยของห้องปฏิบัติการวิจัยพลังงานแสงอาทิตย์ มหาวิทยาลัยศิลปากร ทุกท่าน ที่ได้ให้ความช่วยเหลือและให้คำแนะนำในการทำวิทยานิพนธ์ครั้งนี้

นอกจากนี้ ผู้วิจัยขอขอบคุณ Dr.Manuel Nunez และ Dr.Gunther Seckmaya ผู้เชี่ยวชาญด้านรังสีอัลตราไวโอล็อกจากต่างประเทศที่ได้ให้คำปรึกษาและแนะนำวิธีการต่างๆ ในการดำเนินงานวิจัยนี้

สุดท้ายนี้ คุณประ โยชน์ที่เกิดจากวิทยานิพนธ์ฉบับนี้ ผู้วิจัยขอขอบคุณให้กับบิดาและมารดา รวมทั้งคณาจารย์ทุกท่าน เพื่อตอบแทนพระคุณที่ได้ช่วยให้ผู้วิจัยประสบความสำเร็จในการศึกษา

สารบัญ

	หน้า
บทคัดย่อภาษาไทย	๑
บทคัดย่อภาษาอังกฤษ	๑
กิตติกรรมประกาศ.....	๙
สารบัญตาราง	๘
สารบัญรูป	๘
สัญลักษณ์	๘
บทที่	
1 บทนำ.....	1
1.1 ความเป็นมาและความสำคัญของปัญหา	1
1.2 วัตถุประสงค์ของการวิจัย	2
1.3 ขอบเขตของการวิจัย.....	2
2 หลักทางวิชาการและงานวิจัยที่เกี่ยวข้อง	3
2.1 หลักทางวิชาการ	3
2.1.1 แหล่งกำเนิดและสภาพรัมรังสีอัลตราไวโอลেต	3
2.1.2 รังสีอัลตราไวโอลेटที่ผ่านบรรยายกาศโลก.....	4
2.1.3 ผลของโอโซนต่อปริมาณรังสีอัลตราไวโอลे�ต.....	6
2.1.4 ผลของฝุ่นละอองในบรรยายกาศต่อปริมาณรังสีอัลตราไวโอลे�ต.....	8
2.1.5 ผลของเมฆต่อปริมาณรังสีอัลตราไวโอลे�ต	8
2.1.6 ผลของสัมประสิทธิ์การสะท้อนที่พื้นผิวโลกต่อปริมาณรังสีอัลตราไวโอลे�ต	10
2.2 การวัดรังสีอัลตราไวโอลे�ต.....	12
2.2.1 การตอบสนองของสิ่งมีชีวิตต่อรังสีอัลตราไวโอลेत	13
2.2.2 ดัชนีความเข้มรังสีอัลตราไวโอลे�ต	15
2.3 งานวิจัยที่เกี่ยวข้อง.....	16
3 วิธีการวิจัยและผล	22
3.1 การวัดและการบันทึกข้อมูล	22
3.2 การสอบเทียบเครื่อง spectroradiometer	27
3.3 การควบคุมคุณภาพข้อมูล.....	33

บทที่		หน้า
3.4 การวิเคราะห์ข้อมูลและผล.....		36
3.4.1 การแปรค่าความเข้มสเปกตรัมรังสีอัลตราไวโอเลตในรอบวัน (diurnal variation)		36
3.4.1.1 กรณีท้องฟ้าปราศจากเมฆ (clear sky)		36
3.4.1.2 กรณีสภาพท้องฟ้าทั่วไป (general sky).....		35
3.4.2 การแปรค่าของความเข้มรังสีอัลตราไวโอเลตตามความยาวคลื่น		46
3.4.2.1 กรณีสภาพท้องฟ้าปราศจากเมฆ (clear sky).....		46
3.4.2.2 กรณีสภาพท้องฟ้าทั่วไป (general sky).....		48
3.4.3 การแปรค่าสเปกตรัมรังสีอัลตราไวโอเลตที่ปริมาณเมฆต่างๆ กัน		61
3.4.4 การแปรค่ารังสีอัลตราไวโอเลตตามปริมาณโซโนน		63
3.4.4.1 กรณีท้องฟ้าปราศจากเมฆ (clear sky)		63
3.4.4.2 กรณีสภาพท้องฟ้าทั่วไป (general sky).....		66
3.5 การประยุกต์ใช้ความเข้มรังสีอัลตราไวโอเลตแบบสเปกตรัม		67
3.5.1 การแปรค่ารังสีอัลตราไวโอเลตตามเวลาในรอบวัน (diurnal variation)		68
3.5.1.1 กรณีท้องฟ้าปราศจากเมฆ (clear sky).....		68
3.5.1.2 กรณีท้องฟ้าทั่วไป (general sky).....		72
3.5.2 การแปรค่าความเข้มรังสีอัลตราไวโอเลตตามฤดูกาลในรอบปี (seasonal variation).....		76
3.5.3 การแจกแจงความถี่ของค่าความเข้มรังสีอัลตราไวโอเลตรายชั่วโมง..		79
4 สรุป.....		95
บรรณานุกรม		97
ภาคผนวกที่ 1: วิธีการสอนเทียบ spectroradiometer		100
ภาคผนวกที่ 2: แบบจำลองการถ่ายเทรังสี UVSPEC.....		105
ภาคผนวกที่ 3: การใช้โปรแกรม BenWin+ ในการควบคุมการทำงานของเครื่อง spectroradiometer Bentham, DMc 150		112
ภาคผนวกที่ 4: Specification ของเครื่อง Bentham.....		120
ประวัติผู้วิจัย		118

สารบัญตาราง

ตารางที่		หน้า
2.1	แสดงค่าสัมประสิทธิ์การสะท้อนรังสีดวงอาทิตย์ที่ความยาวคลื่นต่าง (Webb, 1998)	9
2.2	แสดงดัชนีความเข้มรังสีอัลตราไวโอเลต (WHO, 2002)	15
3.1	แสดงスペกตรัมที่มีการดูดกลืนสูงในช่วงของスペกตรัมรังสีอัลตราไวโอเลต (Fraunhofer spectrum)	27
3.2	แสดงข้อมูลที่นำมาวิเคราะห์	34
3.3	แสดงการแจกแจงเป็นเบอร์เช็นต์ของค่าความเข้มรังสีอัลตราไวโอเลตเอ (UVA) รายชั่วโมง	89
3.4	แสดงการแจกแจงเป็นเบอร์เช็นต์ของค่าความเข้มรังสีอัลตราไวโอเลตบี (UVB) รายชั่วโมง	90
3.5	แสดงการแจกแจงเป็นเบอร์เช็นต์ของค่าความเข้มรังสีอัลตราไวโอเลต ที่มีผลต่อผิวนังมนุษย์ (EUV) รายชั่วโมง	91
3.6	แสดงการแจกแจงเป็นเบอร์เช็นต์ของค่าความเข้มรังสีอัลตราไวโอเลตเอ (UVA) รายชั่วโมง (ช่วงเช้าและช่วงบ่าย)	92
3.7	แสดงการแจกแจงเป็นเบอร์เช็นต์ของค่าความเข้มรังสีอัลตราไวโอเลตบี (UVB) รายชั่วโมง (ช่วงเช้าและช่วงบ่าย)	93
3.8	แสดงการแจกแจงเป็นเบอร์เช็นต์ของค่าความเข้มรังสีอัลตราไวโอเลต ที่มีผลต่อผิวนังมนุษย์รายชั่วโมง (ช่วงเช้าและช่วงบ่าย)	94

สารบัญรูป

รูปที่		หน้า
2.1	แสดงสเปกตรัมของรังสีอัลตราไวโอลेटในช่วงต่างๆ	3
2.2	แสดงสเปกตรัมรังสีอัลตราไวโอลेटนอกบรรยากาศโลกและรังสีอัลตราไวโอลेटที่ผ่านบรรยากาศโลก	4
2.3	แสดงการคุณภาพลีนรังสีเนื่องจากโนเมเกกูลต่างๆ และไอโซน (เส้นสีดำ)	5
2.4	แสดงค่ามุมเชนิชของดวงอาทิตย์ในหน่วยของศากาที่เวลาที่ยังวัน ณ ตำแหน่งละติจูดและเดือนต่างๆ (Trevini, 1993)	6
2.5	แสดงค่าความเข้มรังสีอัลตราไวโอลेटที่มีผลต่อพิวหนังมนุษย์ที่ละติจูดและฤทธิ์คลาสต่างๆ (Trevini, 1993)	7
2.6	แสดงสเปกตรัมการคุณภาพลีนเนื่องจากไอโซน	7
2.7	แสดงอัตราส่วนของค่าความเข้มรังสีอัลตราไวโอลेटกรณีเมฆปกคลุมท้องฟ้าและการณ์ที่ท้องฟ้าปราศจากเมฆ กับค่า cloud optical depth	9
2.8	แสดงความสัมพันธ์ระหว่างค่าการส่งผ่านรังสีอัลตราไวโอลे�ตกับ cloud optical depth (Lubin et al., 1994)	9
2.9	แสดงความสัมพันธ์ระหว่างสัมประสิทธิ์การสะท้อนของพิวโลกและการเปลี่ยนแปลงความเข้มรังสีอัลตราไวโอลेट ที่มุมเชนิช 0 องศา	11
2.10	แสดงสเปกตรัมการตอบสนองต่อรังสีอัลตราไวโอลे�ตของพีซ DNA และพิวหนัง (Madronich, 1993)	13
2.11	แสดงกราฟการตอบสนองของพิวหนังมนุษย์ต่อรังสีอัลตราไวโอลे�ต (CIE, 1987)	14
3.1	แสดงหัวรับรังสีของ spectroradiometer ที่ติดตั้งอยู่บนดาดฟ้า อาคารวิทยาศาสตร์ 1 มหาวิทยาลัยศิลปากร จังหวัดนครปฐม	22
3.2	แสดงเครื่อง spectroradiometer ซึ่งตั้งอยู่ที่ห้องเก็บเครื่องมือได้ดาดฟ้าชั้น 10 อาคารวิทยาศาสตร์ 1	23
3.3	แสดงเครื่องคอมพิวเตอร์ที่ใช้ควบคุมและบันทึกข้อมูลของเครื่อง spectroradiometer	23

รูปที่		หน้า
3.4	แผนภูมิแสดงการทำงานของเครื่อง spectroradiometer (Bentham, DMc150)	23
3.5	แสดงหน้าจอแสดงผลของโปรแกรม BenWin+ สำหรับควบคุมเครื่อง spectroradiometer	24
3.6	แสดงค่า Normalize ของสัญญาณที่ความยาวคลื่น 400 nm กับค่า cosine	25
3.7	แสดงค่า cosine correction factor ที่ได้มาจากการคำนวณด้วยสมการมาจากบริษัท Bentham	26
3.8	แสดงฟรอนโลไฟฟอร์สเปกตรัมของรังสีดวงอาทิตย์	28
3.9	แสดงความยาวคลื่นของสัญญาณที่ได้จาก spectroradiometer ก่อนและหลังการปรับความยาวคลื่น	28
3.10	แสดงค่าสัญญาณไฟฟ้าที่ได้จากการวัดหลอดมาตรฐาน (V_λ)	29
3.11	แสดงค่าความเข้มรังสีอัลตราไวโอเลตของหลอดมาตรฐาน (S_λ)	30
3.12	แสดง sensitivity (R_λ) ของเครื่อง spectroradiometer ที่ได้จากการใช้สมการที่ 3.4	30
3.13	แสดงค่าสัญญาณไฟฟ้าที่ได้จากการวัดรังสีอัลตราไวโอเลตจากดวงอาทิตย์	31
3.14	แสดงตัวอย่างค่าความเข้มรังสีอัลตราไวโอเลตหลังจากการแปลงด้วยค่า sensitivity แล้ว	32
3.15	แสดงตัวอย่างของสเปกตรัมรังสีอัลตราไวโอเลตที่ได้จากการวัดและการคำนวณด้วยโปรแกรม UVSPEC	33
3.16	แสดงค่ารังสีอัลตราไวโอเลตรวมรายวัน (daily dose) ในปี 2008 ที่ได้จากเครื่อง spectroradiometer (ข้อมูล daily dose ได้มาจากการ integrate ข้อมูลสเปกตรัมจากความยาวคลื่น 280 – 320 nm)	35
3.17	แสดงสเปกตรัมรังสีอัลตราไวโอเลตรายชั่วโมงในวันที่ห้องฟ้าปราศจากเมฆแบบแยกเป็นสเปกตรัม	37
3.18	แสดงการแบ่งค่าสเปกตรัมรังสีอัลตราไวโอเลตที่ normalize ในรอบวันในแต่ละความยาวคลื่น	38

รูปที่		หน้า
3.19	แสดงการแปรค่าในรอบวันของสเปกตรัมรังสีอัลตราไวโอเลตที่ความยาวคลื่น 305 nm ในสภาพท้องฟ้าทั่วไป (general sky)	40
3.20	แสดงการแปรค่าในรอบวันของสเปกตรัมรังสีอัลตราไวโอเลตที่ความยาวคลื่น 310 nm ในสภาพท้องฟ้าทั่วไป (general sky)	41
3.21	แสดงการแปรค่าในรอบวันของสเปกตรัมรังสีอัลตราไวโอเลตที่ความยาวคลื่น 315 nm ในสภาพท้องฟ้าทั่วไป (general sky)	42
3.22	แสดงการแปรค่าในรอบวันของสเปกตรัมรังสีอัลตราไวโอเลตที่ความยาวคลื่น 320 nm ในสภาพท้องฟ้าทั่วไป (general sky)	43
3.23	แสดงการแปรค่าในรอบวันของสเปกตรัมรังสีอัลตราไวโอเลตที่ความยาวคลื่น 340 nm ในสภาพท้องฟ้าทั่วไป (general sky)	44
3.24	แสดงการแปรค่าในรอบวันของสเปกตรัมรังสีอัลตราไวโอเลตที่ความยาวคลื่น 380 nm ในสภาพท้องฟ้าทั่วไป (general sky)	45
3.25	แสดงการแปรค่าความเข้มสเปกตรัมรังสีอัลตราไวโอเลตตามชนิดในเดือนต่างๆ ในกรณีที่ท้องฟ้าปราศจากเมฆ (clear sky)	47
3.26	แสดงค่าเฉลี่ยความเข้มรังสีอัลตราไวโอเลตแบ่งตามชนิดต่างๆ ในเดือน มกราคม	49
3.27	แสดงค่าเฉลี่ยความเข้มรังสีอัลตราไวโอเลตแบ่งตามชนิดต่างๆ ในเดือน กุมภาพันธ์	50
3.28	แสดงค่าเฉลี่ยความเข้มรังสีอัลตราไวโอเลตแบ่งตามชนิดต่างๆ ในเดือน มีนาคม	51
3.29	แสดงค่าเฉลี่ยความเข้มรังสีอัลตราไวโอเลตแบ่งตามชนิดต่างๆ ในเดือน เมษายน	52
3.30	แสดงค่าเฉลี่ยความเข้มรังสีอัลตราไวโอเลตแบ่งตามชนิดต่างๆ ในเดือน พฤษภาคม	53
3.31	แสดงค่าเฉลี่ยความเข้มรังสีอัลตราไวโอเลตแบ่งตามชนิดต่างๆ ในเดือน มิถุนายน	54
3.32	แสดงค่าเฉลี่ยความเข้มรังสีอัลตราไวโอเลตแบ่งตามชนิดต่างๆ ในเดือน กรกฏาคม	55

รูปที่		หน้า
3.33	แสดงค่าเฉลี่ยความเข้มรังสีอัลตราไวโอลेटแบ่งตามชนิดต่างๆ ในเดือน สิงหาคม	56
3.34	แสดงค่าเฉลี่ยความเข้มรังสีอัลตราไวโอลेटแบ่งตามชนิดต่างๆ ในเดือน กันยายน	57
3.35	แสดงค่าเฉลี่ยความเข้มรังสีอัลตราไวโอลेटแบ่งตามชนิดต่างๆ ในเดือน ตุลาคม.....	58
3.36	แสดงค่าเฉลี่ยความเข้มรังสีอัลตราไวโอลेटแบ่งตามชนิดต่างๆ ในเดือน พฤศจิกายน	59
3.37	แสดงค่าเฉลี่ยความเข้มรังสีอัลตราไวโอลेटแบ่งตามชนิดต่างๆ ในเดือน ธันวาคม	60
3.38	แสดงลักษณะเมฆปกคลุมแบบต่างๆ เวลา 12.00 น.	61
3.39	แสดงลักษณะของสภาพรังสีอัลตราไวโอลेटตามลักษณะท้องฟ้าที่ สอดคล้องกับสภาพท้องฟ้าที่แสดงในรูปที่ 3.37	62
3.40	แสดงการแปรค่าของสภาพรังสีอัลตราไวโอลेटที่โอโซนต่างกัน	63
3.41	แสดงการแปรค่าระหว่างความเข้มรังสีอัลตราไวโอลेटเมื่อค่าโอโซน เพิ่มขึ้นที่ความยาวคลื่นต่างๆ ที่มุ่งชนิด 60 องศา	64
3.42	แสดงกราฟการแปรค่าความความชันของความเข้มรังสีอัลตราไวโอลेटกับ โอโซนที่ความยาวคลื่นต่างๆ	65
3.43	แสดงแนวโน้มความสัมพันธ์ของค่า normalize ความเข้มรังสีอัลตราไว- โอลे�ตต่อปริมาณ โอโซนในสภาพท้องฟ้าทั่วไปในช่วงความยาว- คลื่น 300 nm และ 398 nm	67
3.44	แสดงการแปรค่าตามเวลาในรอบวันของความเข้มรังสีอัลตราไวโอลे�ตเอ (UVA) ในวันที่ท้องฟ้าปราศจากเมฆ	69
3.45	แสดงการแปรค่าตามเวลาในรอบวันของความเข้มรังสีอัลตราไวโอลे�ตบี (UVB) ในวันที่ท้องฟ้าปราศจากเมฆ	70
3.46	แสดงการแปรค่าตามเวลาในรอบวันของความเข้มรังสีอัลตราไวโอลे�ตที่ มีผลต่อผิวนังมนุษย์ (EUV) ในวันที่ท้องฟ้าปราศจากเมฆ	71

รูปที่		หน้า
3.47	แสดงการแปรค่าความเข้มรังสีอัลตราไวโอเลตເອ (UVA) รายชั่วโมงเฉลี่ย ต่อเดือนตามเวลาในรอบวัน [error bar หมายถึงค่าเฉลี่ย ± 1 standard deviation, SD].....	73
3.48	แสดงการแปรค่าความเข้มรังสีอัลตราไวโอเลตบี (UVB) รายชั่วโมงเฉลี่ย ต่อเดือนตามเวลาในรอบวัน [error bar หมายถึงค่าเฉลี่ย ± 1 standard deviation, SD].....	74
3.49	แสดงการแปรค่าความเข้มรังสีอัลตราไวโอเลตที่มีผลต่อผิวนังนุழຍ (EUV) รายชั่วโมงเฉลี่ยต่อเดือนตามเวลาในรอบวัน [error bar หมายถึงค่าเฉลี่ย ± 1 standard deviation, SD].....	75
3.50	แสดงค่าความเข้มรังสีอัลตราไวโอเลตօราวันเฉลี่ยต่อเดือน	77
3.51	แสดงค่าความเข้มรังสีอัลตราไวโอเลตบีรายวันเฉลี่ยต่อเดือน.....	77
3.52	แสดงค่าความเข้มรังสีอัลตราไวโอเลตที่มีผลต่อผิวนังนุழຍรายวันเฉลี่ย ต่อเดือน	78
3.53	แสดงการแจกแจงเปอร์เซ็นต์ของค่าความเข้มรังสีอัลตราไวโอเลตເອ (UVA) รายชั่วโมงในเดือนต่างๆ	80
3.54	แสดงการแจกแจงเป็นเปอร์เซ็นต์ของค่าความเข้มรังสีอัลตราไวโอเลตบี (UVB) รายชั่วโมงในเดือนต่างๆ.....	81
3.55	แสดงการแจกแจงเป็นเปอร์เซ็นต์ของค่าความเข้มรังสีอัลตราไวโอเลตที่มี- ผลต่อผิวนังนุழຍ(EUV)รายชั่วโมงในเดือนต่างๆ	82
3.56	แสดงการแจกแจงเป็นเปอร์เซ็นต์ของค่าความเข้มรังสีอัลตราไวโอเลตເອ (UVA) รายชั่วโมง (ช่วงเช้าและช่วงบ่าย).....	83
3.57	แสดงการแจกแจงเป็นเปอร์เซ็นต์ของค่าความเข้มรังสีอัลตราไวโอเลตบี (UVB) รายชั่วโมง (ช่วงเช้าและช่วงบ่าย)	84
3.58	แสดงการแจกแจงเป็นเปอร์เซ็นต์ของค่าความเข้มรังสีอัลตราไวโอเลตที่มี- ผลต่อผิวนังนุழຍ (EUV) รายชั่วโมง (ช่วงเช้าและช่วงบ่าย).....	85
3.59	แสดงการแจกแจงเป็นเปอร์เซ็นต์ของค่ารังสีอัลตราไวโอเลตօรารายชั่วโมง ตลอดทั้งปี	86

รูปที่		หน้า
3.60	แสดงการแยกแยะเป็นเปอร์เซ็นต์ของค่ารังสีอัลตราไวโอลেตบีรายชั่วโมงตลอดทั้งปี.....	87
3.61	แสดงการแยกแยะเป็นเปอร์เซ็นต์ของค่ารังสีอัลตราไวโอลे�ตที่มีผลต่อผิวหนังมนุษย์รายชั่วโมงตลอดทั้งปี.....	87
3.62	แสดงการแยกแยะเป็นเปอร์เซ็นต์ของค่าความเข้มรังสีอัลตราไวโอลे�ตเอ (UVA) รายชั่วโมงตลอดทั้งปี (ช่วงเช้าและช่วงบ่าย)	87
3.63	แสดงการแยกแยะเป็นเปอร์เซ็นต์ของค่าความเข้มรังสีอัลตราไวโอลे�ตบี (UVB) รายชั่วโมงตลอดทั้งปี (ช่วงเช้าและช่วงบ่าย)	88
3.64	แสดงการแยกแยะเป็นเปอร์เซ็นต์ของค่าความเข้มรังสีอัลตราไวโอลे�ตที่มีผลต่อผิวหนังมนุษย์ (EUV) รายชั่วโมงตลอดทั้งปี (ช่วงเช้าและช่วงบ่าย)	88
A1.1	แสดงหลอดมาตรฐานสำหรับการสอบเทียบเครื่องวัด spectroradiometer Bentham DMc150	101
A1.2	แสดงแหล่งจ่ายไฟ 705 p.s.u. สำหรับควบคุมหลอดมาตรฐาน CL7	102
A1.3	แสดงการต่อสายไฟจากแหล่งจ่ายเข้ากับหลอดมาตรฐาน	102
A1.4	แสดงการยึดหลอดมาตรฐานเข้ากับหัวรับรังสี	102
A1.5	แสดงแผงหน้าปัดของแหล่งจ่ายไฟ 705 p.s.u.	103
A1.6	แสดงกราฟค่าสัญญาณไฟจากการวัดスペกตรัมของหลอดมาตรฐาน ..	103
A1.7	แสดงตัวอย่างการสอบเทียบเครื่อง spectroradiometer ที่สถานีวัด มหาวิทยาลัยศิลปากร จังหวัดนครปฐม	104
A2.1	แสดงตัวอย่างスペกตรัมรังสีอัลตราไวโอลे�ตที่คำนวณจาก UVSPEC.....	111
A3.1	แสดงการติดตั้งโปรแกรม BenWin+	113
A3.2	แสดงการ initialising Monochromator ซึ่งเป็นการเชื่อมต่อเครื่อง คอมพิวเตอร์กับ spectroradiometer	114
A3.3	การตั้งค่าจำนวนครั้งในการเก็บข้อมูลต่อ 1 ความยาวคลื่น	114
A3.4	แสดงเมนูที่ใช้สำหรับการวัดスペกตรัม	115
A3.5	แสดงบันหน้าต่างกำหนดค่าตารางเวลา (Schedule) ในการวัดข้อมูล	118

ສัญลักษณ์

C_λ	=	ค่าสัญญาณที่ได้มาจากการวัดในแต่ละความยาวคลื่น [nA]
E_λ	=	ค่าสเปกตรัมรังสีอัลตราไวโอด็อกตีที่ได้จากการวัด [mW/m ²]
EUV	=	ความเข้มรังสีอัลตราไวโอด็อกตีที่มีผลต่อผิวนังมนุษย์ (Erythemal Ultraviolet Irradiance) [mW/m ²]
$f_2(\varepsilon, \varphi)$	=	ค่า Cosine correction [-]
I_λ	=	ความเข้มรังสีอัลตราไวโอด็อกตในแต่ละความยาวคลื่น [mW/m ² -nm]
$R_{E\lambda}, R_\lambda$	=	ฟังก์ชันการตอบสนองของผิวนังมนุษย์ [-]
S_λ	=	sensitivity ของเครื่องวัดต่อรังสีอัลตราไวโอด็อกตในแต่ละความยาวคลื่น [nA/(mW/m ²)-nm]
UVA	=	ความเข้มรังสีอัลตราไวโอด็อกตเอ (UVA irradiance) [W/m ²]
UVB	=	ความเข้มรังสีอัลตราไวโอด็อกตบี (UVB irradiance) [W/m ²]
V_λ	=	ค่าสัญญาณที่ได้จากการวัดด้วยเครื่องวัดสเปกตรัม [nA-nm]
$Y_{reading}(\varepsilon, \varphi)$	=	ค่าความเข้มรังสีจากการวัดที่แต่ละความยาวคลื่น [mW/m ² -nm]
$Y_{reading}(\varepsilon = 0^\circ, \varphi) \cos(\varepsilon)$	=	ค่าความเข้มรังสีจากการวัดในอุժ世俗 [mW/m ² -nm]
ε	=	ค่ามุมตกกระทบ (เซนิต) [องศา]
λ	=	ความยาวคลื่น [nm]
φ	=	ค่ามุมอชนຸກ [องศา]

บทที่ 1

บทนำ

1.1 ความสำคัญและความเป็นมาของปัญหา

รังสีอัลตราไวโอเลตจากดวงอาทิตย์เป็นรังสีในช่วงความยาวคลื่นสั้นระหว่าง 100-400 nm ซึ่งเป็นช่วงความยาวคลื่นที่มีพลังงานไฟตอนสูง สามารถแบ่งออกได้เป็น 3 ช่วงคือรังสีอัลตราไวโอเลตซี (UVC, 100-280 nm) รังสีอัลตราไวโอเลตบี (UVB, 280-320 nm) และรังสีอัลตราไวโอเลตเอ (UVA, 320 – 400 nm) โดยที่ปริมาณรังสีอัลตราไวโอเลตที่พื้นโลกได้รับจะเปลี่ยนแปลงตามฤดูกาลเนื่องจากผลของปริมาณโอโซนในบรรยากาศ แต่จากการลดลงของปริมาณโอโซนในบริเวณขั้วโลกได้และขั้วโลกเหนือรวมถึงบริเวณอื่นๆ ในเขตศูนย์สูตรทำให้ปริมาณความเข้มรังสีอัลตราไวโอเลตที่ตกกระทบพื้นโลกมีค่าเพิ่มขึ้น รังสีอัลตราไวโอเลตมีผลกระทบต่อสุขภาพของมนุษย์โดยจะเพิ่มความเสี่ยงในการก่อให้เกิดโรคมะเร็งผิวหนังและการเสื่อมของภูมิคุ้มกัน นอกจากนี้ปริมาณรังสีอัลตราไวโอเลตที่เพิ่มขึ้นยังส่งผลเสียกับระบบควบคุมหัวใจและเลือดด้วย ดังนั้นโครงการสิ่งแวดล้อมของสหประชาชาติ (UNEP : UNITED NATIONS ENVIRONMENT PROGRAMME) จึงได้ออกมาตรการเพื่อยุดยั้งการทำลายชั้นบรรยากาศโอโซนที่เรียกว่า Montreal Protocol ซึ่งประเทศไทยได้ร่วมลงนามด้วย ในการติดตามการเปลี่ยนแปลงความเข้มของรังสีอัลตราไวโอเลตนั้นจำเป็นที่จะต้องอาศัยเครื่องมือที่มีประสิทธิภาพในการวัดสูง เนื่องจากปริมาณรังสีอัลตราไวโอเลตในบรรยากาศมีการเปลี่ยนแปลงเนื่องจากโอโซนและโมเลกุลอากาศซึ่งทำให้ปริมาณความเข้มรังสีอัลตราไวโอเลตที่มาถึงพื้นผิวโลกมีน้อยเมื่อเทียบกับปริมาณรังสีดวงอาทิตย์อื่นๆ

สำหรับกรณีของประเทศไทยการศึกษาทางด้านความเข้มรังสีอัลตราไวโอเลตในยังอยู่ในวงจำกัด ดังนั้นในงานวิจัยนี้ ผู้วิจัยจึงเสนอที่จะทำการวัดความเข้มรังสีอัลตราไวโอเลต ด้วยเครื่อง spectroradiometer ข้อมูลความเข้มรังสีที่ได้จะสามารถนำไปวิเคราะห์ให้เป็นความเข้มรังสีอัลตราไวโอเลตในช่วงรังสีอัลตราไวโอเลตเอและรังสีอัลตราไวโอเลตบีได้ ซึ่งจะทำให้ทราบการแปรค่าเชิงสเปกตรัมของรังสีอัลตราไวโอเลตในจังหวัดนครปฐม

1.2 วัตถุประสงค์ของการวิจัย

1. เพื่อทำการวัดสเปกตรัมรังสีดวงอาทิตย์ในช่วงของรังสีอัลตราไวโอเลต
2. เพื่อศึกษาลักษณะทางสถิติของความเข้มรังสีอัลตราไวโอเลตจากดวงอาทิตย์ที่จังหวัดนครปฐม

1.3 ขอบเขตของการวิจัย

ในงานวิจัยนี้จะมีขอบเขตอยู่ที่การวัดและการวิเคราะห์สเปกตรัมรังสีอัลตราไวโอเลตที่สถานีนครปฐม (13.82°N , 100.04°E) ตั้งอยู่ที่อาคารวิทยาศาสตร์ 1 คณะวิทยาศาสตร์ มหาวิทยาลัยศิลปากร วิทยาเขตพระราชวังสวนจันทร์ จังหวัดนครปฐม

บทที่ 2

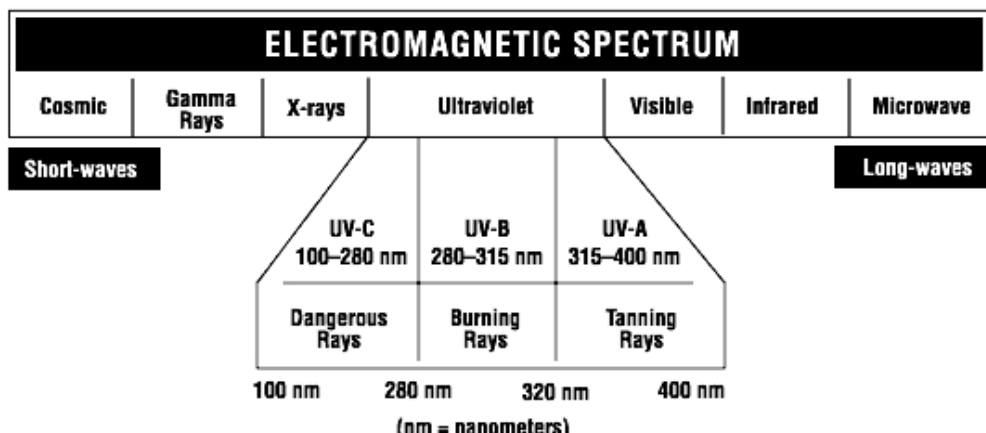
หลักทางวิชาการและงานวิจัยที่เกี่ยวข้อง

2.1 หลักทางวิชาการ

2.1.1 แหล่งกำเนิดและスペกตรัมรังสีอัลตราไวโอเลต

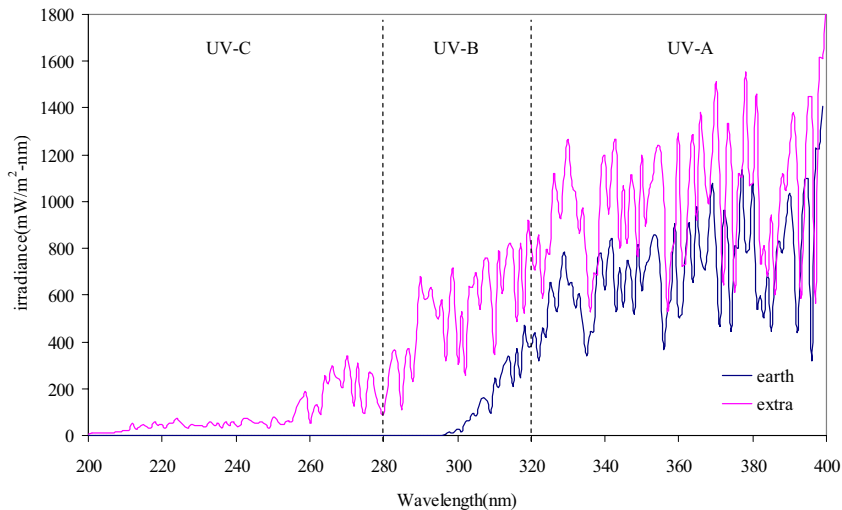
รังสีอัลตราไวโอเลตเป็นส่วนหนึ่งของスペกตรัมของคลื่นแม่เหล็กไฟฟ้าที่มีความยาวคลื่นอยู่ระหว่าง 100-400 nm ซึ่งมีแหล่งกำเนิดมาจากพื้นในธรรมชาติและที่มนุษย์สร้างขึ้น โดยมีดวงอาทิตย์เป็นแหล่งกำเนิดทางธรรมชาติที่สำคัญที่สุด เป็นที่ทราบกันดีว่า ดวงอาทิตย์มีลักษณะคล้ายกับวัตถุค้า (blackbody) ที่สามารถแผ่スペกตรัมของรังสีออกมาได้ โดยลักษณะของスペกตรัมรังสีที่แผ่ออกมายังขึ้นกับอุณหภูมิของแหล่งกำเนิดซึ่งเป็นไปตามกฎของแพลงค์ (Planck's law) ส่วนใหญ่รังสีที่มาจากการของดวงอาทิตย์จะถูกปล่อยออกมายากจากบริเวณชั้นโฟโตสเฟียร์ (photosphere) ซึ่งมีอุณหภูมิประมาณ 6000 K อย่างไรก็ตามรังสีดวงอาทิตย์ที่มีความยาวคลื่นสั้นจะถูกปล่อยออกมายากบริเวณอื่นๆ ของดวงอาทิตย์ เช่น รังสีที่มีความยาวคลื่นสั้นกว่า 300 nm จะมาจากบริเวณชั้นโครโนมสเฟียร์ (chromospheres, 4500-5000 K) และรังสีที่มีความยาวคลื่นสั้นกว่า 50 nm จะมาจากบริเวณชั้นออกสูดของดวงอาทิตย์ที่เรียกว่าโคโรนา (Webb, 1998) เป็นต้น โดยทั่วไปสามารถแบ่งスペกตรัมรังสีอัลตราไวโอเลตได้เป็น 3 ช่วง ตามผลทางชีววิทยา ดังแสดงในรูปที่ 2.1 ได้แก่

- 1) UV-A มีความยาวคลื่นระหว่าง 315-400 nm
- 2) UV-B มีความยาวคลื่นระหว่าง 280-315 nm
- 3) UV-C มีความยาวคลื่นระหว่าง 100-280 nm



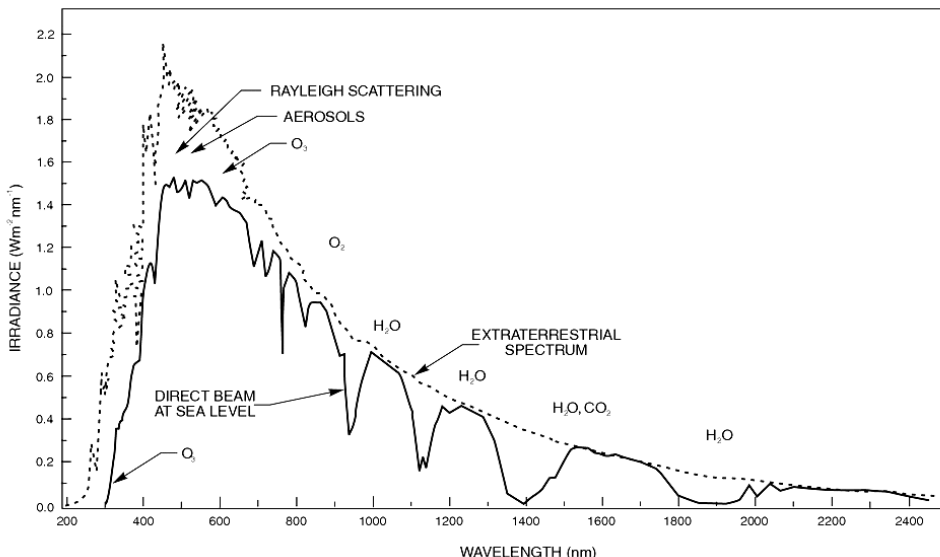
รูปที่ 2.1 แสดงスペกตรัมของรังสีอัลตราไวโอเลตในช่วงต่างๆ

2.1.2 รังสีอัลตราไวโอเลตที่ผ่านบรรยายกาศโลก



รูปที่ 2.2 แสดงสเปกตรัมรังสีอัลตราไวโอเลตนอกบรรยายกาศโลกและรังสีอัลตราไวโอเลตที่ผ่านบรรยายกาศโลก

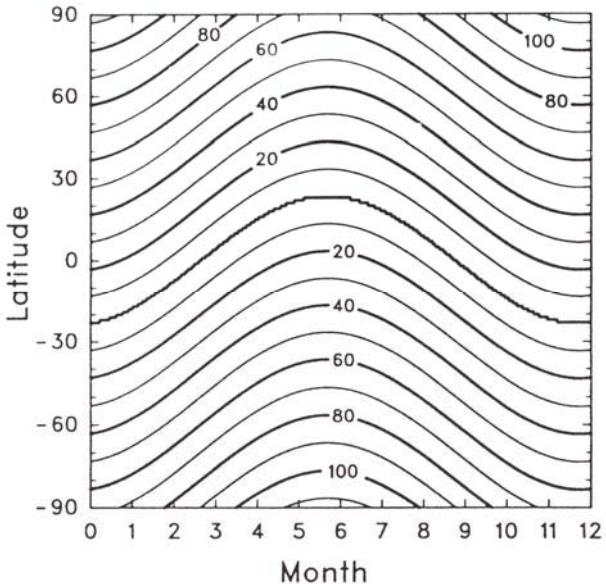
สเปกตรัมของรังสีดวงอาทิตย์นอกบรรยายกาศโลกประกอบด้วยรังสีอัลตราไวโอเลต ประมาณ 9.3 เปอร์เซ็นต์ ของสเปกตรัมรังสีดวงอาทิตย์ทั้งหมด เมื่อรังสีดวงอาทิตย์ดังกล่าวเดินทางผ่านชั้นบรรยายกาศจะเกิดการดูดกลืน การสะท้อนและการกระเจิง ทั้งนี้ขึ้นกับความยาวคลื่นของรังสี ซึ่งเป็นสาเหตุให้สเปกตรัมของรังสีดวงอาทิตย์ที่พื้นผิวโลกเปลี่ยนไปจากเดิม โดยที่รังสีดวงอาทิตย์ที่มีความยาวคลื่นน้อยกว่า 85 nm จะถูกดูดกลืนโดยอะตอมของไฮโดรเจนและไนโตรเจน ส่วนรังสีดวงอาทิตย์ที่มีความยาวคลื่นน้อยกว่า 200 nm จะถูกดูดกลืนโดยโมเลกุลของออกซิเจนและไนโตรเจน (Iqbal, 1983) และการดูดกลืนรังสีอัลตราไวโอเลตที่ช่วงความยาวคลื่น 200-280 nm เกิดขึ้นจากไอโซน ดังแสดงในรูปที่ 2.3



รูปที่ 2.3 แสดงการดูดกลืนรังสีเนื่องจากโมเลกุลต่างๆ และไอโอดีน (เส้นสีดำ)

ปริมาณรังสีอัลตราไวโอลेटที่โลกได้รับจะแปรเปลี่ยนตามเวลาในรอบวัน ลักษณะทางทางภูมิศาสตร์ องค์ประกอบของบรรยากาศ และการโครงการของโลกรอบดวงอาทิตย์ นอกจากนี้ปริมาณรังสีอัลตราไวโอลेटจะเพิ่มขึ้นตามระดับความสูงอีกด้วย (Blumthaler et al., 1996)

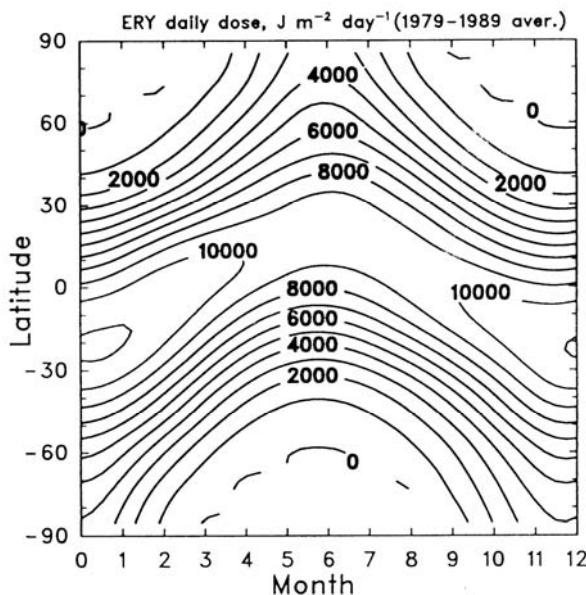
เนื่องจากการโครงการของโลกรอบดวงอาทิตย์ทำให้มุนต์กระทนงของรังสีดวงอาทิตย์บนพื้นโลก จะ ตำแหน่งต่างๆ มีค่าไม่เท่ากันและระยะทางที่รังสีดวงอาทิตย์เคลื่อนที่ผ่านบรรยากาศมีผลโดยตรงต่อปริมาณรังสีอัลตราไวโอลेटที่ตกลงสู่พื้นผิวโลกซึ่งโดยทั่วไปแล้วระยะทางดังกล่าวมีความสัมพันธ์กับมุม zenith ของดวงอาทิตย์ (solar zenith angle, Θ_z) ซึ่งเป็นปริมาณที่บอกตำแหน่งของดวงอาทิตย์บนฟ้าโดยมีค่าขึ้นกับเวลาและวันในรอบปี ละติจูด และลองศูนย์ โดยที่เวลา 12.00 น. จะมีการแปรเปลี่ยนของมุม zenith ของดวงอาทิตย์ในรอบปีแสดงได้ดังรูปที่ 2.4



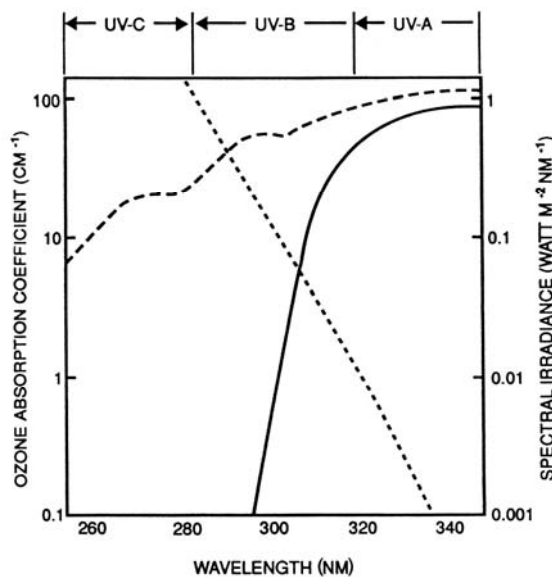
รูปที่ 2.4 แสดงค่ามุนนิธิของดวงอาทิตย์ในหน่วยองศาที่เวลาเที่ยงวัน ณ ตำแหน่งละติจูดและเดือนต่างๆ (Trevini, 1993)

2.1.3 ผลของโอโซนต่อปริมาณรังสีอัลตราไวโอลेट

ที่ตำแหน่งละติจูดที่ต่างกันมีผลต่อปริมาณโอโซนในบรรยากาศซึ่งโอโซนจะส่งผลต่อค่าความเข้มรังสีอัลตราไวโอลेटที่ต่ำกว่าที่พื้นผิวโลก ดังแสดงในรูปที่ 2.5 โดยโอโซนในบรรยากาศชั้นสตรatosfer เป็นสารที่สามารถดูดกลืนรังสีอัลตราไวโอลे�ตจากนอกบรรยากาศโลกที่เข้ามายังโลกได้ถึง 90 % โดยความสามารถในการดูดกลืนรังสีอัลตราไวโอลे�ตของโอโซนจะขึ้นอยู่กับความยาวคลื่นของรังสีอัลตราไวโอลे�ตโดยที่รังสีอัลตราไวโอลे�ตที่ความยาวคลื่นสั้นกว่าจะมีการดูดกลืนเนื่องจากโอโซนมากกว่า ดังแสดงในรูป 2.6 ซึ่งจะทำให้สเปกตรัมของรังสีดวงอาทิตย์ที่ความยาวคลื่นสั้นมีการลดลงอย่างมากก่อนที่จะตกลงสู่พื้นผิวโลกโดยเฉพาะ UVC จะไม่สามารถผ่านบรรยากาศชั้นโอโซนตกลงมาสู่พื้นผิวโลกได้



รูปที่ 2.5 แสดงค่าความเข้มรังสีอัลตราไวโอเลตที่มีผลต่อผิวนั่งนุ่ยที่ละติจูดและฤดูกาลต่างๆ
(Trevini, 1993)



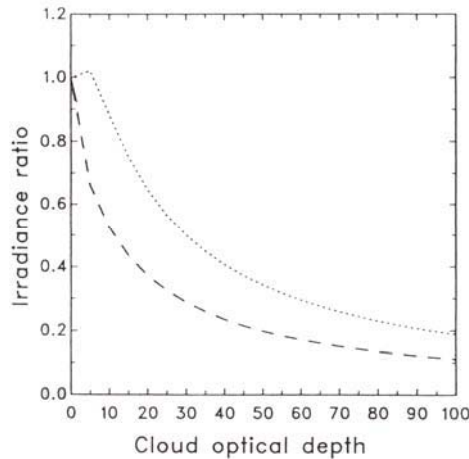
รูปที่ 2.6 แสดงสเปกตรัมการดูดกลืนเนื่องจากโอโซน(-----) สเปกตรัมรังสีนอกบอร์ยากาศโลก (- - -) สเปกตรัมรังสีดวงอาทิตย์ที่พื้นผิวโลก(—)

2.1.4 ผลของฝุ่นละอองในบรรยากาศต่อปริมาณรังสีอัลตราไวโอเลต

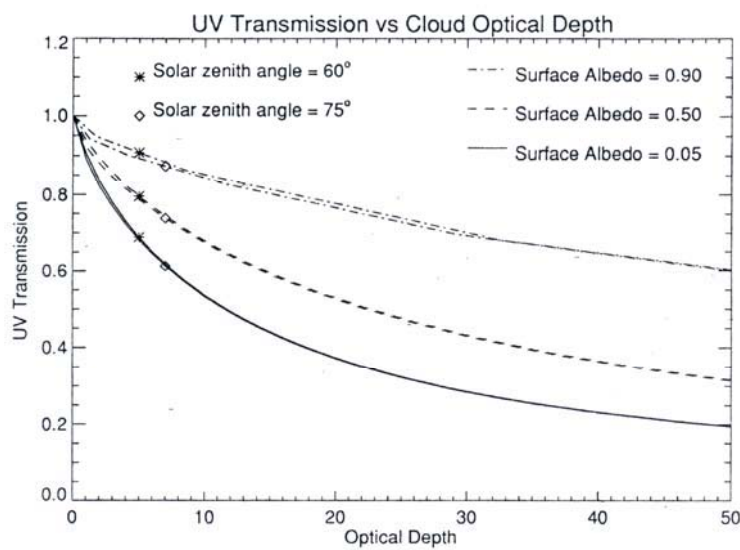
ฝุ่นละอองในบรรยากาศชั้นบรรยากาศสตราโตสเฟียร์ มีผลต่อการลดลงของรังสีอัลตราไวโอเลตโดยเป็นตัวลดthonรังสีตรงและเพิ่มปริมาณรังสีกระจาย พบว่าภายในหลังจากที่เกิดการระเบิดของภูเขาไฟ Pinatubo ในปี ก.ศ. 1991 ทำให้ฝุ่นละอองลอยขึ้นสู่บรรยากาศชั้นสตราโตสเฟียร์ซึ่งฝุ่นละอองนี้กระจายออกสู่บรรยากาศโดยรอบทำให้ปริมาณรังสีอัลตราไวโอเลตมีการลดลงอย่างเห็นได้ชัด

2.1.5 ผลของเมฆต่อปริมาณรังสีอัลตราไวโอเลต

เมฆเป็นตัวแปรสำคัญที่ทำให้เกิดการเปลี่ยนแปลงปริมาณรังสีอัลตราไวโอเลตที่คล่องสู่พื้นผิวโลก เนื่องจากเมฆสามารถดูดกลืนและสะท้อนอัลตราไวโอเลตได้ การเปลี่ยนแปลงดังกล่าวจะแปรค่าตามชนิดและลักษณะของเมฆ โดยปริมาณของเมฆจะมีการเปลี่ยนแปลงไปตามเวลาและสถานที่ การบอกรปริมาณและคุณสมบัติของเมฆสามารถทำได้โดยการสังเกตด้วยตาตรวจจับด้วยเรดาร์และการใช้ข้อมูลดาวเทียม โดยทั่วไป กรณีที่ห้องฟ้ามีเมฆปกคลุมทั่วท้องฟ้า (Overcast) จะส่งผลให้ค่าความเข้มรังสีอัลตราไวโอเลตลดลง แต่ในกรณีที่ห้องฟ้ามีบางส่วนอาจทำให้ความเข้มรังสีอัลตราไวโอเลตเพิ่มขึ้นหรือลดลงก็ได้ ทั้งนี้ขึ้นอยู่กับมุนที่รังสีดวงอาทิตย์ที่ตกระบบท่อนเมฆอย่างไรก็ตาม ข้อมูลเมฆเกี่ยวกับความหนาและองค์ประกอบเชิงแสงของเมฆเป็นตัวแปรที่ไม่สามารถตรวจนได้ทั่วไปทำให้การศึกษาผลกระทบของเมฆที่มีต่อรังสีอัลตราไวโอเลตเป็นไปได้ยาก ด้วยเช่นกัน ปริมาณใช้ที่บอกรดูดกลืนของเมฆจะเป็นค่า cloud optical depth ซึ่งสัมพันธ์กับค่าของสัดส่วนความเข้มรังสีดวงอาทิตย์ที่สภาพห้องฟ้ามีเมฆปกคลุมต่อความเข้มรังสีดวงอาทิตย์ในสภาพห้องฟ้าปราศจากเมฆ ดังแสดงในรูปที่ 2.7 และ 2.8



รูปที่ 2.7 แสดงอัตราส่วนของค่าความเข้มรังสีอัลตราไวโอเลตกรณีเมฆปกคลุมท้องฟ้าและกรณีที่ท้องฟ้าปราศจากเมฆ กับค่า cloud optical depth ที่มุน เช่น 0 องศา(-----) และที่มุนเช่น 70 องศา(----)



รูปที่ 2.8 แสดงความสัมพันธ์ระหว่างค่าการส่งผ่านรังสีอัลตราไวโอเลตกับ cloud optical depth
(Lubin et al., 1994)

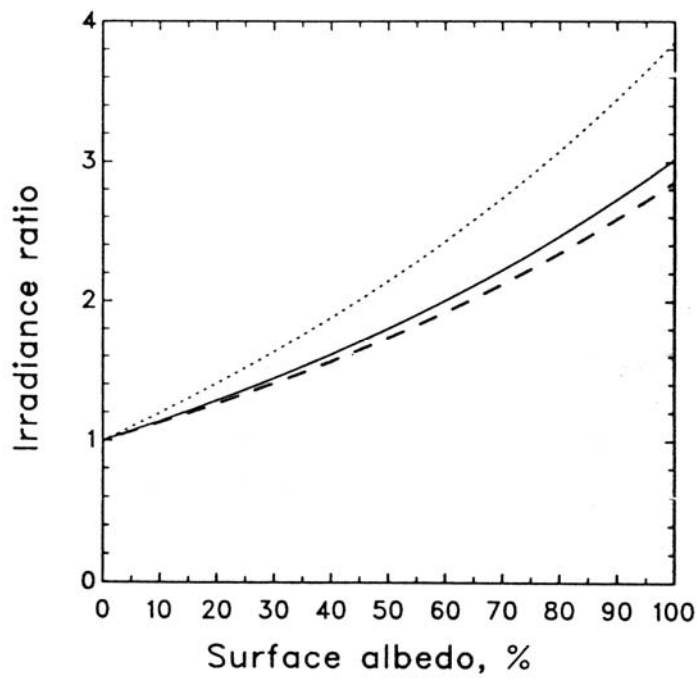
2.1.6 ผลของสัมประสิทธิ์การสะท้อนของพื้นผิวโลกลต่อปริมาณรังสีอัลตราไวโอเลต

ตัวแปรสำคัญอีกตัวหนึ่งในการพิจารณาความเข้มรังสีอัลตราไวโอเลตคือสัมประสิทธิ์การสะท้อนของพื้นผิวโลกลซึ่งเป็นอัตราส่วนระหว่างรังสีที่สะท้อนจากพื้นผิวโลกลับรังสีที่ตกกระทบที่พื้นผิวโลกล โดยทั่วไปค่าสัมประสิทธิ์การสะท้อนรังสีดวงอาทิตย์ที่พื้นผิวโลกลจะแตกต่างกันไปตามลักษณะของพื้นผิวและความยาวคลื่นของรังสี โดยในบางพื้นที่จะมีการเปลี่ยนแปลงค่าสัมประสิทธิ์การสะท้อนของพื้นผิวมาก เช่น พื้นหญ้าจะมีค่าสัมประสิทธิ์การสะท้อนรังสีอัลตราไวโอเลตประมาณ 0.02 ขณะที่ดูหనานวในบริเวณที่พื้นเมืองปักคลุนจะมีค่าสัมประสิทธิ์การสะท้อนของรังสีอัลตราไวโอเลตที่พื้นผิวโลกลจะมีค่าต่ำกว่าค่าสัมประสิทธิ์การสะท้อนรังสีดวงอาทิตย์ที่มีความยาวคลื่นยาวกว่า ดังแสดงในตาราง 2.1

ตารางที่ 2.1 แสดงค่าสัมประสิทธิ์การสะท้อนรังสีดวงอาทิตย์ที่ความยาวคลื่นต่าง (Webb, 1998)

ความยาวคลื่น (nm)	คิน	หญ้า	คอนกรีต	ทราย	หิมะ
UV-B (<315)	0.044	0.017	0.098	0.152	0.630-0.762
UV-A (315-400)	0.065	0.019	0.131	0.203	0.656-0.790
Visible	0.158	0.089	0.236	0.324	0.687
IR	0.269	0.587	0.266	0.381	0.745

การเปลี่ยนแปลงสัมประสิทธิ์การสะท้อนของรังสีที่พื้นผิวโลกลับค่าความเข้มรังสีอัลตราไวโอเลตที่พื้นผิวโลกดังที่ได้แสดงในตารางที่ 2.1 นั้นสามารถเขียนแสดงได้ในรูปที่ 2.9



รูปที่ 2.9 แสดงความสัมพันธ์ระหว่างสัมประสิทธิ์การสะท้อนของพื้นผิวโลกและการเปลี่ยนแปลง
ความเข้มรังสีอัลตราไวโอเลต ที่มุมเชนิช 0 องศา (----) 70 องศา (.....) และที่มุมเชนิช
47° (—) (Trevini, 1993)

2.2 การวัดรังสีอัลตราไวโอเลต

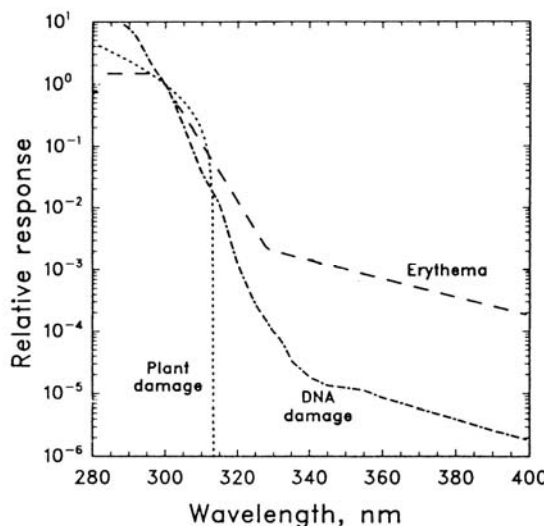
การวัดรังสีอัลตราไวโอเลตแบ่งได้ออกเป็น 3 วิธี ดังนี้

1. การวัดโดยใช้หลักการทางชีววิทยา การวัดชนิดนี้ใช้ในงานด้านการแพทย์ โดยจะแสดงปริมาณรังสีอัลตราไวโอเลตในรูปของการเกิดการไหม้ของผิวนังหรือความสามารถในการผ่าเชื้อแบคทีเรียหรือไวรัส
2. การวัดโดยใช้หลักการทางเคมี การวัดชนิดนี้จะใช้สารเคมีซึ่งมีปฏิกิริยา กับรังสีอัลตราไวโอเลต เช่น ปฏิกิริยาระหว่าง methylene ใน acetate-oxalic acid โดยจะวัด dose ของรังสีอัลตราไวโอเลตจากปริมาณของสารที่ได้จากปฏิกิริยาเคมี
3. การวัดโดยอาศัยหลักการทางฟิสิกส์ การวัดโดยวิธีนี้เหมาะสมสำหรับใช้ในการตรวจวัดรังสีอัลตราไวโอเลตจากดวงอาทิตย์บ้าง เป็นประจำและต่อเนื่องเป็นระยะยาวอุปกรณ์ที่ใช้วัดมีหลายแบบ เช่น การใช้ phototubes, photovoltaic cells, ionization chambers และ photographic films เป็นต้น

การวัดรังสีอัลตราไวโอเลตจะมีความยุ่งยากมากกว่าการวัดรังสีในช่วงความยาวคลื่นที่มองเห็น ได้เนื่องจากการรังสีอัลตราไวโอเลตที่ผ่านบรรยายกาศลงมาอาจจะพื้นผิวโลกจะมีปริมาณเพียงเล็กน้อยเท่านั้น โดยทั่วไปการวัดรังสีอัลตราไวโอเลตจะแบ่งได้ 3 ประเภท คือ การวัดสเปกตรัม (Spectrometer) การวัดในช่วงความยาวคลื่นกว้าง (broadband detector) และการวัดปริมาณรังสีที่ได้รับในพื้นผิวที่สนใจในช่วงเวลาหนึ่งเวลาใด (dosimetry) เครื่องวัดสเปกตรัมจะเป็นเครื่องมือที่ใช้วัดความเข้มรังสีอัลตราไวโอเลตในระดับยาวคลื่น โดยทั่วไปเรียกว่า spectroradiometer ได้แก่ Brewer และ Bentham เป็นต้น สำหรับการตรวจวัดในช่วงความยาวคลื่นกว้างจะใช้ broadband UV detector ได้แก่ Robertson-Berger sunburn meter, Biometer เป็นต้น ส่วนการวัด dosimetry เป็นการวัดพลังงานจากรังสีอัลตราไวโอเลตที่ตกกระทบพื้นผิวที่สนใจในช่วงเวลาหนึ่งได้แก่ polysulphone film เป็นต้น

2.2.1 การตอบสนองของสิ่งมีชีวิตต่อรังสีอัลตราไวโอเลต

ในสิ่งมีชีวิตต่างๆ จะมีการตอบสนองหรือได้รับผลกระทบจากรังสีอัลตราไวโอเลตแตกต่างกัน โดยจะมีการแปรค่าตามความยาวคลื่น เช่น ผิวหนังมนุษย์ พืช และ DNA ลักษณะของการตอบสนองดังกล่าวแสดงไว้ในรูปที่ 2.10



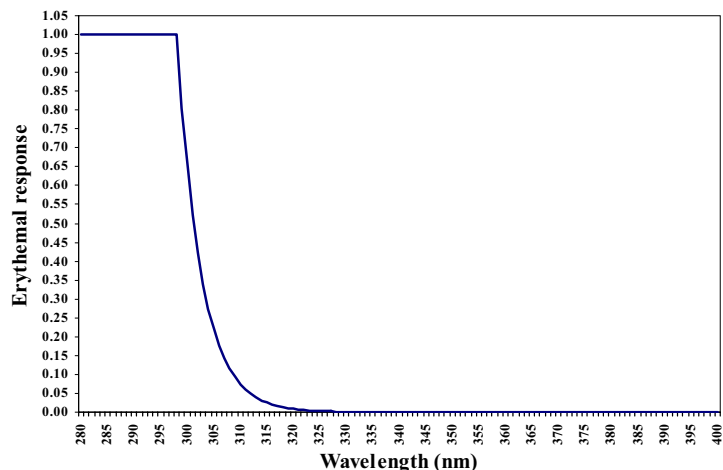
รูปที่ 2.10 แสดงสเปกตรัมการตอบสนองต่อรังสีอัลตราไวโอเลตของพืช DNA และผิวหนัง (Madronich, 1993)

เมื่อผิวหนังมนุษย์ได้รับรังสีอัลตราไวโอเลตในปริมาณมาก ผิวหนังจะแดงและมีอาการแสบร้อน หรือที่เรียกว่า ผิวหนังถูกเผา (sun burn) ซึ่งโดยทั่วไปจะมีอาการผิวหนังแดงจะเกิด 1-5 ชั่วโมงหลังจากถูกเผา โดยผลกระทบของรังสีอัลตราไวโอเลตในช่วงความยาวคลื่นสั้นจะมีอันตรายต่อผิวหนังรุนแรงกว่าที่ในช่วงความยาวคลื่นเพิ่มขึ้น การตอบสนองดังกล่าวเรียกว่า erythemal response โดยความเข้มรังสีอัลตราไวโอเลตที่คำนึงถึงผลกระทบของการตอบสนองของผิวหนังแล้วจะเรียกว่า erythemal ultraviolet radiation หรือ EUV ซึ่งสามารถหาได้จากการสมการ (Dubrovsky, 2000)

$$I_{EUV} = \int R_{E\lambda} I_\lambda d\lambda \quad (2.1)$$

เมื่อ I_{EUV} = ความเข้มรังสีอัลตราไวโอลেตที่มีผลต่อผิวหนังมนุษย์
 I_λ = สเปกตรัมของความเข้มรังสีอัลตราไวโอลेटนักบริการาศาสโล^ก
 $R_{E\lambda}$ = พิจารณาการตอบสนองของผิวหนังมนุษย์
 λ = ความยาวคลื่น

International Commission of Illumination (Centre International of Eclairage, CIE) ได้กำหนดมาตรฐานของ $R_{E\lambda}$ ไว้ดังรูปที่ 2.11



รูปที่ 2.11 แสดงกราฟการตอบสนองของผิวหนังมนุษย์ต่อรังสีอัลตราไวโอลे�ต (CIE, 1987)

กราฟในรูปที่ 2.10 สามารถเขียนแทนได้ด้วยสมการ (McKinlay and Diffy, 1987)

$$R_{E\lambda} = \begin{cases} 1.0 & ; \lambda < 298 nm \\ 10^{[0.094(298-\lambda)]} & ; 298 < \lambda \leq 328 \\ 10^{[0.015(139-\lambda)]} & ; 328 < \lambda \leq 400 \end{cases} \quad (2.2)$$

เมื่อ $R_{E\lambda}$ = พิริมาณที่หักดิบของผิวน้ำมันน้ำยา
 λ = ความยาวคลื่น

จากสมการที่ 2.2 ปริมาณ EUV สามารถคำนวณได้จากค่าสเปกตรัมรังสีอัลตราไวโอเลต ซึ่งค่าดังกล่าวจะสามารถหาได้จากการวัดหรืออาจได้จากการคำนวณโดยใช้แบบจำลองการแผ่รังสี (radiative transfer model) เครื่องมือที่สามารถวัดความเข้มรังสีอัลตราไวโอเลตที่มีผลต่อผิวน้ำของมนุษย์ได้ เช่น UV-Biometer (solar light) ซึ่งจะมีราคาถูกมากกว่าการใช้เครื่องวัดสเปกตรัม

2.2.2 ดัชนีความเข้มรังสีอัลตราไวโอเลต

รังสีอัลตราไวโอเลตมีผลต่อผิวน้ำของมนุษย์ ถ้าได้รับในปริมาณมากจะทำให้เกิดอาการผิวน้ำถูกแดดเผาและเพิ่มความเสี่ยงต่อการเกิดโรคมะเร็งผิวน้ำซึ่งความรุนแรงของผลดังกล่าวจะขึ้นกับระดับความเข้มรังสีอัลตราไวโอเลต ดังนี้เพื่อให้เกิดความเข้าใจง่ายขึ้นกับระดับความรุนแรงดังกล่าว องค์การอนามัยโลก (World Health Organization, WHO) จึงได้แบ่งระดับความเข้มของรังสีอัลตราไวโอเลตที่มีผลต่อผิวน้ำของมนุษย์โดยใช้ดัชนีความเข้มรังสีอัลตราไวโอเลต (UV index) เพื่อใช้เป็นมาตรฐานในการบอกระดับความเข้มรังสีอัลตราไวโอเลตที่มีผลต่อผิวน้ำของมนุษย์ ดังตารางที่ 2.2

ตารางที่ 2.2 แสดงดัชนีความเข้มรังสีอัลตราไวโอเลต (WHO, 2002)

ดัชนีความเข้ม รังสีอัลตราไวโอเลต [-]	ความเข้ม รังสีอัลตราไวโอเลต (mW/m^2)	ระดับ	สี
0-2	0-50	Low	
3-5	50-125	Moderate	
6-7	125-175	High	
8-10	175-250	Very high	
มากกว่า 11	มากกว่า 250	Extreme	

2.3 งานวิจัยที่เกี่ยวข้อง

Ferderick et al. (1993) ได้ทำการศึกษาสภาพรังสีอัลตราไวโอเลตที่ Ushuaia, Argentina ($54^{\circ}59'S$) ระหว่างเดือนกันยายน ค.ศ. 1990 จนถึงเดือนมีนาคม ค.ศ. 1991 ในช่วงที่มีการลดลงของปริมาณโซโลนที่บริเวณ Antractica พบว่าที่ความยาวคลื่น 300 และ 310 nm นั้นมีค่าอยู่ในช่วงของค่าเฉลี่ยราย 10 ปี ของวันที่ห้องฟ้าปราศจากเมฆ โดยเฉพาะช่วงเดือนธันวาคมค่าความเข้มรังสีอัลตราไวโอเลตที่ความยาวคลื่น 306.5 nm นั้นมีค่ามากกว่าค่าเฉลี่ยถึง 45% โดยที่ค่าความเข้มสูงสุดที่วัดได้ที่ Ushuaia นี้จะมีค่าใกล้เคียงกับค่าที่วัดได้ที่ละติจูดที่น้อยกว่า Ushuaia 20° ที่เวลา summer solstice

Piazena (1996) แห่ง Institute of Botanical and Pharmaceutical Biology ประเทศเยอรมัน ได้ทำการศึกษาผลของการดับความสูงต่อความเข้มรังสีอัลตราไวโอเลตที่เทือกเขา Andes ประเทศชิลี โดยใช้เครื่องมือวัดความเข้มรังสีอัลตราไวโอเลตแบบ Grasnick filter photometer ทำการวัด UV-A ในช่วงความยาวคลื่น 313-374 nm และ UV-B ในช่วงความยาวคลื่น 313-318 nm ที่ระดับความสูงต่างๆ จนถึงระดับความสูง 5,000 m จากผลการศึกษาพบว่า UV-B ที่ความเข้มเพิ่มขึ้น 8-10 % ต่อความสูง 1,000 m และสำหรับ UV-A มีความเข้มเพิ่มขึ้น 7-15 % ต่อความสูง 1,000 m

ในต้นปี ค.ศ. 1993 the Federal Office for Radiation Protection (BfS, Salzgitter) ร่วมกับ the Federal Environmental Office(UBA, Berlin) ได้จัดตั้งเครื่องข่ายการวัดรังสีอัลตราไวโอเลตที่ Zingst, Offenbach, Schauinsland และ Neuherberg ในประเทศ Germany เครื่อข่ายการวัดดังกล่าวได้ใช้เครื่อง Bentham DM 150 double monocromator งานวิจัยของ Steinmetz (1997) ได้นำข้อมูลที่ได้จากการวัดที่สถานีเครื่อข่ายการวัดดังกล่าวมาทำการศึกษาค่าสภาพรัมที่ความยาวคลื่นระหว่าง 290-450 nm โดยวิเคราะห์ผลเป็นค่าความเข้มรังสีอัลตราไวโอเลตที่มีผลต่อผิวนั้นนุ่มยืดง ผลลัพท์ที่ได้มาจะสามารถทำให้ทราบถึงความเข้มรังสีอัลตราไวโอเลตที่ครอบคลุมพื้นที่ในประเทศ Germany ในเขตต่างๆ

ในปี 1994 Orce et al. (1997) ได้เข้าร่วมในโครงการ The UVR-PAR Argentinean Monitoring Network โดยทำการวัดค่ารังสีอัลตราไวโอเลตและรังสีที่พืชใช้สังเคราะห์แสงด้วย Spectroradiometer (GUV-511, Biospherical Instruments, Inc.) โดยในงานนี้ได้ทำการติดตั้งเครื่องมือไว้ที่ศูนย์วิจัยที่ตั้งอยู่บน ตำแหน่งละติจูดที่ห่างกันประมาณ 8-12 องศา เริ่มต้นตั้งแต่ถนน Subantarctic-Fuegian ไปจนถึง Tropic of Capricorn ทำให้เครื่องมือที่นำไปใช้วัดอยู่ในเขตที่มีสภาพภูมิอากาศที่แตกต่างกัน ผลที่ได้จากการวัดภาคพื้นดินแสดงให้เห็นถึงการแปรค่าของรังสีอัลตราไวโอเลตที่มีการแปรค่าจากต่างกันในเขตใต้ศูนย์สูตรมาจนสูงที่เหนือเขตศูนย์สูตร

ในปี 1995 Seckmeyer et al. (1997) ได้รายงานการตรวจวัดค่ารังสีอัลตราไวโอเลตที่วัดได้ในประเทศ Germany ในเขต 47.5°N , 11.1°E ซึ่งมีสถานีวัดสองสถานีติดกันคือ Garmisch-Partenkirchen และ Zugspitze โดยในช่วงเดือนมีนาคมและมิถุนายน สถานี Garmisch-Partenkirchen ตรวจวัดค่ารังสีอัลตราไวโอเลตที่มีผลต่อผิวหนังมนุษย์สูงพิเศษ ในงานวิจัยได้ทำการหาค่าความเข้มรายวันและทำการแยกแยะความถี่ของค่าความเข้มรังสีอัลตราไวโอเลตที่มีผลต่อผิวหนังมนุษย์แล้วนำมาทำการเปรียบเทียบสเปกตรัมรังสีอัลตราไวโอเลตที่ได้จากทั้งสองสถานีวัดที่มีความสูงจากระดับน้ำทะเลต่างกัน พบว่าค่าความเข้มรังสีอัลตราไวโอเลตจากสถานี Zugspitze จะมีค่าเฉลี่ยรายเดือนของค่ารังสีอัลตราไวโอเลตที่มีผลต่อผิวหนังมนุษย์สูงกว่าสถานี Garmisch-Partenkirchen ประมาณ 25-90% ซึ่งในรายงานอธิบายถึงค่าของรังสีอัลตราไวโอเลตที่มีผลต่อผิวหนังมนุษย์ที่มากพิเศษนั้นสาเหตุเกิดจากมุมที่แสงอาทิตย์ตกกระทบกับเมฆ หากพิจารณาถึงค่ารังสีอัลตราไวโอเลตที่มีการเปลี่ยนแปลงความเข้มรังสีอัลตราไวโอเลตอย่างรวดเร็วจะมีอันตรายมากกว่าการเพิ่มขึ้นของปริมาณรังสีอัลตราไวโอเลตในระยะยาวเนื่องจากการปรับตัวของสิ่งมีชีวิตต่างๆ ไม่สามารถที่จะตอบสนองต่อการเปลี่ยนแปลงความเข้มรังสีอัลตราไวโอเลตอย่างรวดเร็วได้

Madronich et al. (1998) ได้ทำการศึกษาความเข้มรังสีอัลตราไวโอเลตบีในระยะยาว โดยทำการศึกษาความสัมพันธ์ระหว่างองค์ประกอบต่างๆ คือโอโซน เมฆและฝุ่นละออง โดยใช้ข้อมูลจากแหล่งต่างๆ ทั้งการวัดภาคพื้นดินและดาวเทียมมาทำการศึกษา พบว่าค่าความเข้มรังสีอัลตราไวโอเลตที่มีผลต่อผิวหนังมนุษย์มีแนวโน้มมากขึ้นและในบางพื้นที่ของ Antarctica (64°S) มีค่าใกล้เคียงค่าสูงสุดของความเข้มสเปกตรัมรังสีอัลตราไวโอเลตที่วัดได้ ณ บริเวณละตitud กลางที่ San Diego, CA, USA (32°N) ซึ่งในงานวิจัยนี้ได้อธิบายถึงผลของโอโซนต่อกลางความเข้มของรังสีอัลตราไวโอเลตบี ซึ่งมีประโยชน์อย่างมากต่อการศึกษาผลกระทบของโอโซนต่อรังสีอัลตราไวโอเลตที่ประเทศไทย

ในระหว่างปี 1995 ถึงปี 1996 Feister และ Gericke (1998) ได้ทำการศึกษา cloud flags ซึ่งเป็นค่าที่ใช้แสดงปริมาณของเมฆในขณะที่ทำการวัดสเปกตรัมรังสีอัลตราไวโอเลตโดยในงานวิจัยนี้ใช้เครื่องวัดสเปกตรัม Brewer spectroradiometer MKII และ MKIII ทำการวัดข้อมูลจากสถานีวัด Postdam, Germany จากข้อมูลการวัดสเปกตรัมทั้งหมด 16217 ข้อมูล พบว่ามี 807 สเปกตรัม หรือคิดเป็น 5% เป็นข้อมูลที่วัดในสภาพท้องฟ้าปราศจากเมฆ ข้อมูลอีกจำนวน 15384 หรือ 95% เป็นข้อมูลจะวัดได้ในสภาพท้องฟ้ามีเมฆปกคลุม โดยข้อมูลที่ได้จะนำมาหาค่า direct/diffuse ratio ซึ่งทำให้สามารถออกสภาพท้องฟ้าแบบปราศจากเมฆหรือมีเมฆปกคลุมได้

ในระหว่างปี 1991-1996 Kevin Robert Gurney (1998) ได้ทำการวิเคราะห์ความเข้มรังสีอัลตราไวโอเลตจากข้อมูลการวัดที่ Point Barrow, Alaska (71.2°N , 159°W) โดยทำการวัดความเข้ม

สเปกตรัมรังสีอัลตราไวโอเลต 18 สเปกตรัมในช่วง 290 – 320 nm แล้วทำการพิจารณาแนวโน้มในระยะยาวพบว่าที่ความยาวคลื่น 305 nm มีการเพิ่มขึ้น 3-10 % ต่อปี และพบว่าการลดลงอย่างต่อเนื่องของปริมาณ โอดูโซนที่บริเวณนี้ส่งผลให้ค่าความเข้มของรังสีอัลตราไวโอเลตที่ความยาวคลื่น 305 nm มีการเพิ่มขึ้นอย่างเห็นได้ชัด ซึ่งจากการวิจัยนี้สามารถที่จะอธิบายได้ว่า โอดูโซนในบรรยากาศชั้นสตราโตสfer เปิร์มีผลต่อการดูดกลืนปริมาณรังสีอัลตราไวโอเลตคลื่นสั้นในช่วงรังสีอัลตราไวโอเลตบีโดยเฉพาะที่ความยาวคลื่น 305 nm

Zerefos และคณะ (1998) จาก Laboratory of Atmospheric Physics, Aristotle University of Thessaloniki ประเทศกรีซ ได้ทำการศึกษาการเปลี่ยนแปลงของรังสีอัลตราไวโอเลตระยะยาว ที่เมือง Thessaloniki โดยใช้ข้อมูล spectral UV-B ซึ่งวัดโดยเครื่องวัด Brewer spectrophotometer ที่ความยาวคลื่น 305 และ 325 nm ผลการศึกษาแสดงให้เห็นว่าค่าความเข้มรังสีUV-B ที่ความยาวคลื่น 305 nm เพิ่มขึ้น 10 % ในระยะเวลา 10 ปี ซึ่งผลการเปลี่ยนแปลงที่เกิดขึ้นเป็นเกิดขึ้นจากการเปลี่ยนแปลงของปริมาณ โอดูโซน

Lovengreen et al. (1999) ได้ทำการวิเคราะห์การแปรค่าในรอบวันและรายปีของรังสีอัลตราไวโอเลตที่ Valdivia, Chile (39.8°S) ตั้งแต่ มกราคม 1995 จนถึง มีนาคม 1999 จากนั้นได้ทำการวิเคราะห์ปริมาณ Erythemal dose rate และ daily dose ซึ่งพบว่าค่าเฉลี่ยรายชั่วโมงของเดือน มกราคมและกรกฎาคมมีการแปรค่าอยู่ในช่วงไม่เกิน $20 \mu\text{Wcm}^{-2}\text{nm}^{-1}$ และข้อมูล Erythemal daily dose มีค่าอยู่ระหว่าง 300 ถึง 6000 Jm^{-2} และจากการวิเคราะห์ข้อมูลของการเปลี่ยนแปลง โอดูโซน และแมลงในงานวิจัยนี้พบว่าส่งผลให้ค่าความเข้มรายวันของ UVB เปลี่ยนแปลงได้ถึง 77%

Kikas et al. (2001) ได้ทำการศึกษาผลของฝุ่นละอองที่ระดับพื้นดินที่มีผลต่อปริมาณรังสีอัลตราไวโอเลต ในระหว่างมิถุนายน ถึง สิงหาคม ปี 1999 ที่ Pärnu, Estonia โดยทำการวัดปริมาณรังสีอัลตราไวโอเลตด้วยเครื่องวัดสเปกตรัม PC1000 ของบริษัท Ocean Optics Inc. และทำการวัดขนาดของฝุ่นละอองด้วยเครื่อง EAS (electric aerosol spectrometer) จากนั้นได้ทำการศึกษาความสัมพันธ์ระหว่างปริมาณรังสีอัลตราไวโอเลตกับฝุ่นละอองในวันที่ท้องฟ้าปราศจากเมฆ พบร่วงสีอัลตราไวโอเลตในช่วงความยาวคลื่น 300-400 nm มีการกระเจิงได้กับฝุ่นละอองขนาดเส้นผ่านศูนย์กลาง 100-560 nm

Palanca และ Toselli (2002) ได้ทำการศึกษารังสีอัลตราไวโอเลตที่มีผลต่อผิวนังมุขย์ ด้วยเครื่องวัด YES UVB-1 โดยทำการศึกษาในเขตชุมชนเมืองที่ Córdoba ประเทศ Argentina ในระหว่างเดือนพฤษภาคม ปี 1998 ถึงเดือนธันวาคม ปี 1999 ในงานวิจัยได้ศึกษาถึงการแปรค่าในรอบวันและรายปีพบว่าค่าความเข้มรังสีอัลตราไวโอเลตที่มีผลต่อผิวนังมุขย์ที่วัดได้ในวันที่ท้องฟ้าปราศจากเมฆจะมีค่าต่ำกว่าค่าที่คำนวณเนื่องจากผลกระทบ ตัวแปรทางฟิสิกส์

และ ตัวแปรทางอุตุนิยมวิทยาต่างๆ โดยพบว่าในเขตนี้ผู้ประสบภัยในบรรดาศึกษาดูคล่องของปริมาณรังสีอัลตราไวโอเลตถึง 40% ในขณะที่โอโซนและโมเลกุล SO_2 มีผลต่อการดูดกลืนความเข้มรังสีอัลตราไวโอเลตที่มีผลต่อผิวนังมนุษย์น้อยกว่า

ในปี 2002 Harrison และ Young (2002) แห่ง Department of Environmental Dermatology, King's College London ประเทศอังกฤษ ได้ทำการศึกษาผลของการรังสีอัลตราไวโอเลตที่มีผลต่อผิวนังมนุษย์ โดยการศึกษารังสี UVB ซึ่งพิจารณาจาก minimal erythema dose (MED) ที่มีผลต่อผิวนัง 4 ชนิด ผลที่ได้พบว่าค่า MED ไม่สามารถที่จะนำมาใช้อธิบายการเกิดรอยไหม้แดงในแต่ละชนิดของผิวนังชัดเจน จึงได้ทำการวิเคราะห์โดยใช้ standard erythema dose (SED) ซึ่งผลที่ได้พบว่าค่า SED สามารถที่จะอธิบายการเกิดอาการรอยไหม้แดงในแต่ละชนิดของผิวนังได้ดีกว่า

Lam et al.(2002) ได้ศึกษาการดูดกลืนรังสีอัลตราไวโอเลตของโอโซน ที่ Hong Kong ด้วยเครื่องวัดสเปกตรัม Brewer MKIII #115 ในระหว่างปี ค.ศ. 1995 – 2001 พบว่าปริมาณความเข้มรังสี UVB มีการแปรค่าจากความเข้มต่ำสุดที่เดือนกรกฎาคมไปถึงสูงสุดที่เดือนพฤษภาคม โดยที่มุ่งของดวงอาทิตย์ (SZA) โอโซน และ เมฆ เป็นตัวควบคุมปริมาณความเข้มรังสีอัลตราไวโอเลตตามช่วงเวลาดังกล่าว จากนั้นผู้วิจัยได้ทำการวิเคราะห์ความสัมพันธ์ระหว่างความเข้มรังสี UVB กับปริมาณโอโซนในวันที่สภาพห้องฟ้าปราศจากเมฆที่ SZA = 45 องศา มีความสัมพันธ์กันดังนี้ คือเมื่อปริมาณโอโซนเพิ่มขึ้น 1% จะทำให้ปริมาณความเข้มรังสี UVB ลดลง 1%

Casiccia et al. (2003) ได้ทำการตรวจวัดปริมาณโอโซนและรังสี UVB ที่ Punta Arenas ประเทศ Chile ที่วัดด้วยเครื่องวัดสเปกตรัม Brewer MK-IV ในช่วงเวลาที่มีการขยายพื้นที่ของ Antarctic Ozone Hole โดยครอบคลุมพื้นที่ 28.3 km^2 ระหว่างเดือนสิงหาคม – ตุลาคม ปี ค.ศ. 2000 พบว่าในบางช่วงมีปริมาณโอโซนซึ่งต่ำกว่าค่าขีดต่ำสุดของปริมาณโอโซนที่ 220 DU ที่นิยามว่าเป็น Ozone Hole จากผลของการวิเคราะห์พบว่าในบางช่วงเวลาเมื่อปริมาณโอโซนลดลงเหลือเพียง 170 DU หรือคิดเป็น 49% จากค่าเฉลี่ยของปริมาณโอโซนในเดือนตุลาคมที่เขตนี้ ซึ่งผลจากการลดลงของปริมาณโอโซนนี้ทำให้ค่าความเข้มรังสีอัลตราไวโอเลตที่มีผลต่อผิวนังมนุษย์ที่วัดได้มีค่าเพิ่มขึ้นมากกว่า 100% และบางช่วงของสเปกตรัมรังสี UVB จะมีความเข้มเพิ่มขึ้นถึง 1000% จากค่าความเข้ม UVB ในวันที่โอโซนมีค่าอยู่ในช่วงปกติ

ในปี 2004 Adam และ Shazly (2007) ได้ทำการศึกษาผลกระทบจากเมฆต่อการลดลงของปริมาณรังสีอัลตราไวโอเลต ที่ Qena ประเทศ Egypt ทำได้โดยใช้ข้อมูลรายชั่วโมงจากการวัดด้วยเครื่อง UVB-1 ของบริษัท Yankee Environmental Systems Inc. ระหว่างปี ค.ศ. 2004-2005 มาทำการวิเคราะห์ผลของการดูดกลืนรังสีอัลตราไวโอเลตจากปริมาณเมฆ ซึ่งในงานวิจัยนี้ได้ทำการแบ่งปริมาณของเมฆออกเป็น 8 ระดับด้วย cloud modification factor (CMF) ผลที่ได้พบว่าเมฆสามารถ

ดูดกลืนความเข้มรังสี UVB ได้เป็นอย่างดี โดยที่เมื่อมีปริมาณแมงปักคลุนเต็มท้องฟ้าจะทำให้ความเข้มของ UVB ลดลงได้ถึง 83%

Guarnieri et al. (2004) ได้ทำการศึกษา anticorrelations ระหว่างโอโซนและรังสีอัลตราไวโอเลตบีที่ Southern Space Observatory, Brasil โดยใช้ข้อมูลจากเครื่องวัดรังสีอัลตราไวโอเลต Eko model MS-210W ร่วมกับ Total Ozone Mapping Spectrometer (TOMS) ที่วัดในช่วงเดือนกรกฎาคม ค.ศ. 1999 ถึงเดือนธันวาคม ค.ศ. 2001 ที่ค่ามุมเซนิตเดียวกันในวันที่ห้องฟ้าปราศจากเมฆ โดยทำการศึกษายลักษณะความสัมพันธ์ระหว่างค่าความเข้มรังสีอัลตราไวโอเลตบีกับปริมาณโอโซนซึ่งพบว่าเมื่อโอโซนมีปริมาณเพิ่มขึ้นค่าความเข้มรังสีอัลตราไวโอเลตจะมีความเข้มลดน้อยลง

Stick et al. (2006) ได้ทำการศึกษาถึงค่ารังสีอัลตราไวโอเลตที่มีค่าสูงผิดปกติที่ตรวจพบที่บริเวณตอนกลางของยุโรป โดยในเดือนพฤษภาคมปี ค.ศ. 2005 ที่บริเวณตอนกลางในประเทศเยอรมนีพบค่าความเข้มรังสีอัลตราไวโอเลตที่มีผลต่อผิวนั้นมุนխย์สูงกว่าค่าเฉลี่ยกว่า 20% ซึ่งสอดคล้องกับปริมาณโอโซนที่ลดลงอย่างผิดปกติในขณะที่มุนเนยของดวงอาทิตย์มีค่ามากในสภาพห้องฟ้าปราศจากเมฆ โดยได้เคยมีการพบค่าความเข้มรังสีอัลตราไวโอเลตที่มีผลต่อผิวนั้นมุนխย์ที่มีค่าสูงเช่นเดียวกันนี้ในเดือนพฤษภาคมปี ค.ศ. 1994 ซึ่งเหตุการณ์เช่นนี้เรียกว่า “ozone mini-hole” ซึ่งได้ส่งผลต่อผู้คนที่อาศัยอยู่ในบริเวณดังกล่าว

Gutiérrez-Marco et al. (2007) ได้ทำการวิเคราะห์ข้อมูลรังสีอัลตราไวโอเลตบีที่ Iberian Peninsula ที่วัดด้วยเครื่อง spectroradiometer Brewer MKIV และ broadband YES UVB-1 ระยะยาวตั้งแต่ปี ค.ศ. 1996 - 2002 จากนั้นได้ทำการวิเคราะห์หาความสัมพันธ์ระหว่างรังสีอัลตราไวโอเลตบีกับรังสีในช่วงที่ตามองเห็นในวันที่ห้องฟ้าปราศจากเมฆ ผลที่ได้พบว่าค่ารังสีอัลตราไวโอเลตบีที่คำนวณด้วยค่ารังสีที่ตามองเห็นในวันที่ห้องฟ้าปราศจากเมฆมีความสัมพันธ์กับค่ารังสีอัลตราไวโอเลตบีที่วัดได้เป็นอย่างดี

สำหรับการศึกษารังสีอัลตราไวโอเลตในประเทศไทยได้มีการติดตั้งเครื่องวัดรังสีอัลตราไวโอเลตรวมที่อาคารวิทยาศาสตร์ 3 มหาวิทยาลัยศิลปากร จังหวัดนครปฐม ในปี ค.ศ. 1991 และนำข้อมูลมาวิเคราะห์ครั้งแรกในปี ค.ศ. 1992 (พิพวรรณ สุชา, 1992) ต่อมาในปี ค.ศ. 2000 (สุนา มาลย์ บันเทิง, 2000) โดยได้ทำการวิเคราะห์การแปรรังสีอัลตราไวโอเลตรวมรายวันและรายปี

ในปี ค.ศ. 2003-2004 สัมฤทธิ์ สุทธิประภา (2004) ได้ทำการพัฒนาวิธีการทำนายความเข้มรังสีอัลตราไวโอเลตในประเทศไทย โดยใช้ข้อมูลความเข้มรังสีอัลตราไวโอเลตจากเครื่องวัด Brewer Spectrophotometer ที่สถานีกรุงเทพฯ และ สงขลา

ในปี ค.ศ. 2006 กีรติ เกิดศิริ ได้ทำการศึกษาลักษณะทางสถิติและแบบจำลองของรังสีอัลตราไวโอลেตจากดวงอาทิตย์ที่มีผลต่อผิวหนังมนุษย์ในประเทศไทยด้วยข้อมูลจากเครื่อง Biometer 501-A ของบริษัท Solar light จำนวน 5 ปี (2001 – 2005) จากสถานีวัด 4 แห่งในประเทศไทย คือ สถานีอุตุนิยมวิทยา จังหวัดเชียงใหม่, อุบลราชธานี, สงขลา และสถานีวัดความเข้มรังสีอาคารวิทยาศาสตร์ 1 มหาวิทยาลัยศิลปากร วิทยาเขตพระราชวังสนามจันทร์ จังหวัดนครปฐม โดยนำข้อมูลที่ได้มาวิเคราะห์การแปรค่ารายวัน รายปี และนำความเข้มรังสีอัลตราไวโอลেตที่มีผลต่อผิวหนังมนุษย์มาทำการวิเคราะห์ความสัมพันธ์กับข้อมูลรังสีรวม(Global irradiation) ในสภาพที่ท้องฟ้าปราศจากเมฆและมีเมฆปกคลุม จากความสัมพันธ์ที่ได้มีองำไปใช้งานจะมี Root Mean Square Difference (RMSD) ในวันที่ท้องฟ้าปราศจากเมฆและมีเมฆเท่ากับ 15.4% และ 20.3% ตามลำดับ

จากการศึกษางานวิจัยทั้งหมดที่ผ่านมาจะเห็นว่าในประเทศไทยมีการศึกษาและวิจัยเกี่ยวกับรังสีอัลตราไวโอลे�ตค่อนข้างน้อย ดังนั้นในงานวิจัยนี้ ผู้วิจัยจึงได้เสนอที่จะทำการศึกษาความเข้มรังสีอัลตราไวโอลे�ตด้วยเครื่อง Spectrophotometer ของบริษัท Bentham model DMc150

บทที่ 3

วิธีการวิจัยและผล

การวัดรังสีอัลตราไวโอเลตจำเป็นที่จะต้องใช้เครื่องมือวัดความเข้มรังสีดวงอาทิตย์ที่มี การตอบสนองต่อช่วงความยาวคลื่นสั้นระหว่าง 280 – 400 nm การวัดスペกตรัมรังสีอัลตราไวโอเลต สามารถทำได้ด้วยเครื่องวัดรังสีอัลตราไวโอเลตแบบสเปกตรัม เครื่องมือดังกล่าวจะให้ข้อมูลความเข้มรังสีอัลตราไวโอเลตที่แม่นยำและสามารถที่นำไปประยุกต์ใช้ประโยชน์ได้ ในขั้นแรกผู้วิจัยได้ทำการศึกษาคุณสมบัติของเครื่องมือโดยละเอียด จากนั้นได้ทำการติดตั้งเครื่องมือวัดสเปกตรัมรังสี อัลตราไวโอเลตที่คณะวิทยาศาสตร์ มหาวิทยาลัยศิลปากร จังหวัดนครปฐม โดยมีรายละเอียดต่างๆ ตามหัวข้อดังนี้

3.1 การวัดและการบันทึกข้อมูล

ในงานวิจัยนี้ ผู้วิจัยได้ทำการติดตั้ง spectroradiometer ยี่ห้อ Bentham รุ่น DMc150 ที่ คาดฟ้าชั้น 10 คณะวิทยาศาสตร์ มหาวิทยาลัยศิลปากร จังหวัดนครปฐม ($13.82^{\circ}\text{N}, 100.04^{\circ}\text{E}$) (รูปที่ 3.1) โดยทำการวัดตั้งแต่ วันที่ 11 สิงหาคม 2007 เครื่องมือดังกล่าวมีหัวรับรังสี ซึ่งจะติดตั้งอยู่บนคาดฟ้าชั้น 10 อาคารวิทยาศาสตร์ 1 โดยแสงที่ตกกระทบหัวรับรังสีนั้นจะเดินทางผ่านไยแก้วนำแสงมาเครื่องแยกความยาวคลื่น (monocromator) และวัดจำนวนโฟตอนด้วย PMT (Photo Multiplier Tube) ที่อยู่ในกล่องควบคุมอุณหภูมิ ซึ่งจะมีระบบควบคุมและเก็บข้อมูลลงในเครื่องคอมพิวเตอร์ โดยใช้โปรแกรม BenWin+ ที่พัฒนาโปรแกรมโดยบริษัท Bentham ดังแสดงในรูปที่ 3.2



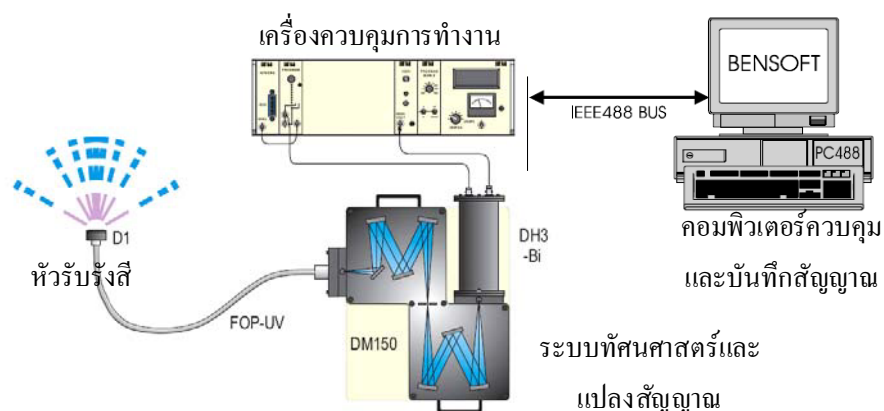
รูปที่ 3.1 แสดงหัวรับรังสีของ spectroradiometer ที่ติดตั้งอยู่บนคาดฟ้า อาคารวิทยาศาสตร์ 1 มหาวิทยาลัยศิลปากร จังหวัดนครปฐม



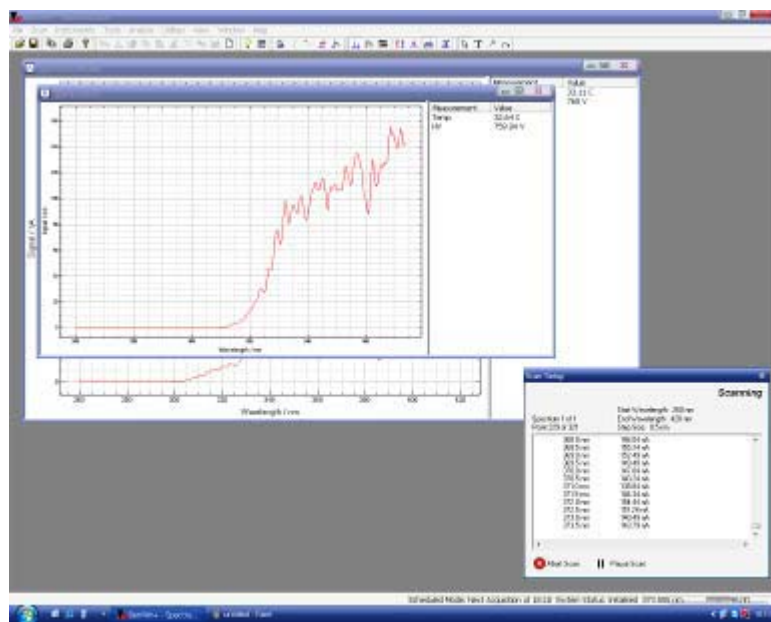
รูปที่ 3.2 แสดงเครื่อง spectroradiometer ซึ่งตั้งอยู่ที่ห้องเครื่องมือトイไดค์ฟ้าชั้น 10 อาคาร
วิทยาศาสตร์ 1



รูปที่ 3.3 แสดงเครื่องคอมพิวเตอร์ที่ใช้ควบคุมและบันทึกข้อมูลของเครื่อง spectroradiometer



รูปที่ 3.4 แผนภูมิแสดงการทำงานของเครื่อง spectroradiometer (Bentham, DMc150)



รูปที่ 3.5 แสดงหน้าจอแสดงผลของโปรแกรม BenWin+ สำหรับควบคุมเครื่อง spectroradiometer

ผู้วิจัยจึงทำการตั้งค่าโปรแกรม BenWin+ ให้ทำการวัดทุก 10 นาที โดยที่เครื่องวัดสเปกตรัมจะใช้เวลาประมาณ 2 นาทีต่อการวัดรังสีอัลตราไวโอเลต 1 ครั้ง โดยข้อมูลที่ได้จะเป็นสัญญาณนับทางไฟฟ้าในแต่ละความยาวคลื่น ซึ่งในการแปลงจะต้องแบ่งสัญญาณการวัดที่ได้มาให้อยู่ในรูปของพลังงานโดยใช้สมการ

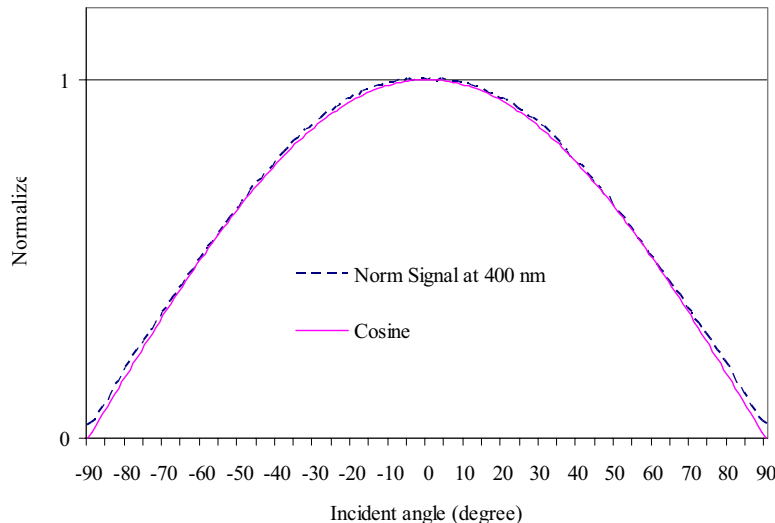
$$I_{\lambda} = \frac{C_{\lambda}}{S_{\lambda}} \quad (3.1)$$

I_{λ} = ความเข้มรังสีอัลตราไวโอเลตในแต่ละความยาวคลื่น [$\text{mW}/\text{m}^2\text{-nm}$]

C_{λ} = ค่าสัญญาณที่ได้มาจากการวัดในแต่ละความยาวคลื่น [nA]

S_{λ} = sensitivity ของเครื่องวัดต่อรังสีอัลตราไวโอเลตในแต่ละความยาวคลื่น [$\text{nA}/(\text{mW}/\text{m}^2)\text{-nm}$]

เมื่อทำการแปลงค่าให้อยู่ในรูปความเข้มรังสีอัลตราไวโอเลตแล้ว ผู้วิจัยได้ทำการปรับแก้ผลของมุนต์กกระทบรังสีดวงอาทิตย์ของหัววัด โดยใช้ cosine correction ที่ได้มาจากการคำนวณค่า normalize ของรังสีความยาวคลื่น 400 nm กับค่า cosine ที่ได้มาจากการบริษัทดังแสดงในรูปที่ 3.6 โดยเมื่อทำการคำนวณตามสมการที่ 3.2 จะได้ค่า cosine correction เป็นไปตามรูปที่ 3.7



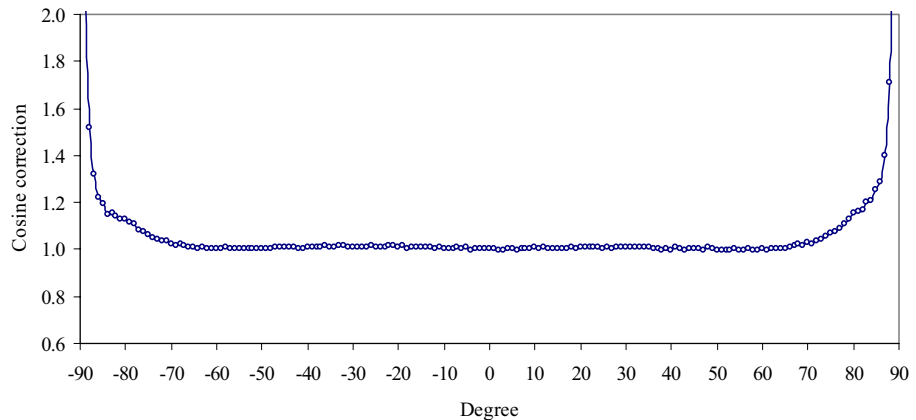
รูปที่ 3.6 แสดงค่า Normalize ของสัญญาณที่ความยาวคลื่น 400 nm กับค่า cosine

$$f_2(\varepsilon, \varphi) = \left[\frac{Y_{reading}(\varepsilon, \varphi)}{Y_{reading}(\varepsilon = 0^\circ, \varphi) \cos(\varepsilon)} - 1 \right] \times 100\% \quad (3.2)$$

โดยที่

$f_2(\varepsilon, \varphi)$	คือ ค่า Cosine correction
$Y_{reading}(\varepsilon, \varphi)$	คือ ค่าจากการวัดที่เต็มความยาวคลื่น
$Y_{reading}(\varepsilon = 0^\circ, \varphi) \cos(\varepsilon)$	คือ ค่าจากการวัดในอุณหภูมิ
φ	คือ ค่ามุมอชิมุท
ε	ค่ามุมตักษะ(เซนิช)

จากสมการที่ 3.2 จะได้ค่า cosine correction factor ดังแสดงในรูปที่ 3.7



รูปที่ 3.7 แสดงค่า cosine correction factor ที่ได้มาจากการคำนวณด้วยสมการ 3.2

โดยที่ใช้ค่าจากการวัดจริงกับสมการที่ 3.2 จะได้ค่าการวัดที่ได้แก้ cosine และเป็นดังสมการที่ 3.3

$$Y_{reading}(\varepsilon = 0^\circ, \varphi) \cos(\varepsilon) = \left[\frac{Y_{reading}(\varepsilon, \varphi)}{\left(\frac{f_2(\varepsilon, \varphi)}{100} \right) + 1} \right] \quad (3.3)$$

ซึ่งค่า cosine correction factor นี้จะนำไปใช้แปลงข้อมูลการวัดทั้งหมด

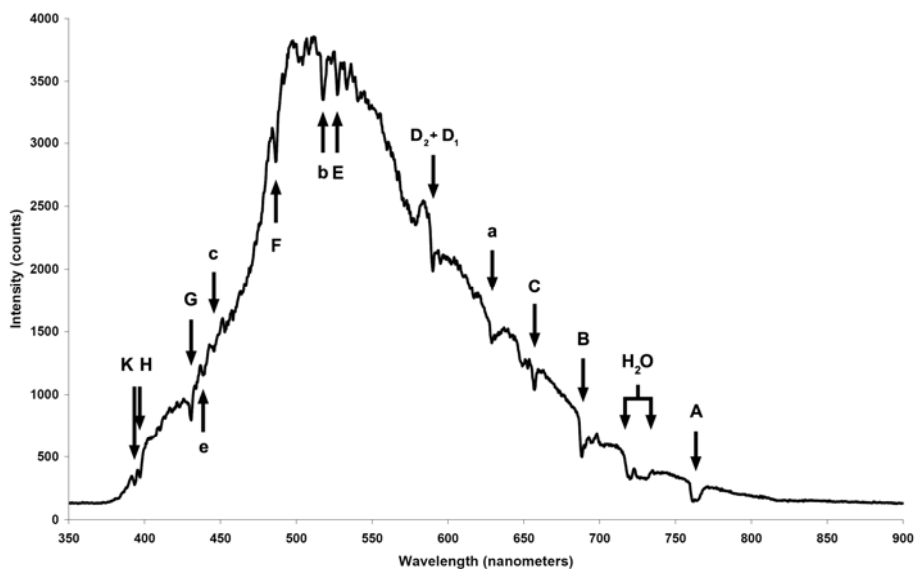
3.2 การสอบเทียบเครื่อง spectroradiometer

ในการวัดความเข้มรังสีอัลตราไวโอเลตจำเป็นจะต้องทำการสอบเทียบเครื่องมือ (calibration) เพื่อให้เครื่องมือทำงานได้อย่างถูกต้องและมีมาตรฐาน สำหรับการสอบเทียบเครื่องมือวัดความเข้มแบบスペกตรัมนั้นมีขั้นตอนที่สำคัญ ได้แก่ การสอบเทียบความแม่นยำในการวัดความยาวคลื่น (Wavelength alignment) และการสอบเทียบความถูกต้องในการวัดสัญญาณ (Spectral responsivity calibration)

โดยในส่วนของการสอบเทียบความแม่นยำในการวัดความยาวคลื่นนั้นสามารถทำได้โดยใช้หลอดมาตรฐานสำหรับสอบเทียบที่ให้スペกตรัมเป็นเส้นที่แน่นอน เช่น หลอดproto ซึ่งมีスペกตรัมเป็นแบบเส้น (line spectrum) ที่ความยาวคลื่น (253.652, 289.360, 296.728, 334.148, 404.656, 435.833 nm) โดยทำการปรับสัญญาณスペกตรัมที่ได้จากการวัดด้วยเครื่องวัดスペกตรัมมีความยาวคลื่นให้ตรงกับスペกตรัมของหลอดproto และอิกวิชีนนิ่งคือการนำスペกตรัมรังสีอัลตราไวโอเลตที่ได้จากการวัดนำไปเปรียบเทียบกับスペกตรัมฟรอนโซเฟอร์ของรังสีดวงอาทิตย์ (Sun's Fraunhofer spectrum) ซึ่งเป็นเส้นスペกตรัมที่ทราบการคูดกลืนที่แน่นอน การสอบเทียบทำได้โดยทำการปรับค่าスペกตรัมที่วัดได้ให้ตรงกับスペกตรัมการคูดกลืนของスペกตรัมฟรอนโซเฟอร์

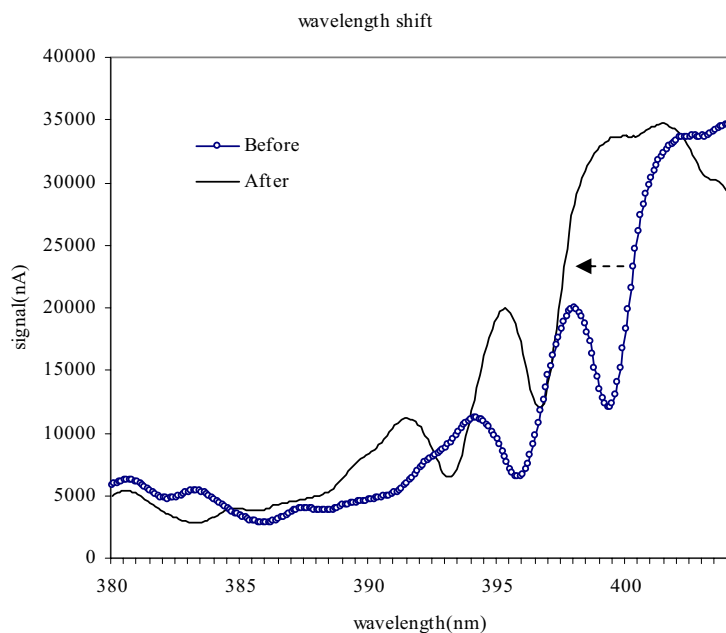
ตารางที่ 3.1 แสดงスペกตรัมที่มีการคูดกลืนสูงในช่วงของスペกตรัมรังสีอัลตราไวโอเลต (Fraunhofer spectrum)

Wavelength (nm)	Designation	Element
430.79	G	Fe
430.774	G	Ca
410.175	H	Hδ
396.847	H	Ca+
393.368	K	Ca+
382.044	L	Fe
358.121	N	Fe
336.112	P	Ti+



รูปที่ 3.8 แสดงฟรอนโซไฟอร์สเปกตรัมของรังสีดวงอาทิตย์

ตัวอย่างการปรับแก้ค่าสัญญาณสเปกตรัมรังสีอัลตราไวโอลেตที่ความยาวคลื่น 380 – 400 nm แสดงในรูปที่ 3.9 ทั้งนี้ในการตรวจสอบความแม่นยำของการวัดความยาวคลื่นนั้นควรจะทำอย่างเป็นประจำเพื่อให้ได้การวัดที่มีความถูกต้องแม่นยำ



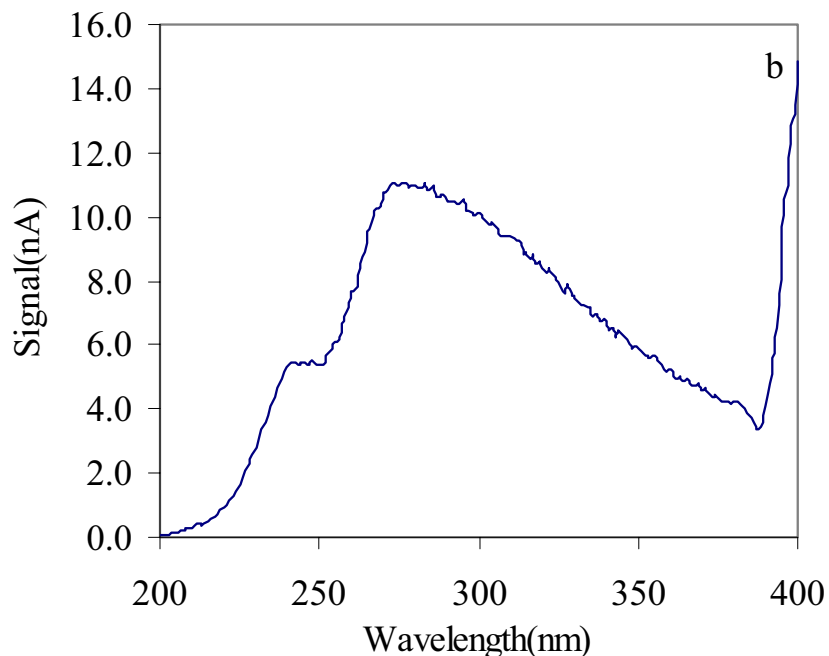
รูปที่ 3.9 แสดงความยาวคลื่นของสัญญาณที่ได้จาก spectroradiometer ก่อนและหลังการปรับความยาวคลื่น

ในส่วนของการสอบเทียบความแม่นยำในการวัดสัญญาณของเครื่องวัดรังสีอัลตราไวโอลেตแบบスペกตรัมนั้น ผู้วิจัยจะใช้หลอดมาตรฐานสำหรับการสอบเทียบมาใช้เป็นแหล่งกำเนิดแสงคงที่ จากนั้นจะทำการวัดปริมาณแสงของหลอดสอบเทียบดังกล่าวด้วยเครื่องวัดสเปกตรัมแล้วนำค่าสัญญาณที่วัดได้จากเครื่องวัดสเปกตรัม (V_λ) ซึ่งจะเป็นสัญญาณไฟฟ้าที่ยังไม่สามารถนำไปใช้ได้ไปทำการแปลงให้เป็น Sensitivity (R_λ) ด้วยสเปกตรัมมาตรฐานของหลอดสอบเทียบที่ได้มาจากการบริษัท (S_λ) โดยใช้สมการที่ 3.4

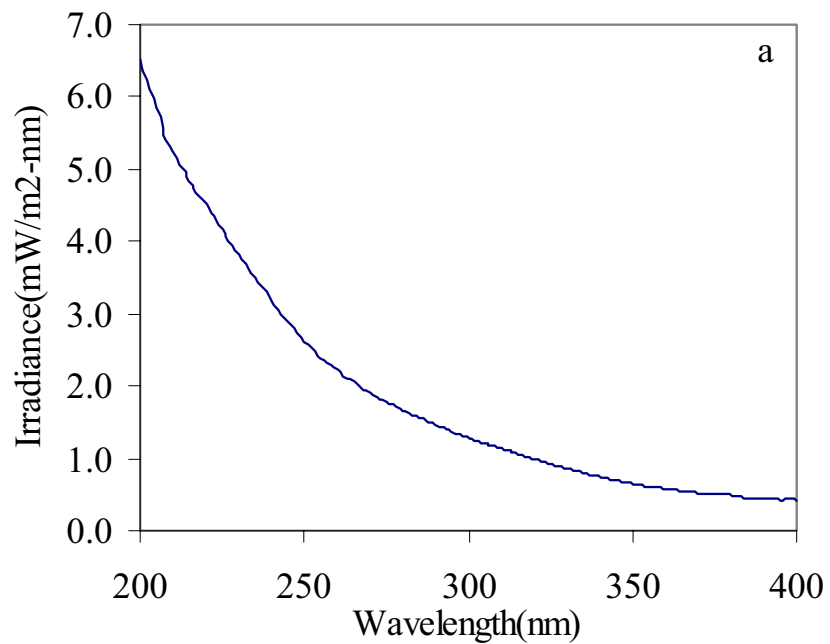
$$R_\lambda = \frac{V_\lambda}{S_\lambda} \quad (3.4)$$

โดยที่ S_λ คือค่าสเปกตรัมรังสีอัลตราไวโอล์ฟมาตรฐานของหลอดสอบเทียบ V_λ คือค่าสัญญาณที่ได้จากการวัดด้วยเครื่องวัดสเปกตรัม R_λ คือค่า Sensitivity ของเครื่องวัดสเปกตรัม

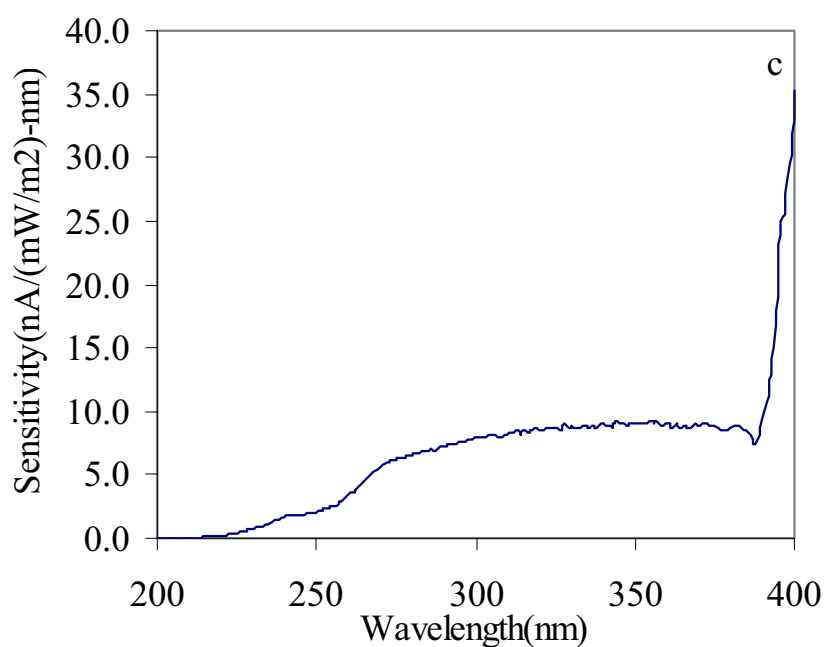
สำหรับ V_λ , S_λ และ R_λ ที่ได้แสดงดังรูปที่ 3.10, 3.11 และ 3.12 ตามลำดับ



รูปที่ 3.10 แสดงค่าสัญญาณไฟฟ้าที่ได้จากการวัดหลอดมาตรฐาน (V_λ)



รูปที่ 3.11 แสดงค่าความเข้มรังสีอัลตราไวโอลেตของหลอดมาตรฐาน (S_λ)



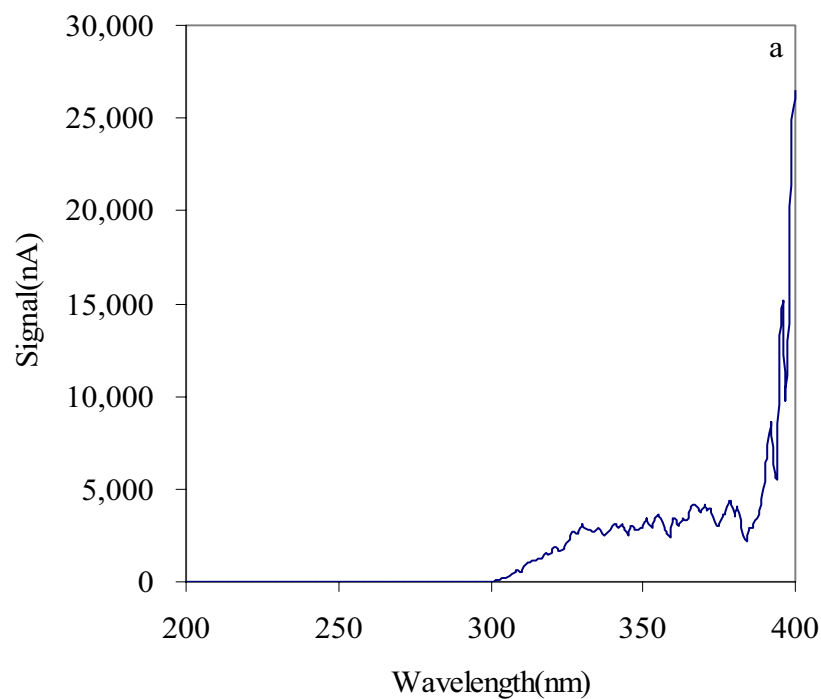
รูปที่ 3.12 แสดงค่า sensitivity (R_λ) ของเครื่อง spectroradiometer ที่ได้จากการใช้สมการที่ 3.4

ผู้วิจัยจะใช้ค่า sensitivity ดังกล่าวมาใช้เป็นค่ามาตรฐานสำหรับแปลงสัญญาณไฟฟ้าที่ได้จากการวัดให้เป็นค่าสเปกตรัมรังสีอัลตราไวโอเลต โดยใช้วิธีการตามสมการที่ 3.5

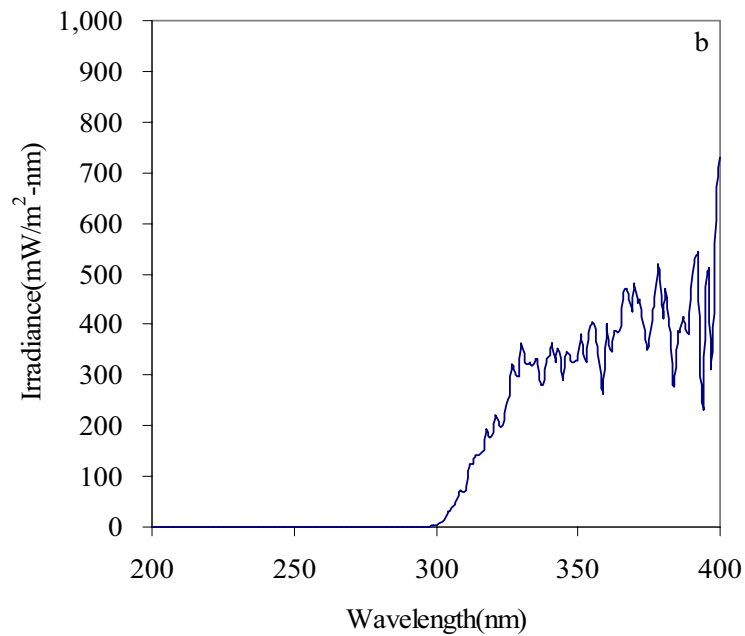
$$E_{\lambda} = \frac{V_{\lambda}}{R_{\lambda}} \quad (3.5)$$

โดยที่ E_{λ} คือค่าสเปกตรัมรังสีอัลตราไวโอเลตที่ได้จากการวัด
 V_{λ} คือค่าสัญญาณที่ได้จากการวัดด้วยเครื่องวัดสเปกตรัม
 R_{λ} คือค่า sensitivity ของเครื่องวัดสเปกตรัม

ตัวอย่างค่าสัญญาณไฟฟ้าที่วัดได้จากการวัดสเปกตรัมที่แสดงในรูปที่ 3.13 มาทำการแปลงสัญญาณดังกล่าวด้วยสมการที่ 3.5 สเปกตรัมรังสีอัลตราไวโอเลตที่ได้จะแสดงดังรูปที่ 3.14



รูปที่ 3.13 แสดงค่าสัญญาณไฟฟ้าที่ได้จากการวัดรังสีอัลตราไวโอเลตจากดวงอาทิตย์

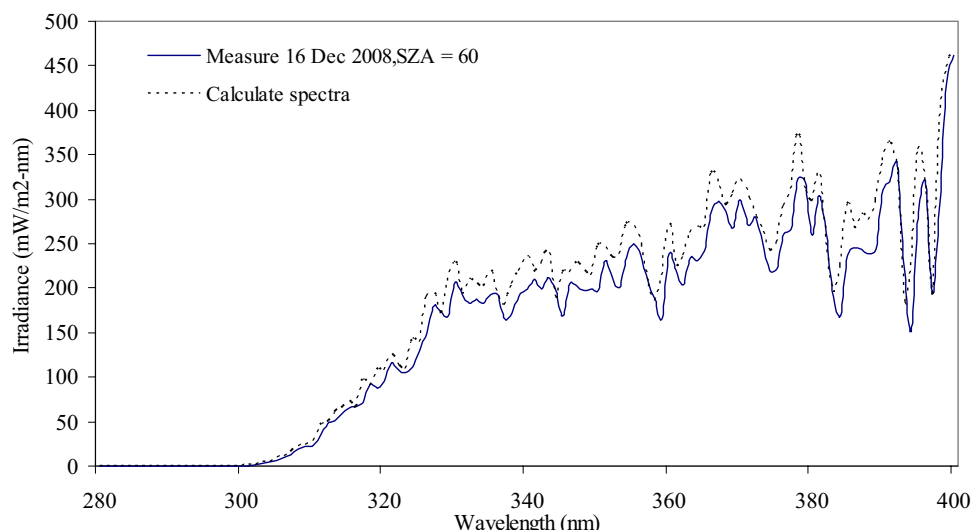


รูปที่ 3.14 แสดงตัวอย่างค่าความเข้มรังสีอัลตราไวโอเลตหลังจากการแปลงด้วยค่า sensitivity แล้ว

3.3 การควบคุมคุณภาพข้อมูล

แม้ว่าเครื่องวัดความเข้มรังสีอัลตราไวโอเลตจะได้รับการสอบเทียบแล้วก็ตาม แต่ข้อมูลที่ได้อาจมีความผิดพลาดเกิดขึ้นได้จากสาเหตุต่างๆ เช่น การตั้งค่าการรับสัญญาณไม่ถูกระดับซึ่งจะส่งผลให้ข้อมูลรังสีที่ได้มีความผิดปกติ ดังนั้นจึงจำเป็นต้องตรวจสอบคุณภาพของข้อมูลที่บันทึกได้ ในงานวิจัยนี้จะทำการควบคุมคุณภาพข้อมูลโดยใช้วิธีการตรวจสอบทั่วไปและการตรวจสอบอย่างละเอียด การตรวจสอบทั่วไปทำได้โดยการสังเกตข้อมูลที่ทำการวัดว่าค่าอยู่ในระดับที่ปกติไม่มากเกินหรือมีค่าติดลบ สำหรับการควบคุมคุณภาพของข้อมูลอย่างละเอียดผู้ดำเนินการวิจัยจะใช้โปรแกรมคำนวณสเปกตรัมรังสีอัลตราไวโอเลต UVSPEC radiative transfer ในวันที่ห้องฟ้าปราศจากเมฆที่พัฒนาโดย Mayer และคณะ(1997)

ขั้นตอนสำหรับการตรวจสอบคุณภาพด้วยวิธีนี้ ในลำดับแรกจะทำการเลือกข้อมูลความเข้มรังสีอัลตราไวโอเลตในวันที่ห้องฟ้าปราศจากเมฆ (clear day) และนำข้อมูลอุตุนิยมวิทยาได้แก่ ทัศนวิสัย โอโซน ปริมาณไอน้ำในบรรยากาศ ซึ่งวัดได้ทุกวันและเวลาเดียวกันมาใช้เป็น input ของโปรแกรม UVSPEC และทำการคำนวณ โดยจะนำผลที่ได้ไปเปรียบเทียบกับค่าที่วัดได้ ถ้าค่าที่ได้จากการคำนวณมีค่าใกล้เคียงกับค่าที่วัดได้ก็แสดงว่าข้อมูลมีความละเอียดถูกต้องในเกณฑ์ที่ยอมรับได้ ตัวอย่างผลการเปรียบเทียบแสดงไว้ในรูปที่ 3.15



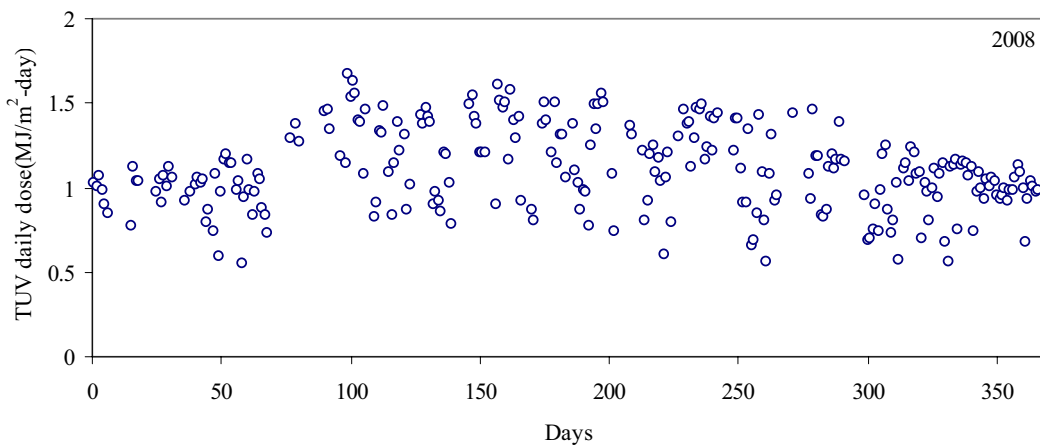
รูปที่ 3.15 แสดงตัวอย่างของสเปกตรัมรังสีอัลตราไวโอเลตที่ได้จากการวัดและจากการคำนวณด้วยโปรแกรม UVSPEC

หลังจากที่ทำการควบคุมคุณภาพของข้อมูลแล้ว พนบว่าข้อมูลในช่วงเริ่มต้นของการวัดมีข้อมูลขาดหายค่อนข้างมาก เนื่องจากมีปัญหาเครื่องมือชำรุดซึ่งจำเป็นต้องรอการซ่อมบำรุงและระบบการบันทึกข้อมูลนั้น ได้ติดตั้งอยู่บนคอมพิวเตอร์รุ่นเก่าซึ่งมักจะมีปัญหาโปรแกรมขัดข้องบ่อย หลังจากที่ได้ทำการเปลี่ยนเครื่องคอมพิวเตอร์ที่ใช้ในการบันทึกข้อมูลแล้วจึงได้ข้อมูลที่มีความต่อเนื่องมากขึ้น

โดยในงานวิจัยนี้จะใช้ข้อมูลราย 10 นาที ที่คัดเลือกแล้วในช่วงเดือนมกราคม ถึง ธันวาคม 2008 มาทำการวิเคราะห์เชิงสถิติ ข้อมูลในแต่ละเดือนจะมีจำนวนดังแสดงในตารางที่ 3.2 และ รูปที่ 3.16

ตารางที่ 3.2 แสดงข้อมูลที่นำมาวิเคราะห์

เดือน	จำนวนข้อมูล (วัน)
มกราคม	17
กุมภาพันธ์	23
มีนาคม	13
เมษายน	24
พฤษภาคม	21
มิถุนายน	22
กรกฎาคม	19
สิงหาคม	24
กันยายน	19
ตุลาคม	22
พฤษจิกายน	30
ธันวาคม	31
รวม	265



รูปที่ 3.16 แสดงค่ารังสีอัลตราไวโอเลตรวมรายวัน (daily dose) ในปี 2008 ที่ได้จากเครื่อง spectroradiometer (ข้อมูล daily dose ได้มาจากการ integrate ข้อมูลสเปกตรัมจากความยาวคลื่น 280 – 320 nm)

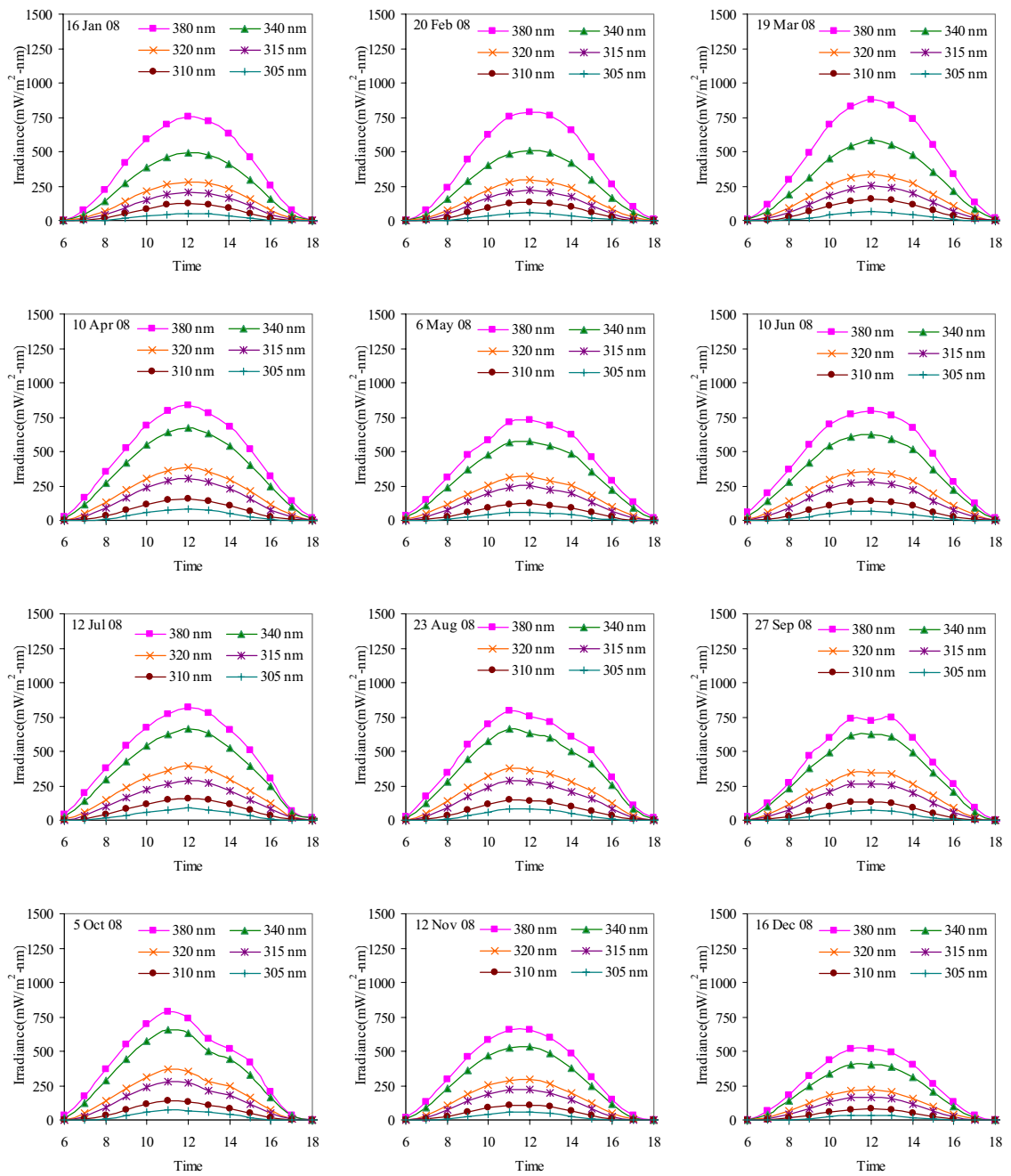
3.4 การวิเคราะห์ข้อมูลและผล

3.4.1 การแปรค่าความเข้มสเปกตรัมรังสีอัลตราไวโอเลตตามเวลาในรอบวัน

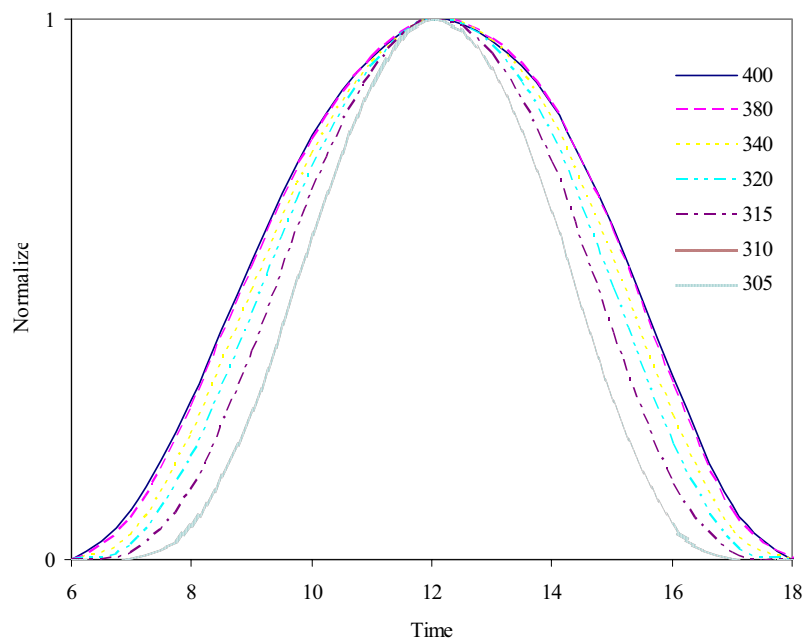
(diurnal variation)

3.4.1.1 กรณีสภาพท้องฟ้าปราศจากเมฆ (clear sky)

ในกรณีที่ท้องฟ้าปราศจากเมฆ (clear day) ค่าสเปกตรัมรังสีอัลตราไวโอเลตจะมีค่าสูงเมื่อเทียบกับสภาพท้องฟ้ามีเมฆ โดยค่าของความเข้มจะค่อยๆ เพิ่มขึ้นจากช่วงเช้าจนถึงค่ำสูงสุดในตอนเที่ยงวัน และจะลดลงในช่วงบ่ายจนถึงช่วงเย็นตามการเปลี่ยนแปลงค่ามุมตัดกระทบ (incident angle) ของดวงอาทิตย์ และการแปรค่าของมวลอากาศที่รังสีผ่าน (air mass) โดยที่ผู้วิจัยจะทำการเลือกวันที่ท้องฟ้าปราศจากเมฆ หรือวันที่มีปริมาณเมฆน้อยที่สุดในแต่ละเดือนมาทำการพล็อตกราฟกับเวลาในรอบวัน โดยแยกตามค่าสเปกตรัม คือ 305, 310, 315, 320, 340 และ 380 nm กราฟดังกล่าวแสดงในรูปที่ 3.17 ผลที่ได้พบว่าค่าสเปกตรัมความเข้มรังสีอัลตราไวโอเลตมีการแปรค่ารายชั่วโมงที่มีรูปแบบคล้ายระฆังกว่า แต่ต่างกันที่ค่าความเข้ม และเมื่อทำการ normalize ค่าความเข้มสเปกตรัมรังสีอัลตราไวโอเลตด้วยค่าความเข้มสเปกตรัมรังสีอัลตราไวโอเลตที่วัดได้ในเวลาเที่ยงวัน ทำให้พบว่าที่ความยาวคลื่นสั้นจะมีการแปรค่าเพิ่มขึ้นอย่างรวดเร็วในช่วงเวลาใกล้เที่ยงวัน ดังแสดงในรูปที่ 3.18



รูปที่ 3.17 แสดงสเปกตรัมรังสีอัลตราไวโอเลตรายชั่วโมงในวันที่ห้องพ้าปราสาจากเมฆแบบแยก
เป็นสเปกตรัม



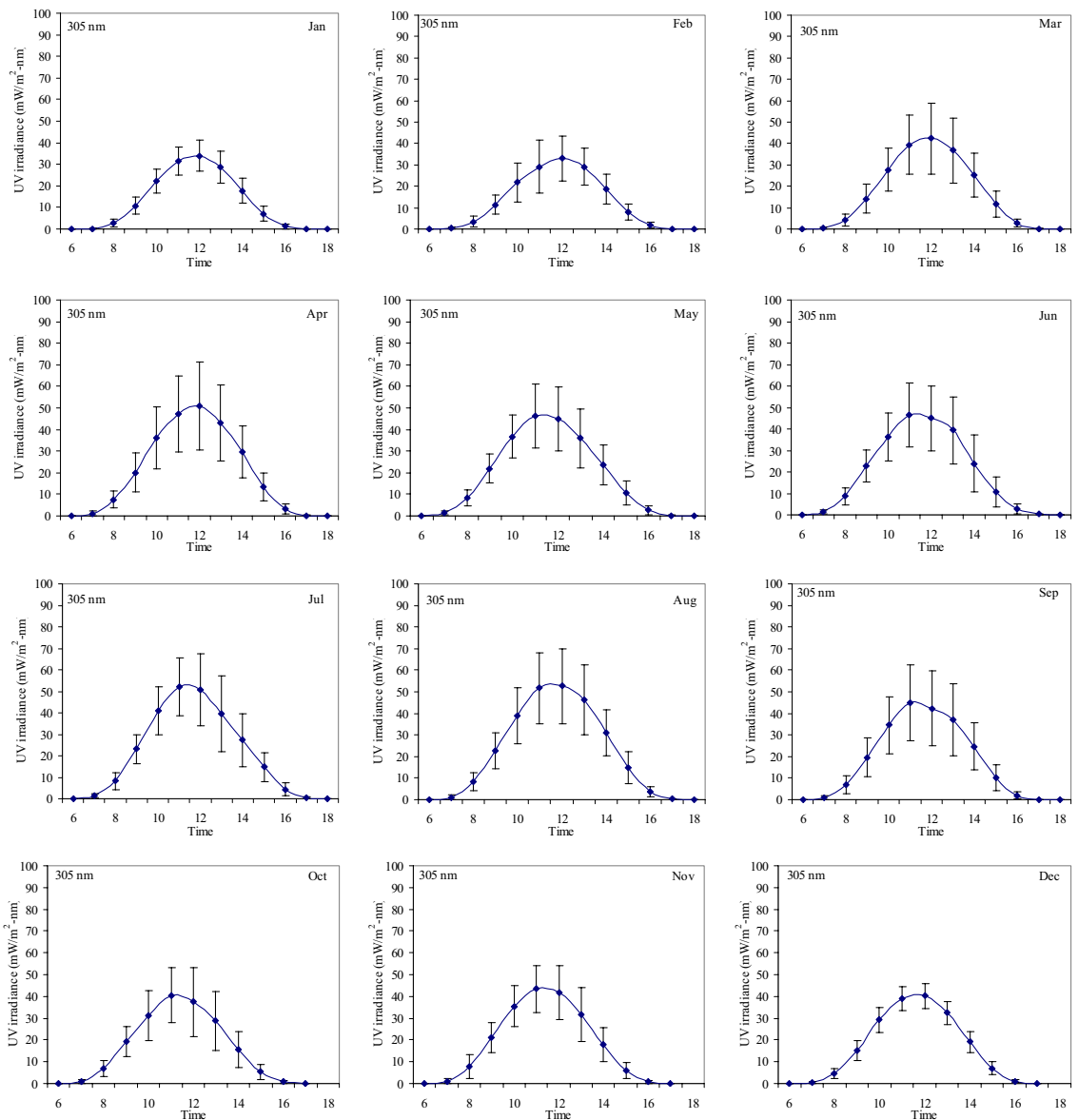
รูปที่ 3.18 แสดงการเปลี่ยนแปลงสีอัลตราไวโอเลตที่ normalize ในรอบวันในแต่ละความ
ยาวคลื่น

3.4.1.2 กรณีสภาพท้องฟ้าทั่วไป (general sky)

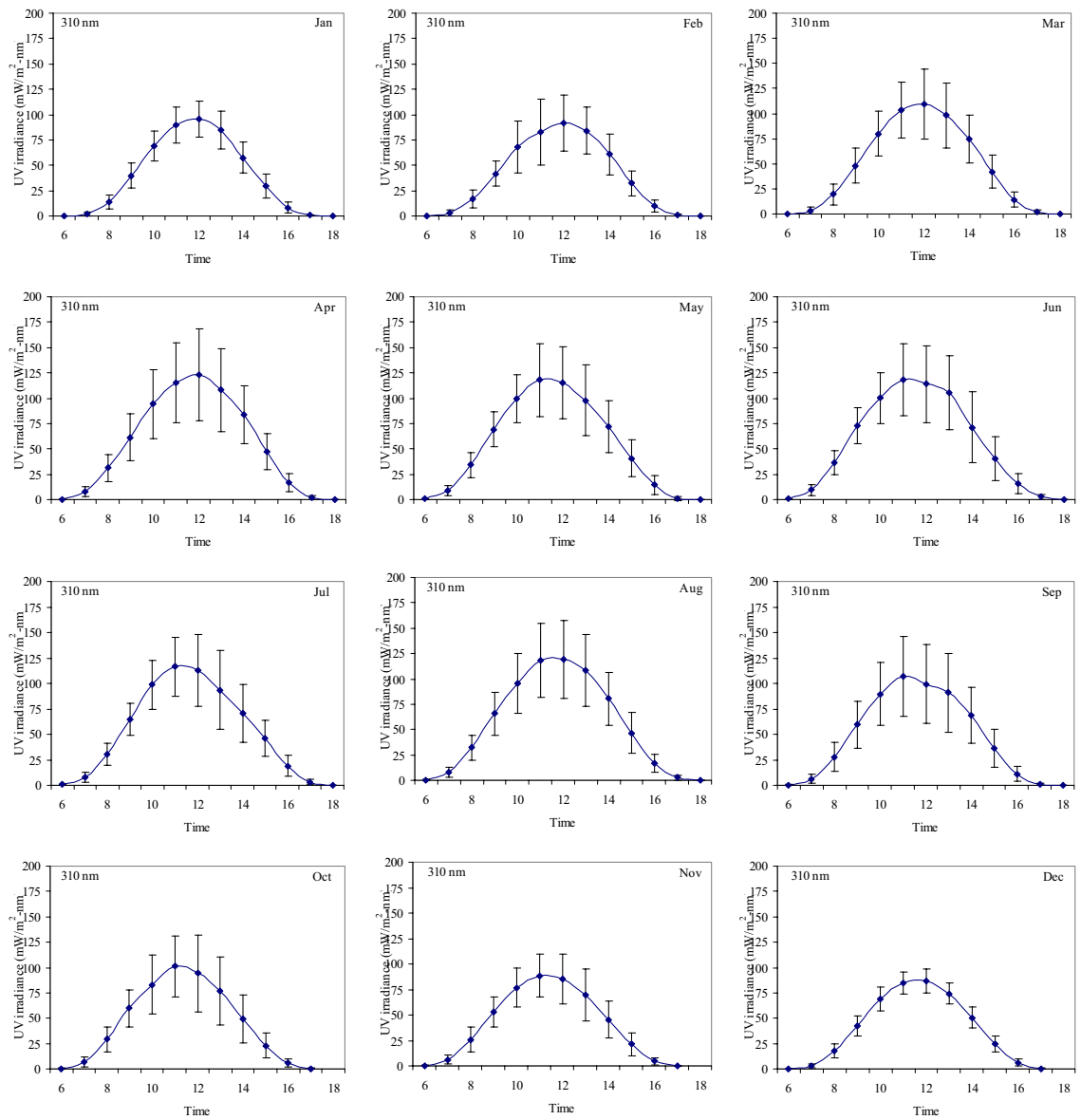
การเปลี่ยนแปลงค่ารังสีอัลตราไวโอลেตตามเวลาในรอบวันในสภาพท้องฟ้าทั่วไป การเปลี่ยนแปลงค่าความเข้มรังสีอัลตราไวโอล์เคนมีสาเหตุจากปัจจัยหลายลักษณะ ที่สำคัญคือ เมฆและการเปลี่ยนแปลงมุณฑกกระทนของรังสี โดยในงานวิจัยนี้ผู้วิจัยได้ใช้ข้อมูลความเข้มรังสีที่ได้จาก spectroradiometer มาทำการหาค่าเฉลี่ยตามเวลาในรอบวัน ผลของการเปรียบเทียบในแต่ละความยาวคลื่นแสดงในรูปที่ 3.19 ถึง 3.24

ผลที่ได้พบว่าค่าสเปกตรัมความเข้มรังสีอัลตราไวโอล์เคนจะมีความเข้มเฉลี่ยในเดือนต่างๆ ไม่เท่ากัน ทั้งนี้เนื่องมาจากผลของมุณฑกน้อยสุดของแต่ละเดือนที่มีค่าเปลี่ยนไปตามการโคจรของโลก จากค่า standard deviation (SD) ที่ได้ในแต่ละเดือนพบว่าในช่วงเดือนพฤษภาคมถึงเดือนกันยายนจะมีค่ามาก เนื่องจากในช่วงเดือนดังกล่าวมีปริมาณเมฆค่อนข้างมาก

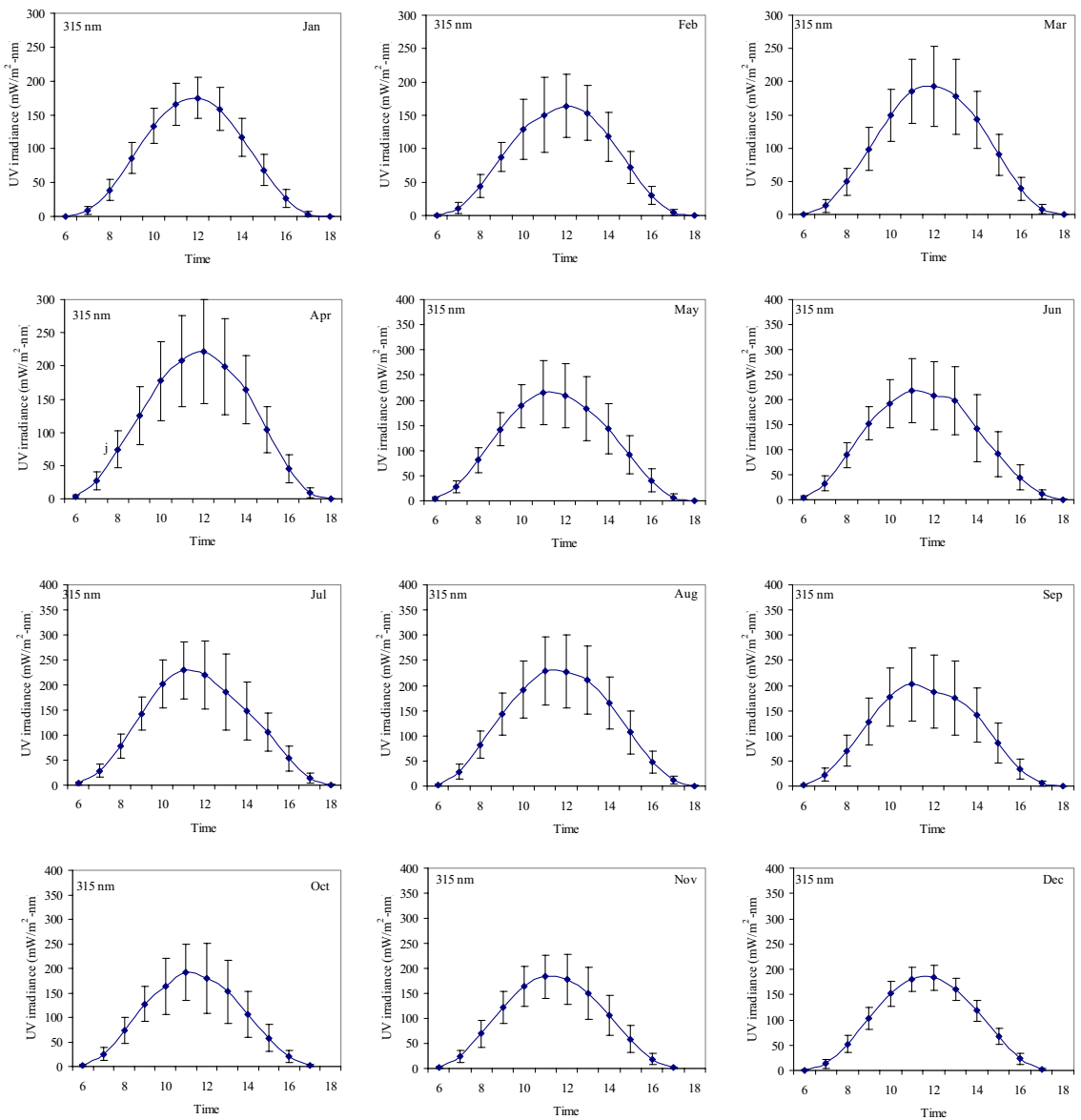
การแปรค่าในรอบวันที่สเปกตรัมรังสีอัลตราไวโอล์เคนความยาวคลื่นสั้นที่ 305 nm ในรูปที่ 3.19 เปรียบเทียบกับการแปรค่าในรอบวันของสเปกตรัมรังสีอัลตราไวโอล์เคนความยาวคลื่น 380 nm ในรูปที่ 3.24 จะพบว่าการแปรค่าในรอบวันที่สเปกตรัมความยาวคลื่น 305 nm จะมีการแปรค่าในช่วงใกล้เที่ยงวันเป็นเส้นโค้งที่เรียบมากกว่าที่สเปกตรัมความยาวคลื่น 380 nm ซึ่งจะเห็นความแตกต่างได้ชัดเจนในช่วงเดือนมิถุนายนถึงเดือนกันยายน ทั้งนี้เนื่องมาจากผลของเมฆในช่วงของเดือนดังกล่าวที่มีปริมาณมาก



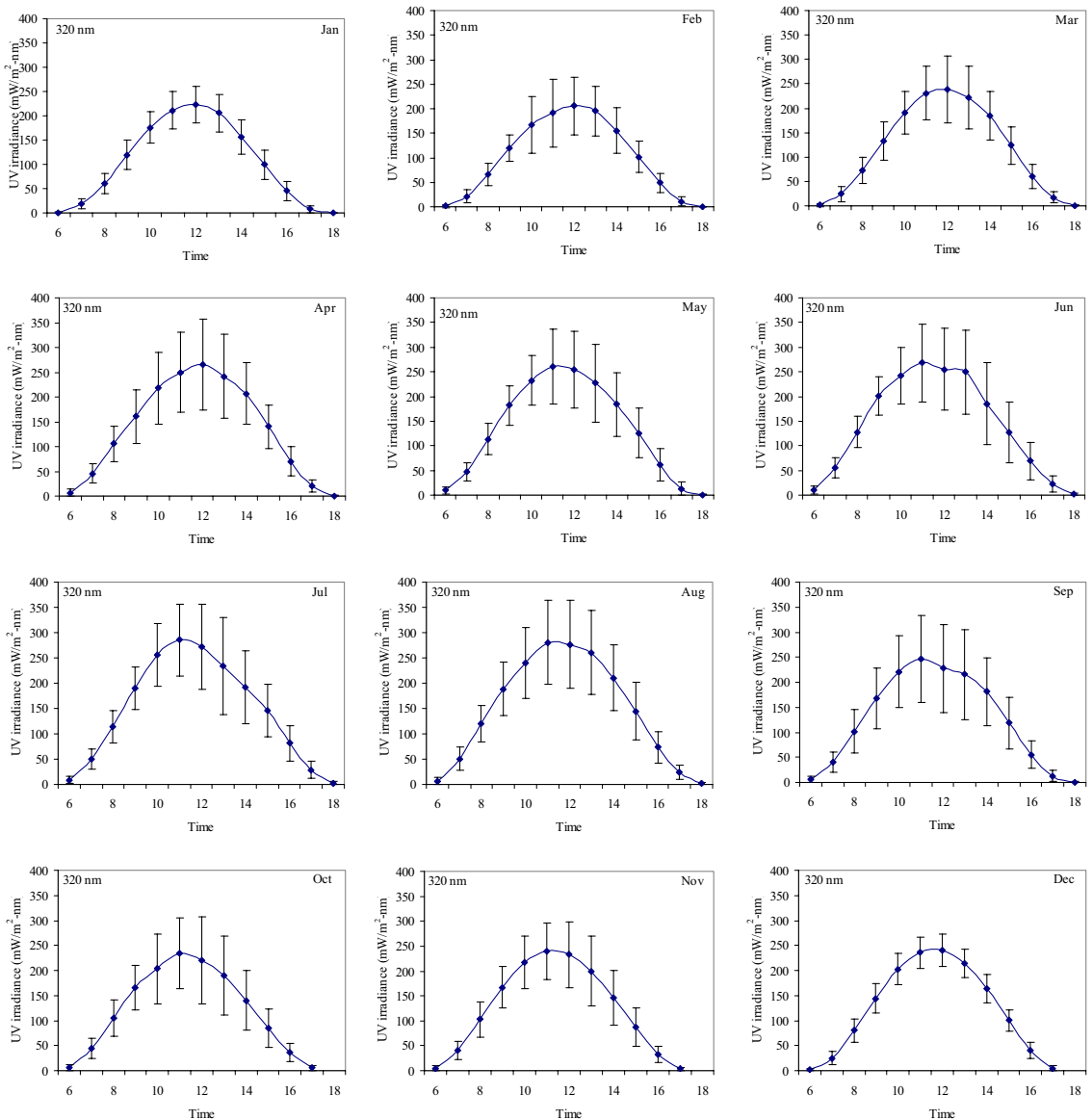
รูปที่ 3.19 แสดงการเปลี่ยนร่องวันของスペกตรัมรังสีอัลตราไวโอลেตที่ความยาวคลื่น 305 nm ในสภาพท้องฟ้าทั่วไป (general sky)



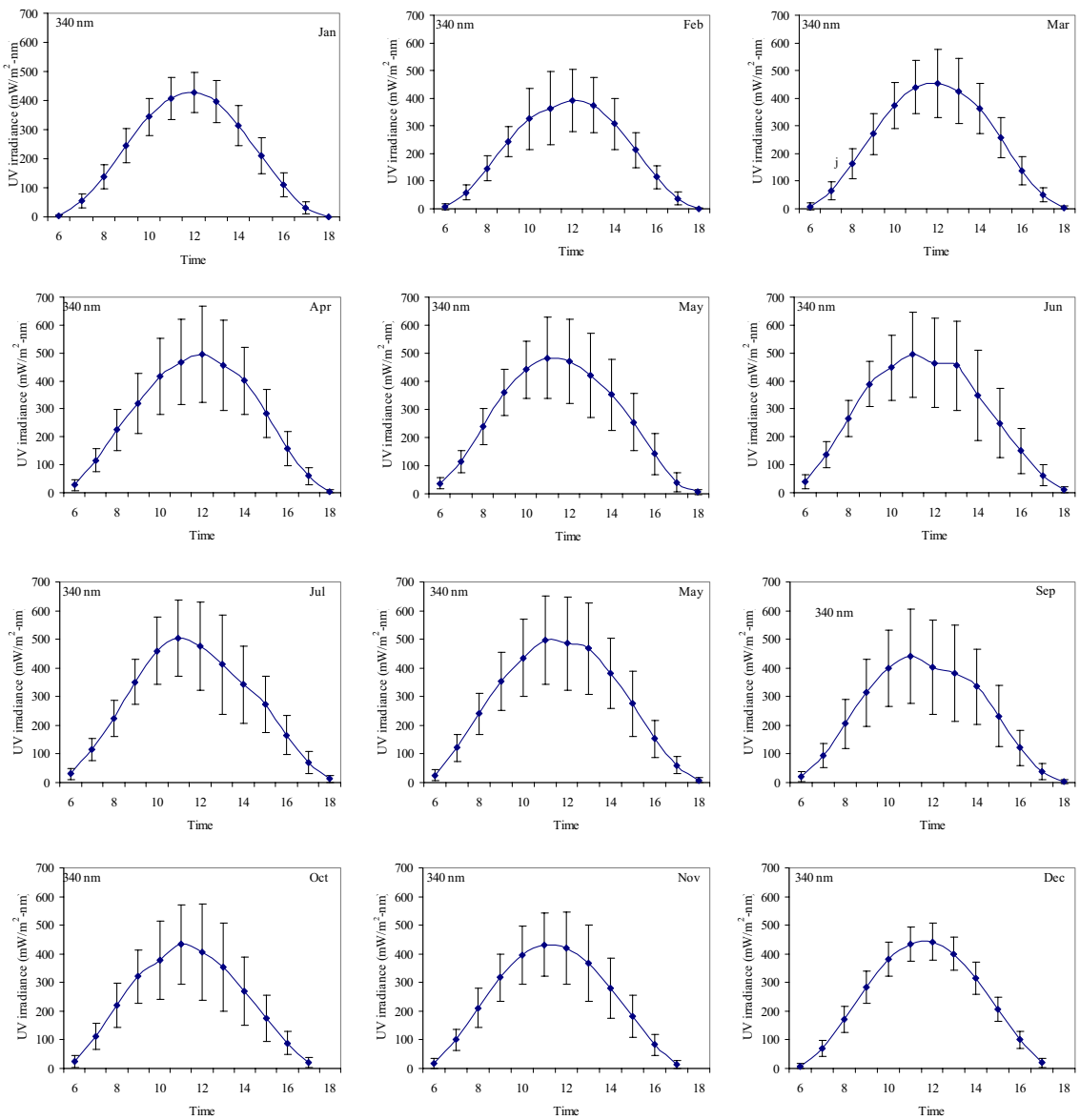
รูปที่ 3.20 แสดงการแปรค่าในรอบวันของสเปกตรัมรังสีอัลตราไวโอเลตที่ความยาวคลื่น 310 nm ในสภาพท้องฟ้าทั่วไป (general sky)



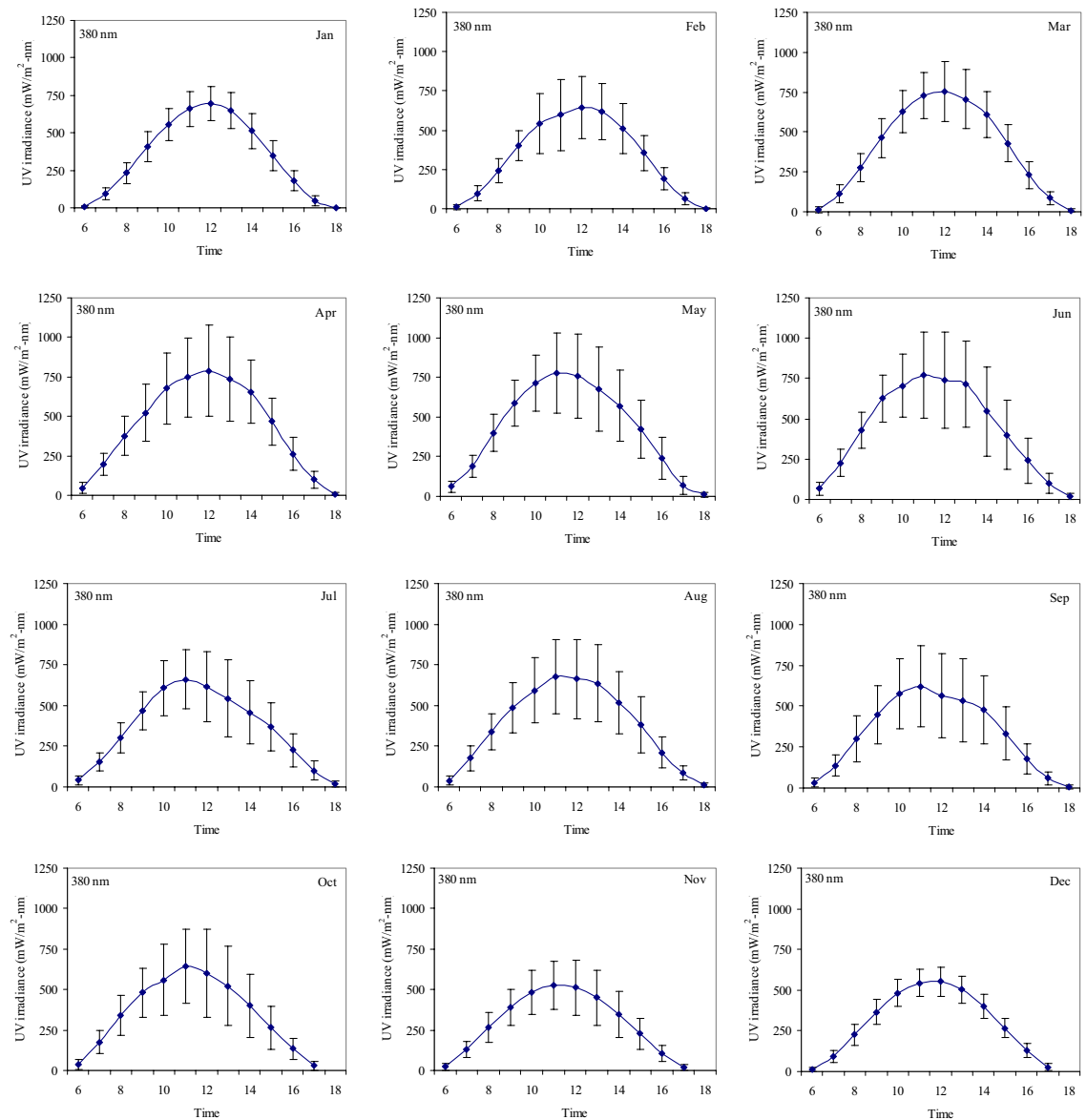
รูปที่ 3.21 แสดงการเปลี่ยนรูปของสเปกตรัมรังสีอัลตราไวโอเลตที่ความยาวคลื่น 315 nm ในสภาพท้องฟ้าทั่วไป (general sky)



รูปที่ 3.22 แสดงการแปรค่าในรอบวันของスペกตรัมรังสีอัลตราไวโอลেตที่ความยาวคลื่น 320 nm ในสภาพท้องฟ้าทั่วไป (general sky)



รูปที่ 3.23 แสดงการเปลี่ยนรูปของสเปกตรัมรังสีอัลตราไวโอเลตที่ความยาวคลื่น 340 nm ในสภาพท้องฟ้าทั่วไป (general sky)



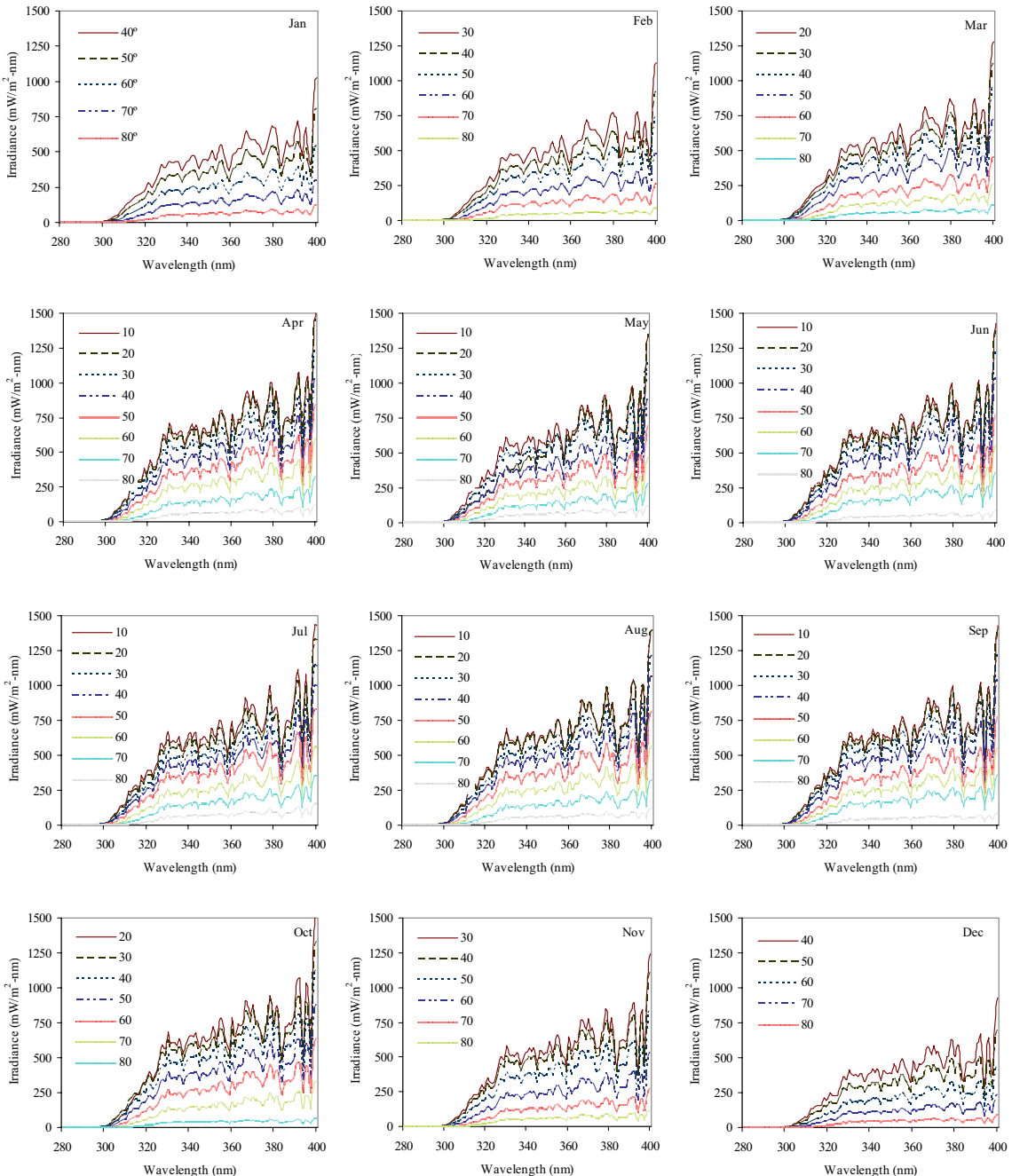
รูปที่ 3.24 แสดงการเปลี่ยนแปลงของสเปกตรัมรังสีอัลตราไวโอเลตที่ความยาวคลื่น 380 nm ในสภาพท้องฟ้าทั่วไป (general sky)

3.4.2 การแปรค่าของความเข้มรังสีอัลตราไวโอเลตตามความยาวคลื่น

3.4.2.1 กรณีสภาพท้องฟ้าปราศจากเมฆ (clear sky)

ในงานวิจัยนี้ผู้วิจัยได้ทำการเลือกวันที่ท้องฟ้าปราศจากเมฆ หรือวันที่มีปริมาณเมฆน้อยที่สุดในแต่ละเดือนและมาทำการเขียนกราฟความเข้มสเปกตรัมในแต่ละความยาวคลื่น โดยแยกตามมุมดวงอาทิตย์ (SZA) จากการศึกษาพบว่าค่าความเข้มสูงสุดของแต่ละสเปกตรัมในแต่ละเดือนจะมีค่าขึ้นอยู่กับมุมเซนิธของดวงอาทิตย์ กล่าวคือเมื่อมุมเซนิธมีค่าน้อยค่าความเข้มสเปกตรัมจะมีค่ามาก ผลที่ได้แสดงดังรูปที่ 3.25

จากรูปที่ 3.25 แสดงการแปรค่าความเข้มสเปกตรัมรังสีอัลตราไวโอเลตตามความยาวคลื่น พบว่าความยาวคลื่นสั้นที่สุดที่สามารถนำค่ามาวิเคราะห์ได้ที่สถานีนอร์ดิก คือ ความยาวคลื่นประมาณ 300 nm และความเข้มของรังสีอัลตราไวโอเลตจะค่อยๆ มีค่าสูงขึ้นตามความยาวคลื่นที่เพิ่มขึ้น จนมีค่าสูงสุดอยู่ที่ความยาวคลื่น 400 nm เมื่อพิจารณาเฉพาะที่ความยาวคลื่น 382, 393 และ 397 nm จะพบว่ามีความเข้มน้อยเมื่อเทียบกับสเปกตรัมที่อยู่ติดกันเนื่องมาจากที่ความยาวคลื่นนี้ เป็นเส้นสเปกตรัมของ Fraunhofer

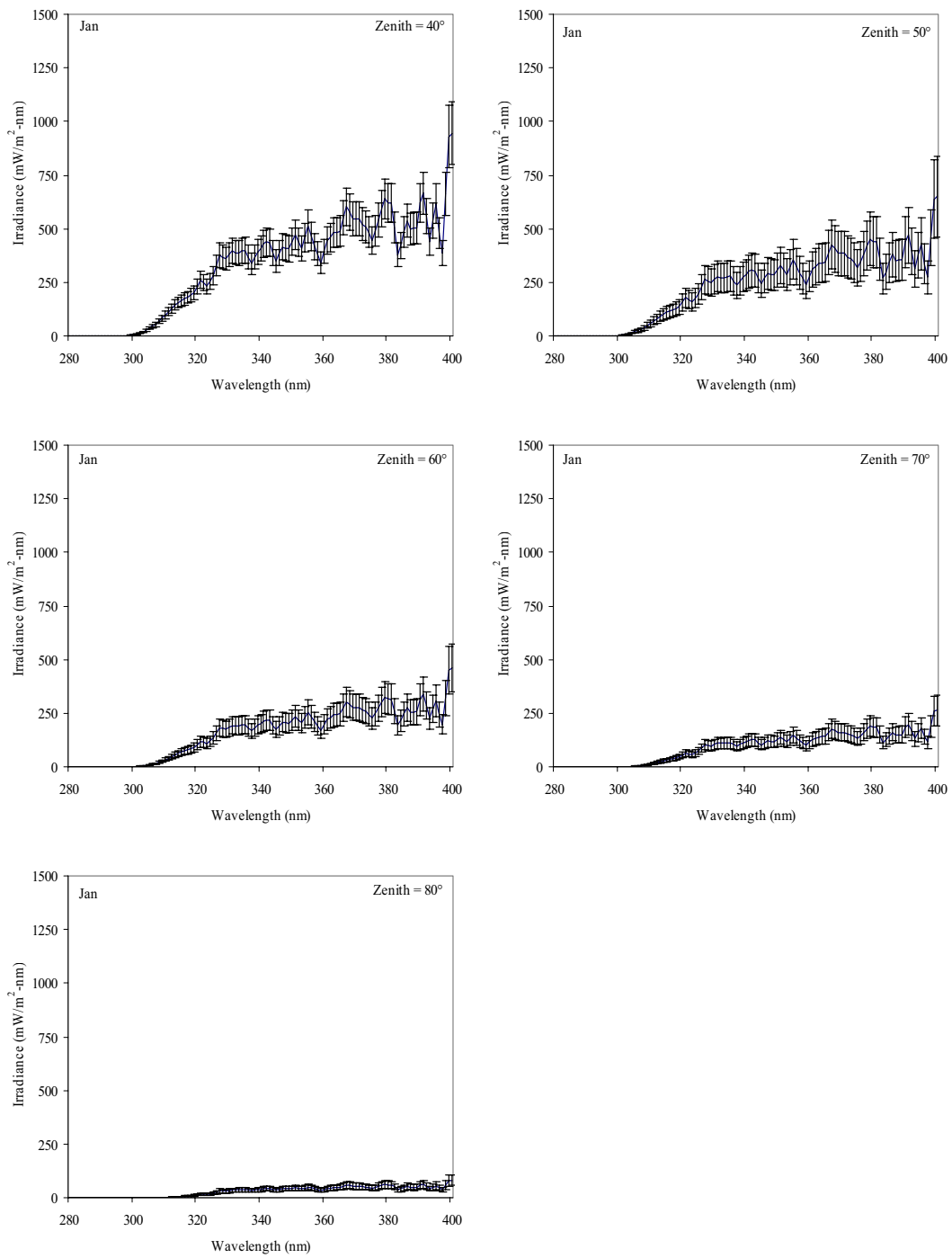


รูปที่ 3.25 แสดงการเปรียบเทียบความเข้มสเปกตรัมรังสีอัลตราไวโอเลตตามช่วงในเดือนต่างๆ ในกรีนวิชที่ท้องฟ้า晴朗 (clear sky)

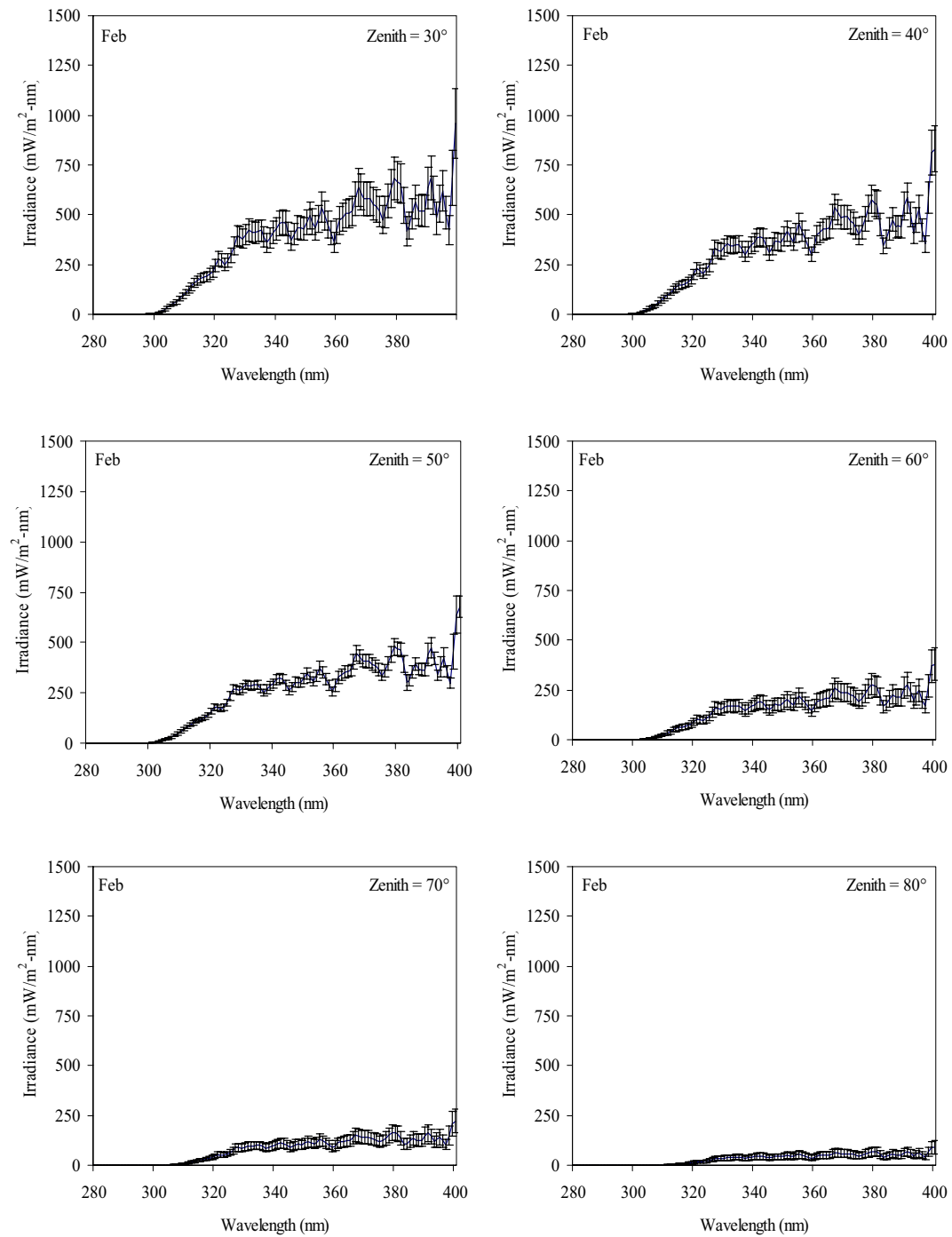
3.4.2.2 กรณีสภาพท้องฟ้าทั่วไป (general sky)

การเปลี่ยนแปลงของปัจจัยต่างๆ เช่น เมฆ โอโซน ฝุ่นละออง มีผลต่อค่าความเข้มสเปกตรัมความเข้มรังสีอัลตราไวโอลेटในสภาพท้องฟ้าทั่วไป กล่าวคือจะส่งผลให้ความเข้มสเปกตรัมรังสีอัลตราไวโอลेटที่วัดได้มีค่าน้อยลง ในงานวิจัยนี้ผู้วิจัยได้ใช้ข้อมูลสเปกตรัมรังสีอัลตราไวโอลे�ตโดยจากเครื่อง spectroradiometer ในช่วงเวลา 06.00 – 18.00 น. มาทำการหาค่าเฉลี่ยแยกตามมุมเซนิชต่างๆ พร้อมกับคำนวณค่า standard deviation (SD) ผลการเปรียบเทียบของแต่ละเดือนแสดงในรูปที่ 3.26 ถึง 3.37 ซึ่งจะพบว่าเมื่อมุมเซนิชนี้ค่ามากขึ้นค่าความเข้มสเปกตรัมรังสีอัลตราไวโอลे�ตที่วัดได้จะมีค่าลดลง โดยที่มุมเซนิชนี้อยู่สุดในแต่ละเดือนจะต่างกันไปเนื่องจากการโครงการของโลกรอบดวงอาทิตย์

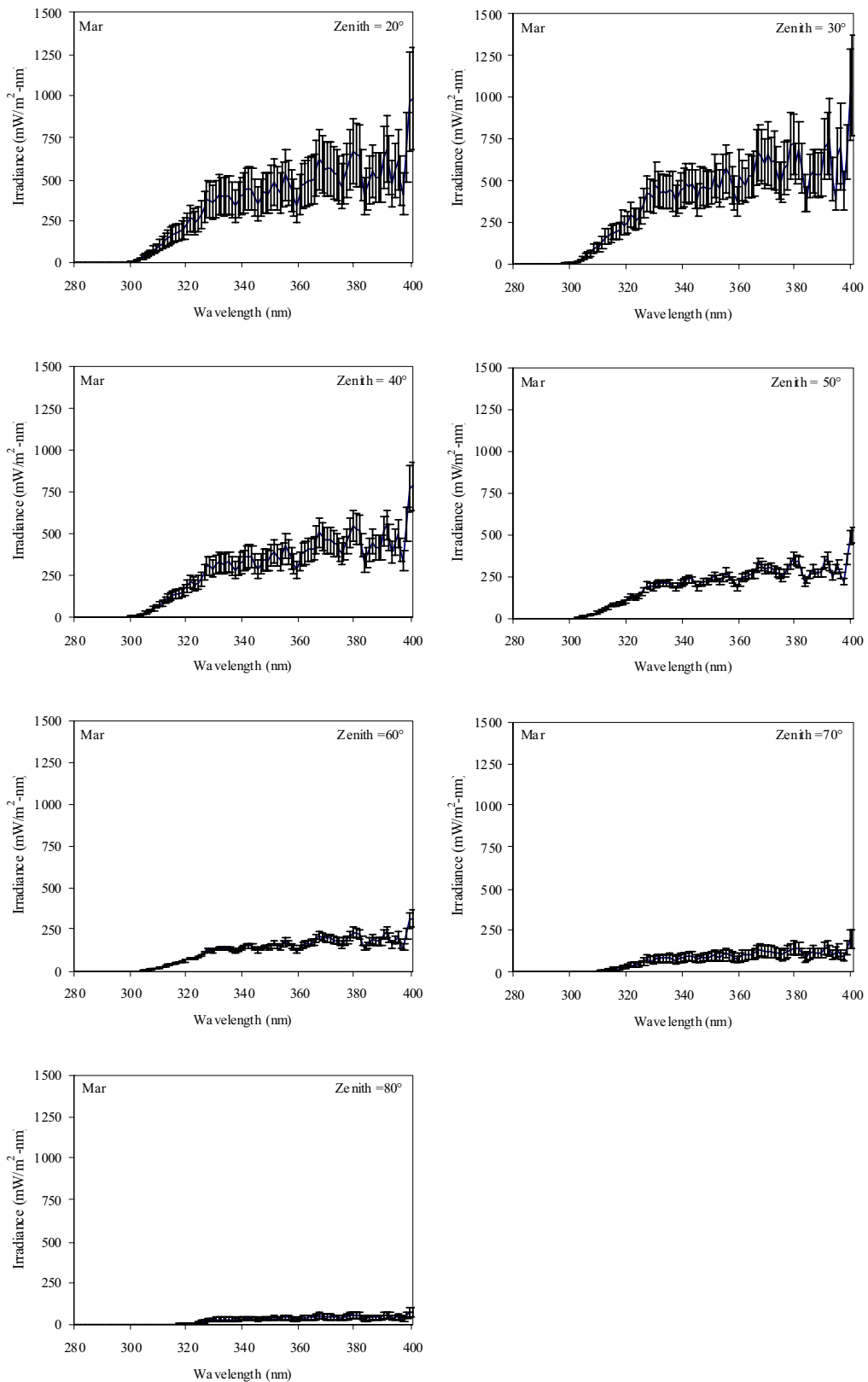
จากค่า standard deviation (SD) ในเดือนมีนาคมถึงเดือนพฤษภาคมมีค่าสูงกว่าในเดือนกรกฎาคม กุมภาพันธ์ และธันวาคม เนื่องจากในเดือนดังกล่าวจะมีปริมาณเมฆมาก



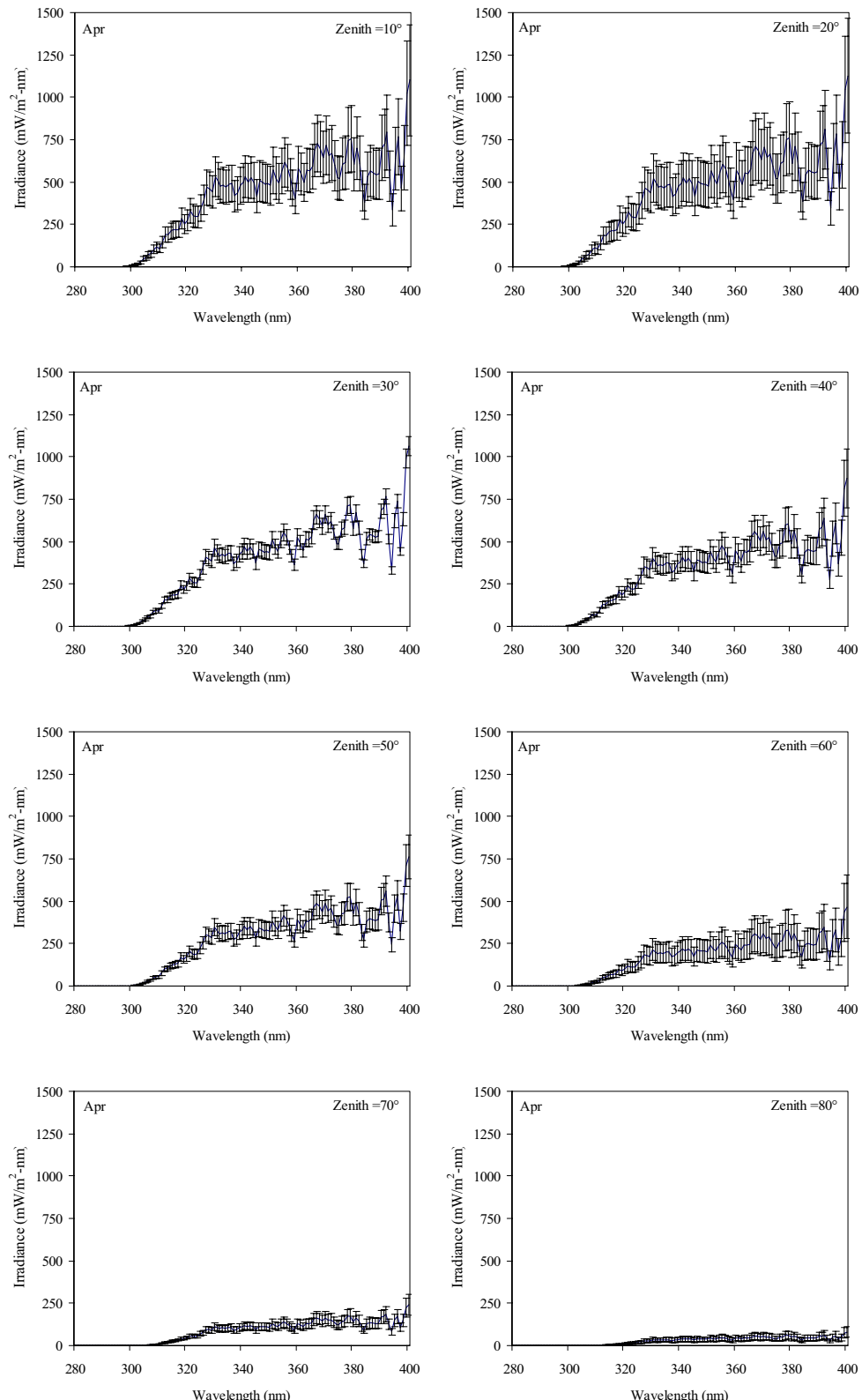
รูปที่ 3.26 แสดงค่าเฉลี่ยความเข้มรังสีอัลตราไวโอเลตแบ่งตามเซนิชต่างๆ ในเดือนกรกฎาคม



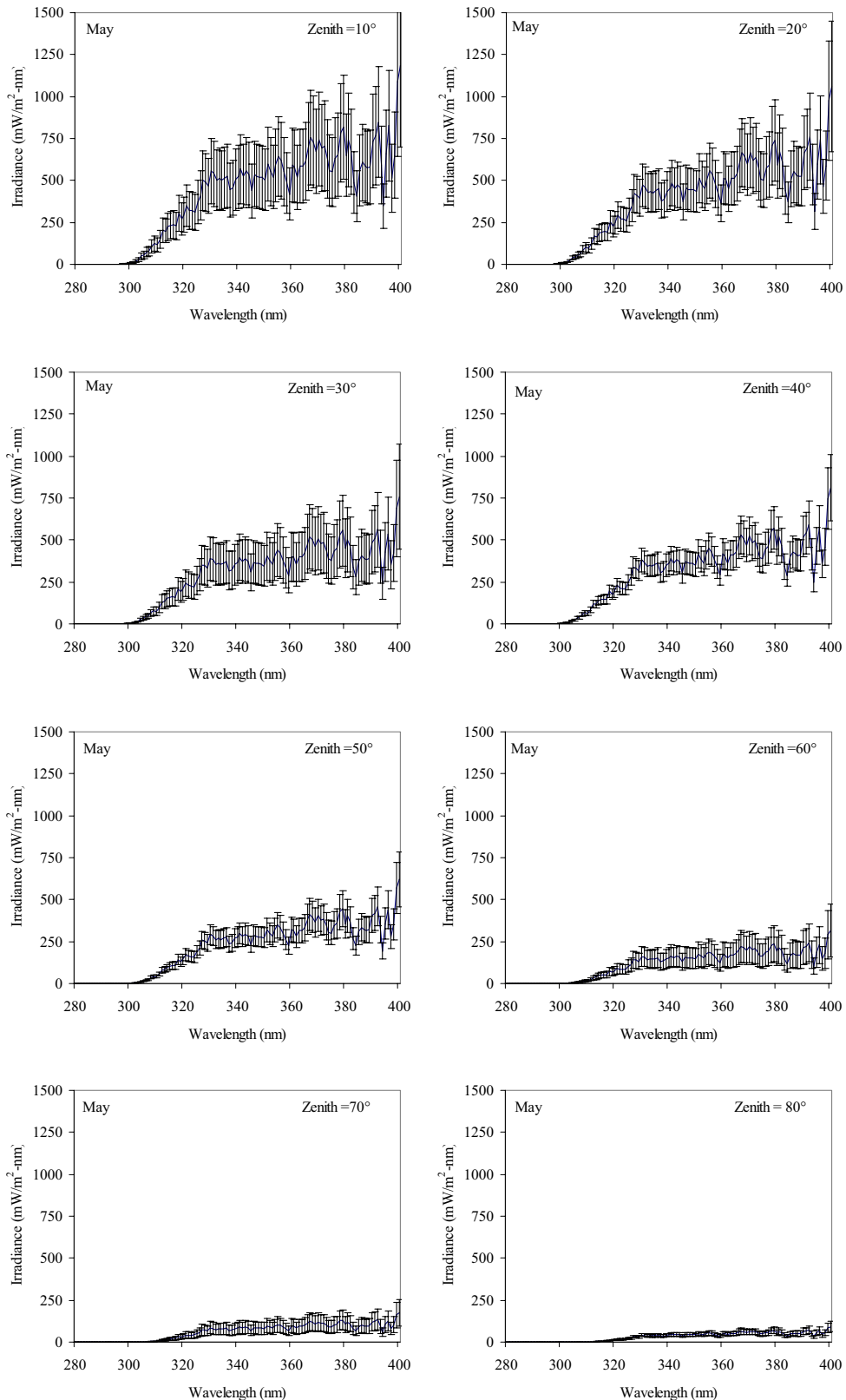
รูปที่ 3.27 แสดงค่าเฉลี่ยความเข้มรังสีอัลตราไวโอเลตแบ่งตามเชิงต่างๆ ในเดือนกุมภาพันธ์



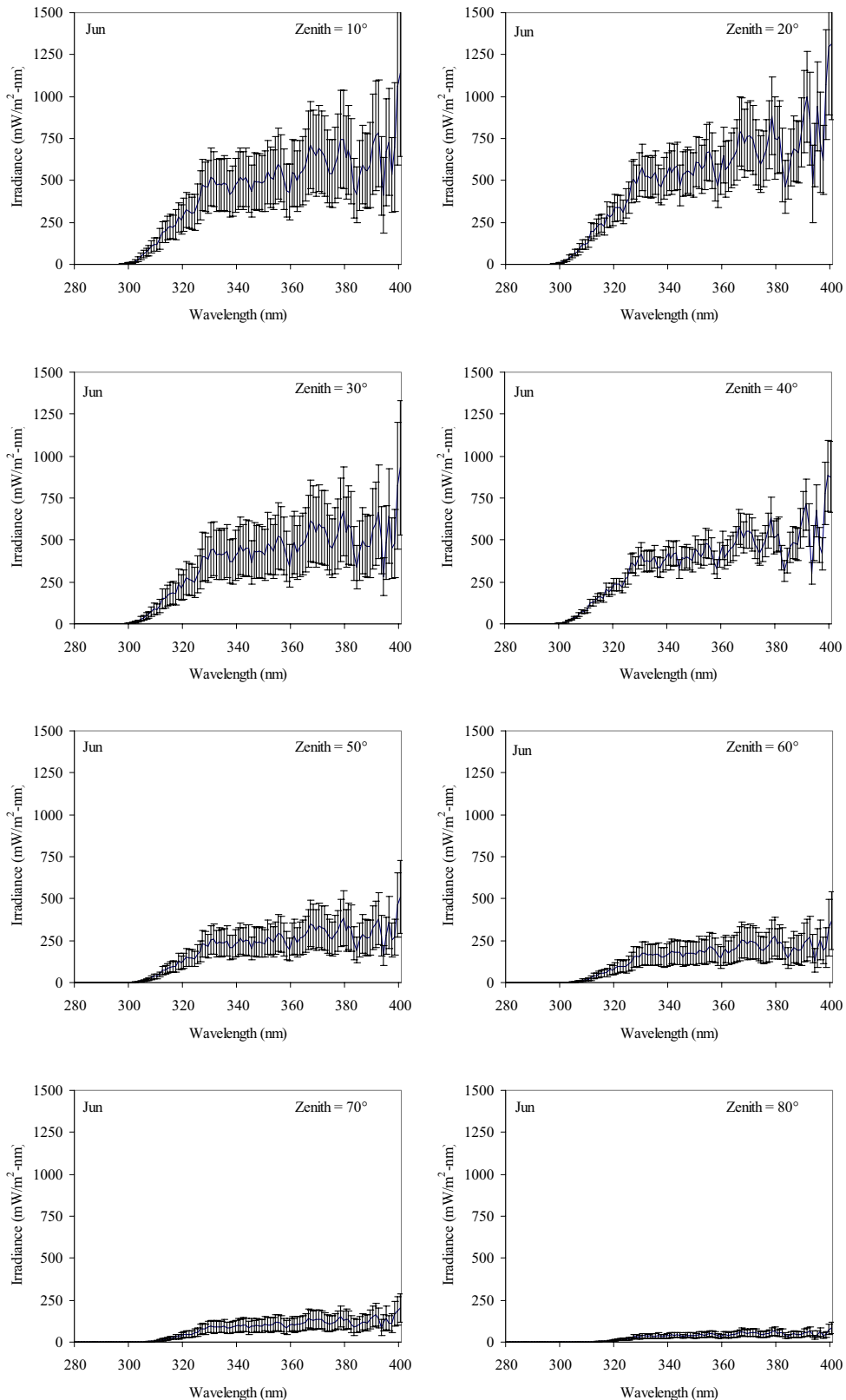
รูปที่ 3.28 แสดงค่าเฉลี่ยความเข้มรังสีอัลตราไวโอเลตแบ่งตามเชิงต่างๆ ในเดือนมีนาคม



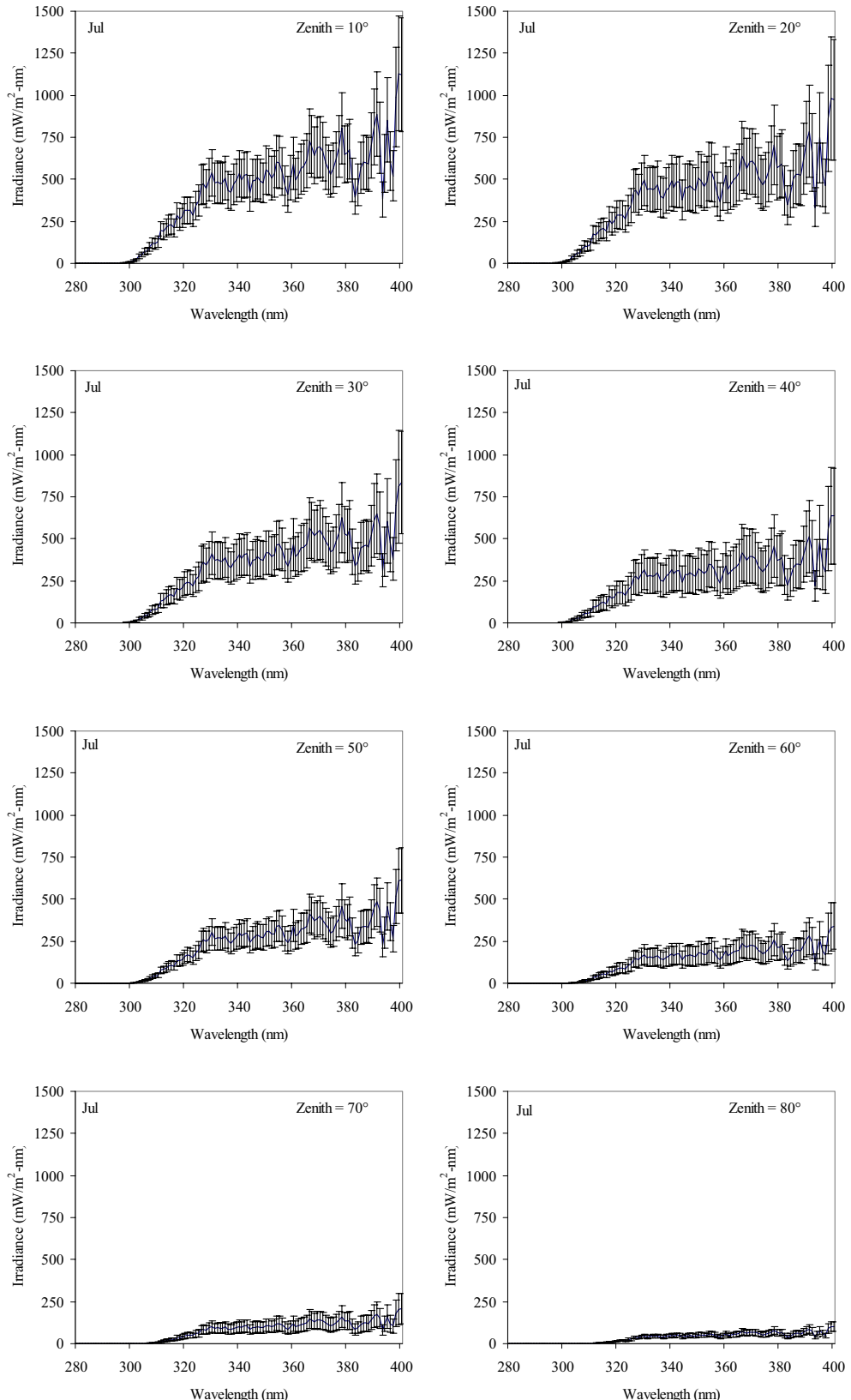
รูปที่ 3.29 แสดงค่าเฉลี่ยความเข้มรังสีอัลตราไวโอเลตแบ่งตามเชิงต่างๆ ในเดือนเมษายน



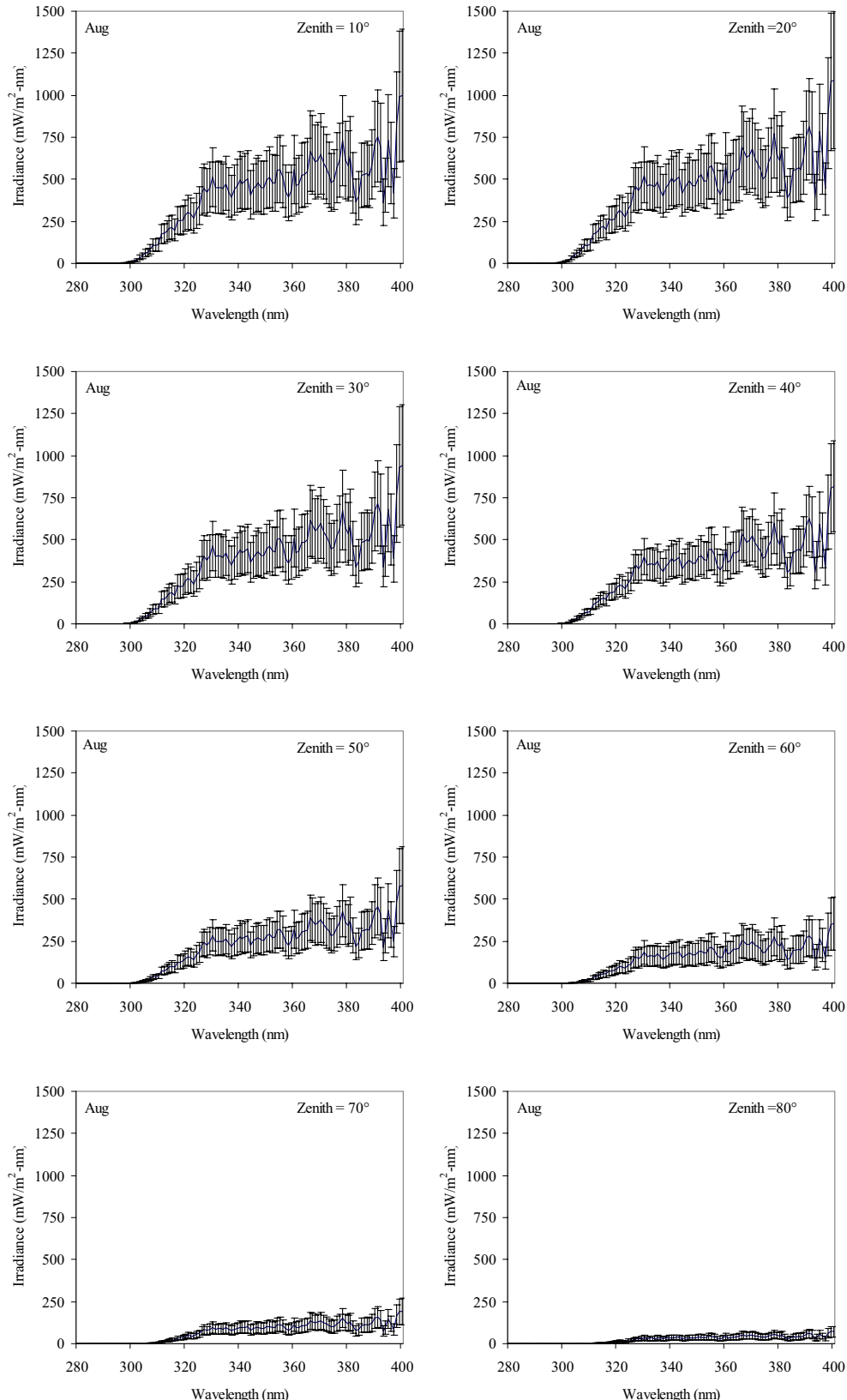
รูปที่ 3.30 แสดงค่าเฉลี่ยความเข้มรังสีอัลตราไวโอลেตแบ่งตามเชิงค่างๆ ในเดือนพฤษภาคม



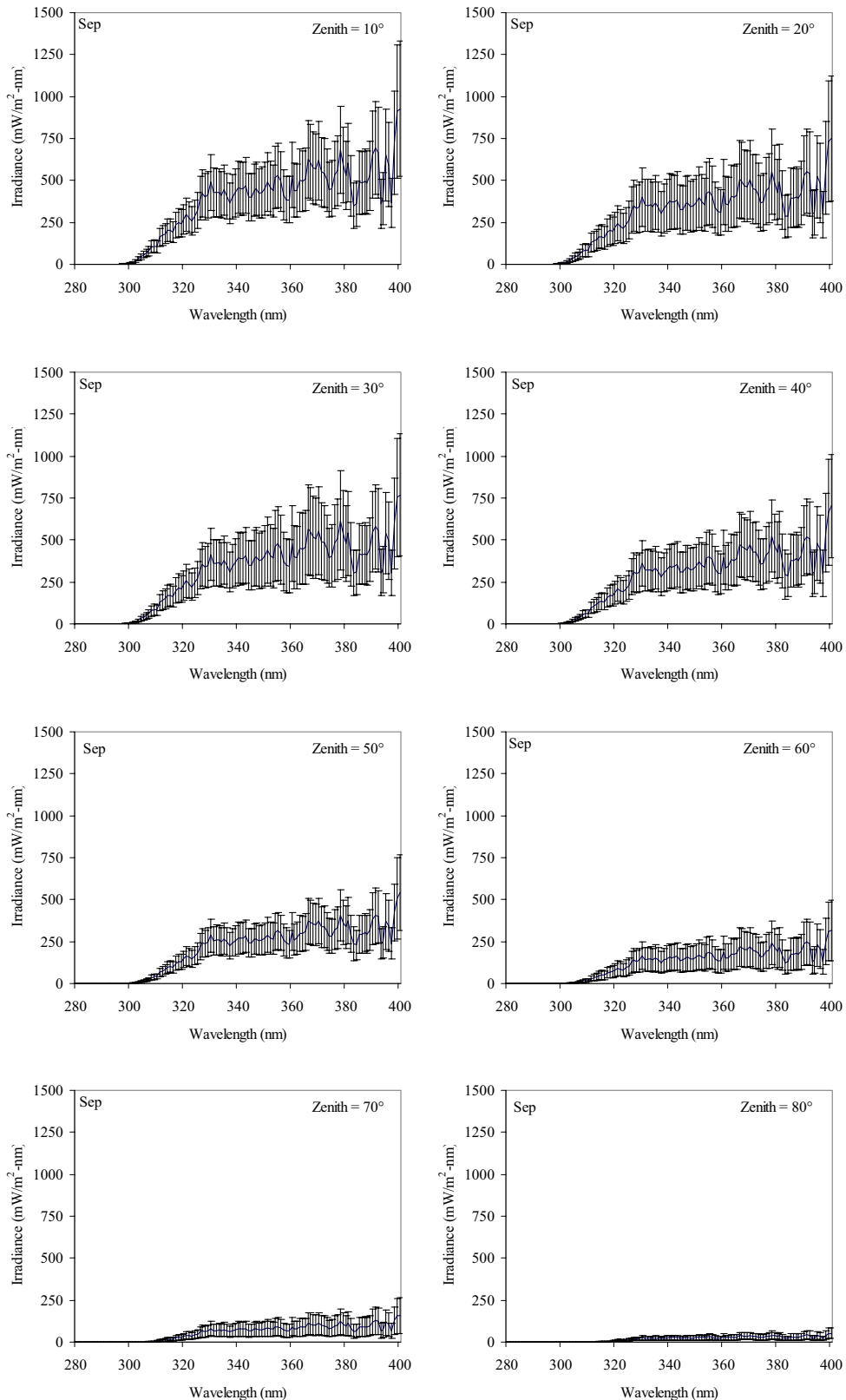
รูปที่ 3.31 แสดงค่าเฉลี่ยความเข้มรังสีอัลตราไวโอเลตแบ่งตามเชนิชต่างๆ ในเดือนมิถุนายน



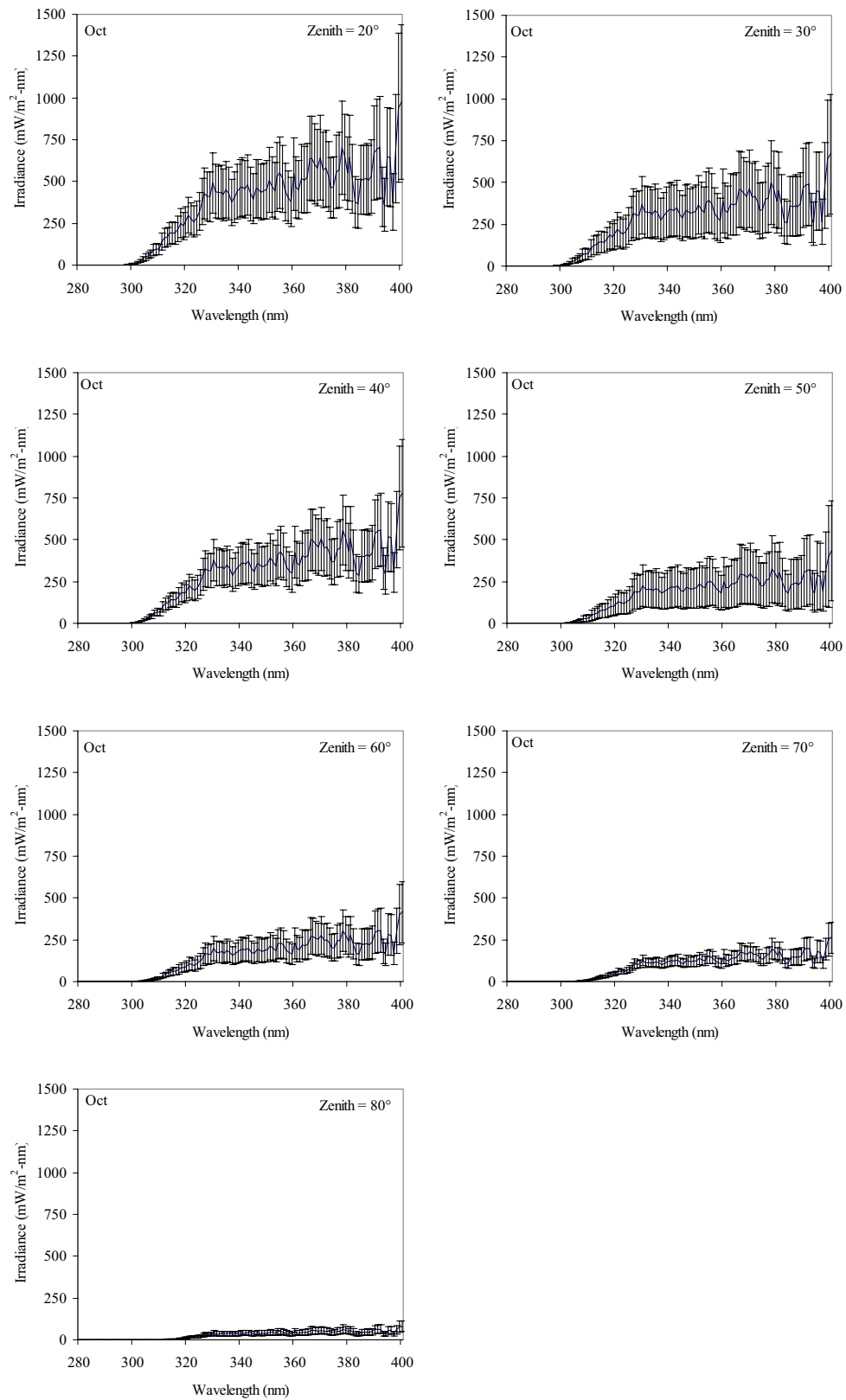
รูปที่ 3.32 แสดงค่าเฉลี่ยความเข้มรังสีอัลตราไวโอลেตแบ่งตามเชิงชั้นต่างๆ ในเดือนกรกฎาคม



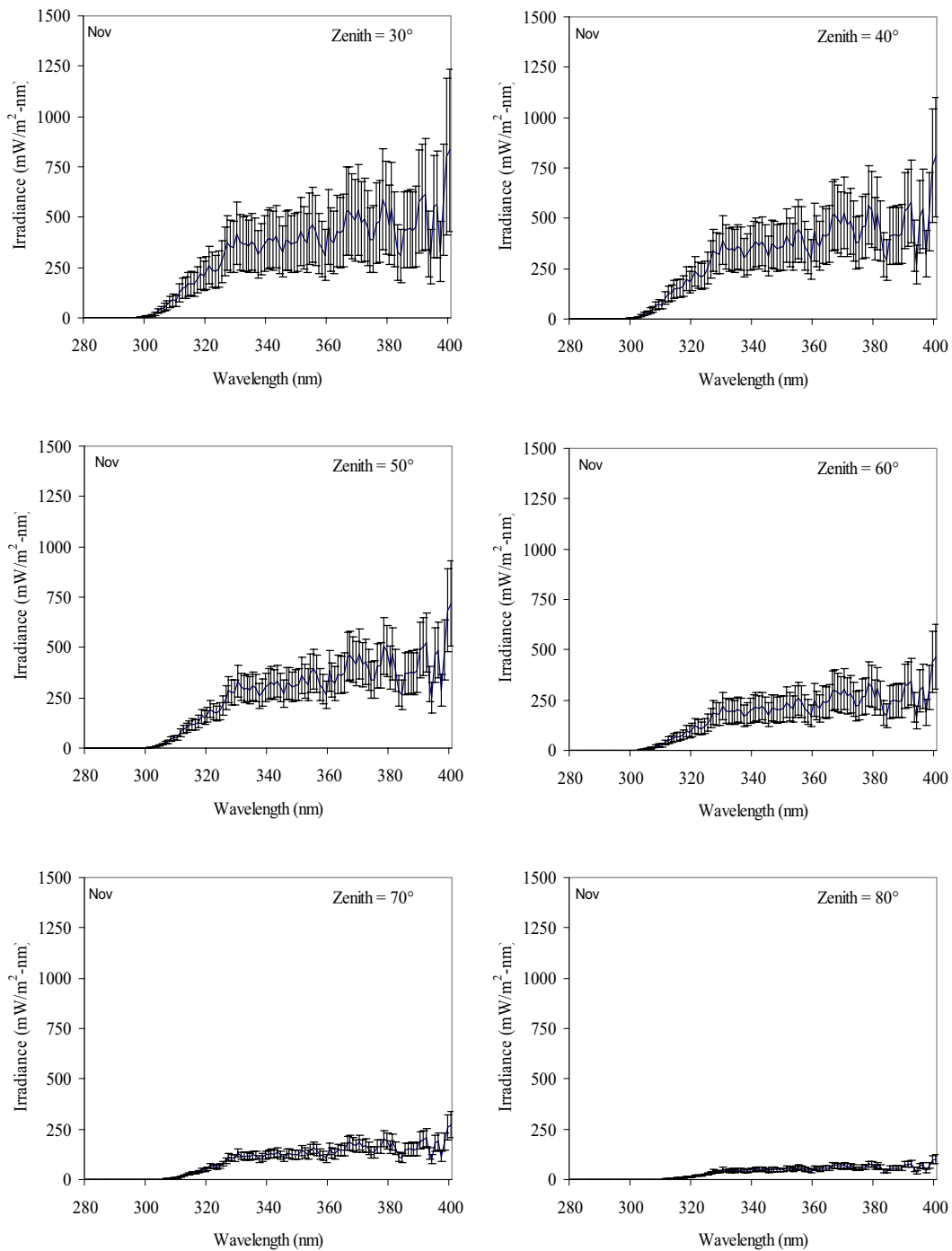
รูปที่ 3.33 แสดงค่าเฉลี่ยความเข้มรังสีอัตตราไวโอลেตแบ่งตามเซนิธต่างๆ ในเดือนสิงหาคม



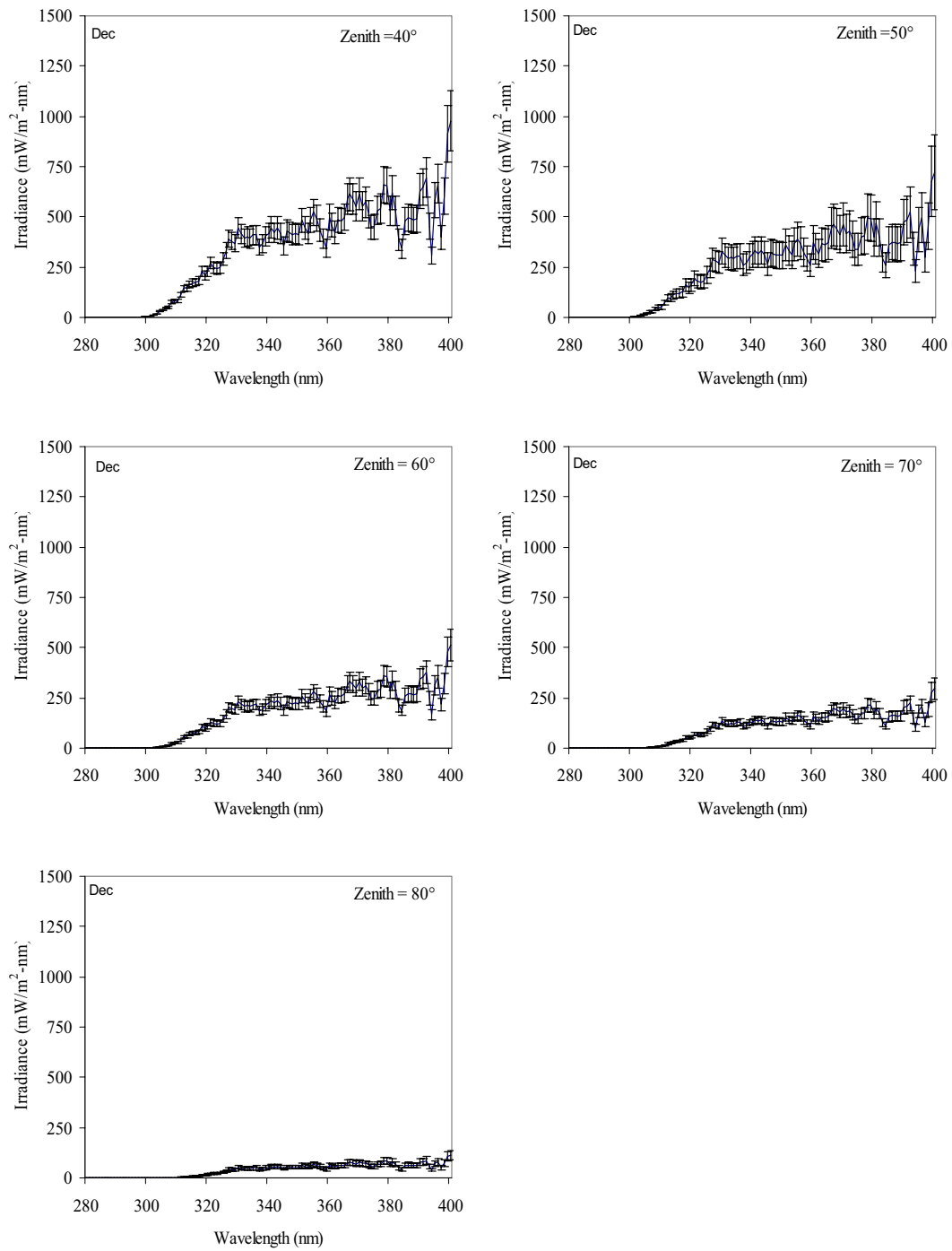
รูปที่ 3.34 แสดงค่าเฉลี่ยความเข้มรังสีอัลตราไวโอเลตแบ่งตามเชนิชต่างๆ ในเดือนกันยายน



รูปที่ 3.35 แสดงค่าเฉลี่ยความเข้มรังสีอัลตราไวโอลেตแบ่งตามเชิงต่างๆ ในเดือนตุลาคม



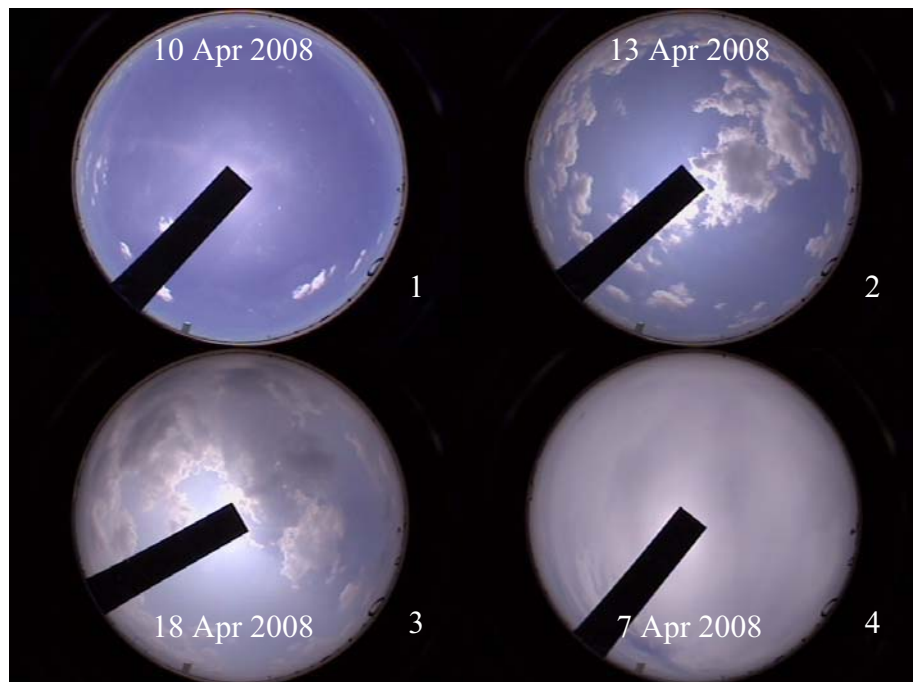
รูปที่ 3.36 แสดงค่าเฉลี่ยความเข้มรังสีอัลตราไวโอลেตแบ่งตามเชิงต่างๆ ในเดือนพฤษจิกายน



รูปที่ 3.37 แสดงค่าเฉลี่ยความเข้มรังสีอัลตราไวโอเลตแบ่งตามเซนิชต่างๆ ในเดือนธันวาคม

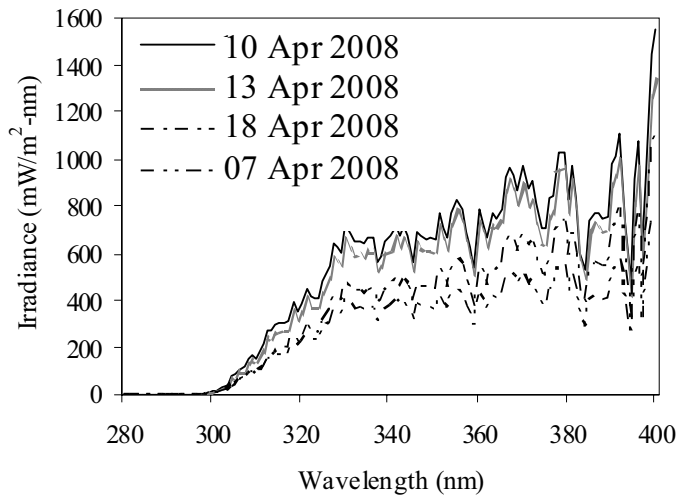
3.4.3 การประค่าสเปกตรัมรังสีอัลตราไวโอลেตที่ปริมาณเมฆต่างๆ กัน

จากที่ผ่านการวิเคราะห์ที่ผ่านมา พบว่า ตัวแปรสำคัญที่สุดต่อการลดthonความเข้มรังสีดวงอาทิตย์คือปริมาณเมฆและตำแหน่งเมฆบนท้องฟ้า ตัวอย่างของปริมาณเมฆบนท้องฟ้าแสดงดังรูปที่ 3.38 โดยความเข้มรังสีอัลตราไวโอลे�ตจะถูกลดthonมากที่สุดในกรณีสภาพท้องฟ้ามีเมฆปกคลุมทั่วท้องฟ้า (overcast sky)



รูปที่ 3.38 แสดงถักยนนะเมฆปกคลุมแบบต่างๆ เวลา 12.00 น.

- (1) วันที่ 10 เมษายน 2008 สภาพท้องฟ้าปราศจากเมฆ
- (2) วันที่ 13 เมษายน 2008 สภาพท้องฟ้ามีเมฆบางส่วน
- (3) วันที่ 18 เมษายน 2008 สภาพท้องฟ้าปกคลุมด้วยเมฆมาก
- (4) วันที่ 7 เมษายน 2008 สภาพท้องฟ้าปกคลุมด้วยเมฆทั่วท้องฟ้า



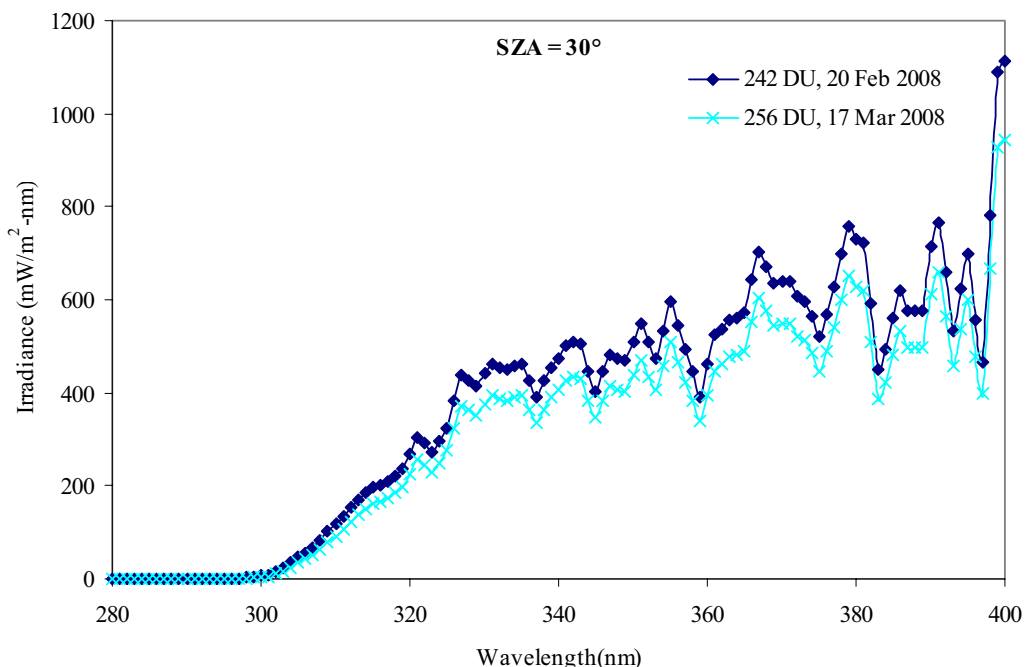
รูปที่ 3.39 แสดงลักษณะของスペกตรัมรังสีอัลตราไวโอเลตตามลักษณะท้องฟ้าที่สอดคล้องกับสภาพท้องฟ้าที่แสดงในรูปที่ 3.38

จากรูปที่ 3.39 จะเห็นว่าスペกตรัมรังสีอัลตราไวโอเลตที่วัดได้ในวันที่ 7 เมษายน 2008 ซึ่งเป็นวันที่เมฆปกคลุมทั่วท้องฟ้า มีปริมาณความเข้มเป็นครั้งหนึ่งของความเข้มรังสีอัลตราไวโอเลตในสภาพที่ท้องฟ้าปราศจากเมฆในวันที่ 10 เมษายน 2008

3.4.4 การแปรค่ารังสีอัลตราไวโอเลตตามปริมาณโอโซน

3.4.4.1 กรณีสภาพท้องฟ้าปราศจากเมฆ (clear sky)

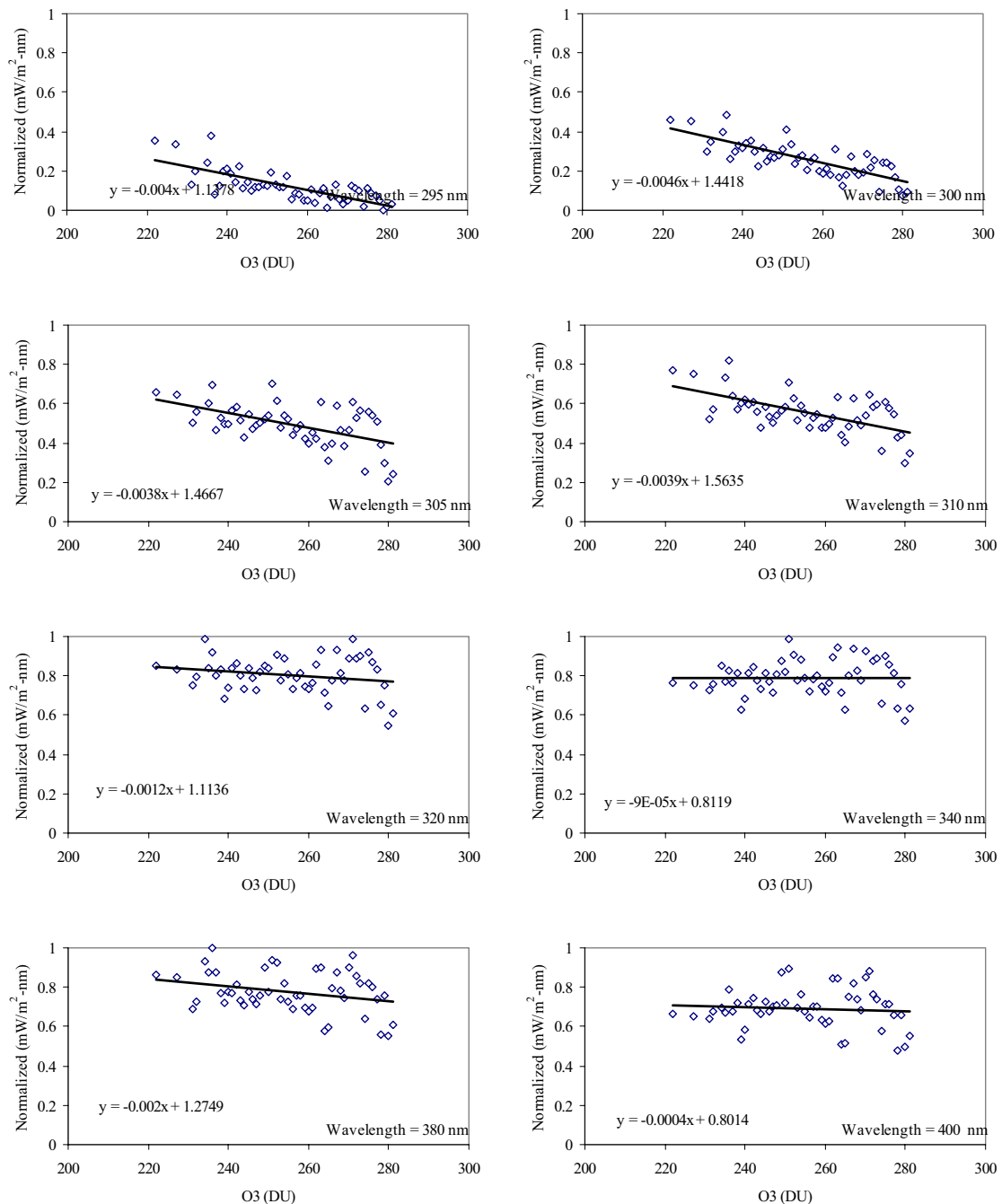
ในสภาพท้องฟ้าปราศจากเมฆการแปรค่าของรังสีอัลตราไวโอเลตจะลดลงตามปริมาณโอโซนที่เพิ่มขึ้น โดยที่ปริมาณโอโซนจะมีผลต่อการดูดกลืนความเข้มรังสีอัลตราไวโอเลตโดยเฉพาะที่ช่วงความยาวคลื่น 280-320 nm ดังแสดงในรูปที่ 3.40



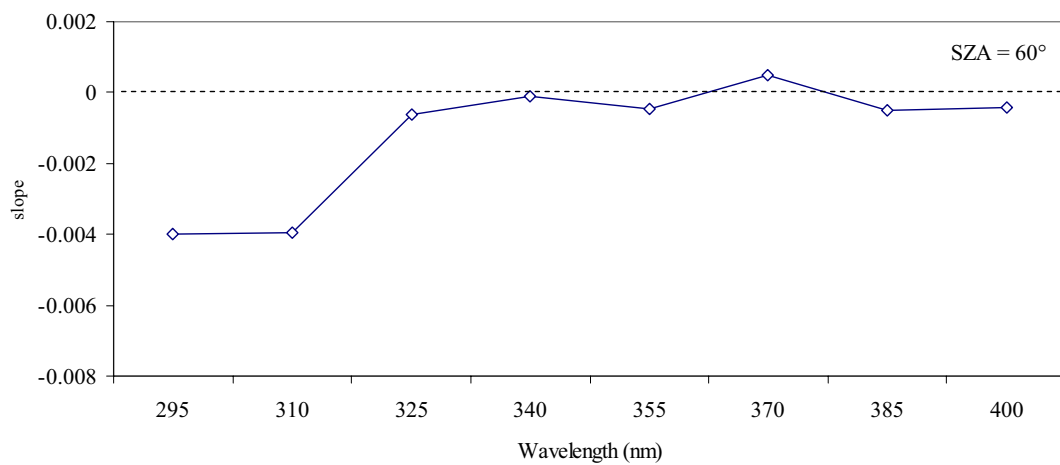
รูปที่ 3.40 แสดงการแปรค่าของスペกตรัมรังสีอัลตราไวโอเลตที่โอโซนต่างกัน

ผู้วิจัยได้นำข้อมูลที่วัดได้จากเครื่องวัดスペกตรัมในวันที่ท้องฟ้าปราศจากเมฆมาทำการ normalize ด้วยค่าスペกตรัมสูงสุดของแต่ละความยาวคลื่นมาทำการเขียนกราฟกับปริมาณโอโซนจากนั้นจึงทำการหาแนวโน้มความสัมพันธ์ของกราฟดังกล่าวในรูปของความชันของแต่ละスペกตรัมดังแสดงในรูปที่ 3.41 ผลที่ได้พบว่า ปริมาณโอโซนมีส่วนในการลดthonความเข้มรังสีอัลตราไวโอเลตในช่วงความยาวคลื่นระหว่าง 295 – 320 nm

ผลการคำนวณค่าความชันของแต่ละช่วงスペกตรัมแสดงอยู่ในรูปที่ 3.42 ผลดังกล่าวสรุปได้ว่า โอโซนสามารถดูดกลืนความเข้มรังสีในช่วง UVB ได้ดีกว่าช่วง UVA



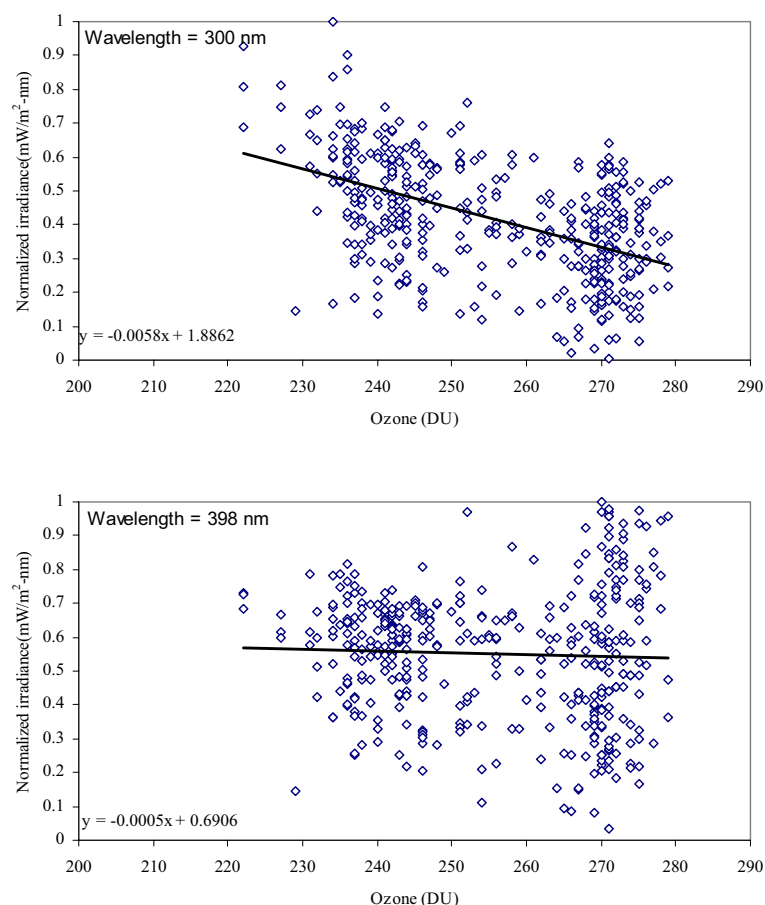
รูปที่ 3.41 แสดงการแปรค่าระหว่างความเข้มรังสีอัลตราไวโอเลตเมื่อค่าโอโซนเพิ่มขึ้นที่ความยาวคลื่นต่างๆ ที่มนุษย์ 60 องศา



รูปที่ 3.42 แสดงกราฟการแปรค่าความความชันของความเข้มรังสีอัลตราไวโอเลตกับไฮโซนที่ความยาวคลื่นต่างๆ

3.4.4.2 กรณีสภาพท้องฟ้าทั่วไป (general sky)

ในสภาพท้องฟ้าทั่วไป เมฆจะเป็นตัวแปรหนึ่งที่มีผลต่อการดูดกลืนรังสีอัลตราไวโอเลต อย่างไรก็ตามรูปแบบเฉพาะของการดูดกลืนนี้องจากโอดีโซนสามารถพบเห็นได้ในบางช่วงของความยาวคลื่นรังสีอัลตราไวโอเลต โดยในงานวิจัยนี้ผู้วิจัยจะใช้ข้อมูลความเข้มสเปกตรัมรังสีอัลตราไวโอเลตในแต่ละความยาวคลื่นที่มุมเซนิต 50 องศา มาทำการ normalize ค่าด้วยค่าความเข้มสูงสุดของแต่ละความยาวคลื่น จากนั้นจึงนำค่าความเข้มรังสีอัลตราไวโอเลตที่ได้มาทำการหาแนวโน้มของการเปลี่ยนแปลงค่าความเข้มรังสีอัลตราไวโอเลตต่อการเพิ่มขึ้นของปริมาณโอดีโซน พบว่า ค่าความเข้มรังสีอัลตราไวโอเลตที่ความยาวคลื่น 300 nm ในช่วง UVB มีแนวโน้มของการดูดกลืนรังสีอัลตราไวโอเลตเนื่องจากปริมาณโอดีโซนมากที่ความยาวคลื่น 398 nm ในช่วง UVA ตัวอย่างการเปรียบเทียบแนวโน้มการเปลี่ยนแปลงค่ารังสีอัลตราไวโอเลตต่อปริมาณโอดีโซนที่ความยาวคลื่น 300 nm และ 398 nm แสดงไว้ในรูปที่ 3.43



รูปที่ 3.43 แสดงแนวโน้มความสัมพันธ์ของค่า normalize ความเข้มรังสีอัลตราไวโอเลตต่อปริมาณโอดีโซนในสภาพท้องฟ้าทั่วไปในช่วงความยาวคลื่น 300 nm และ 398 nm

3.5 การประยุกต์ใช้ความเข้มรังสีอัลตราไวโอลेटแบบスペกตรัม

ในการประยุกต์ใช้รังสีอัลตราไวโอลेटแบบスペกตรัมนั้นจำเป็นที่จะต้องทำการ integrate ความเข้มรังสีอัลตราไวโอลेटที่อยู่ในรูปスペกตรัมให้เป็นความเข้มรังสีอัลตราไวโอลेटรวมในช่วงความยาวคลื่นที่พิจารณา เช่น UVA, UVB หรือ EUV โดยในงานวิจัยนี้จะทำการ integrate สเปกตรัมในช่วงต่างๆ ตามสมการต่อไปนี้

$$UVA = \int_{320}^{400} I_\lambda d\lambda \quad (3.6)$$

$$UVB = \int_{280}^{320} I_\lambda d\lambda \quad (3.7)$$

$$EUV = \int_{280}^{320} I_\lambda R_\lambda d\lambda \quad (3.8)$$

โดยที่

UVA คือ ความเข้มรังสีอัลตราไวโอลेटเอ (UVA irradiance) (W/m^2)

UVB คือ ความเข้มรังสีอัลตราไวโอลेटบี (UVB irradiance) (W/m^2)

EUV คือ ความเข้มรังสีอัลตราไวโอลेटที่มีผลต่อผิวหนังมุขย์ (erythemal ultraviolet irradiance) (mW/m^2)

λ คือ ความยาวคลื่น (nm)

I_λ คือ ความเข้มสเปกตรัมรังสีอัลตราไวโอลे�ตที่ความยาวคลื่น λ ($\text{mW/m}^2\text{-nm}$)

R_λ คือ ค่าการตอบสนองของผิวหนังมุขย์ต่อรังสีอัลตราไวโอลेट (-)

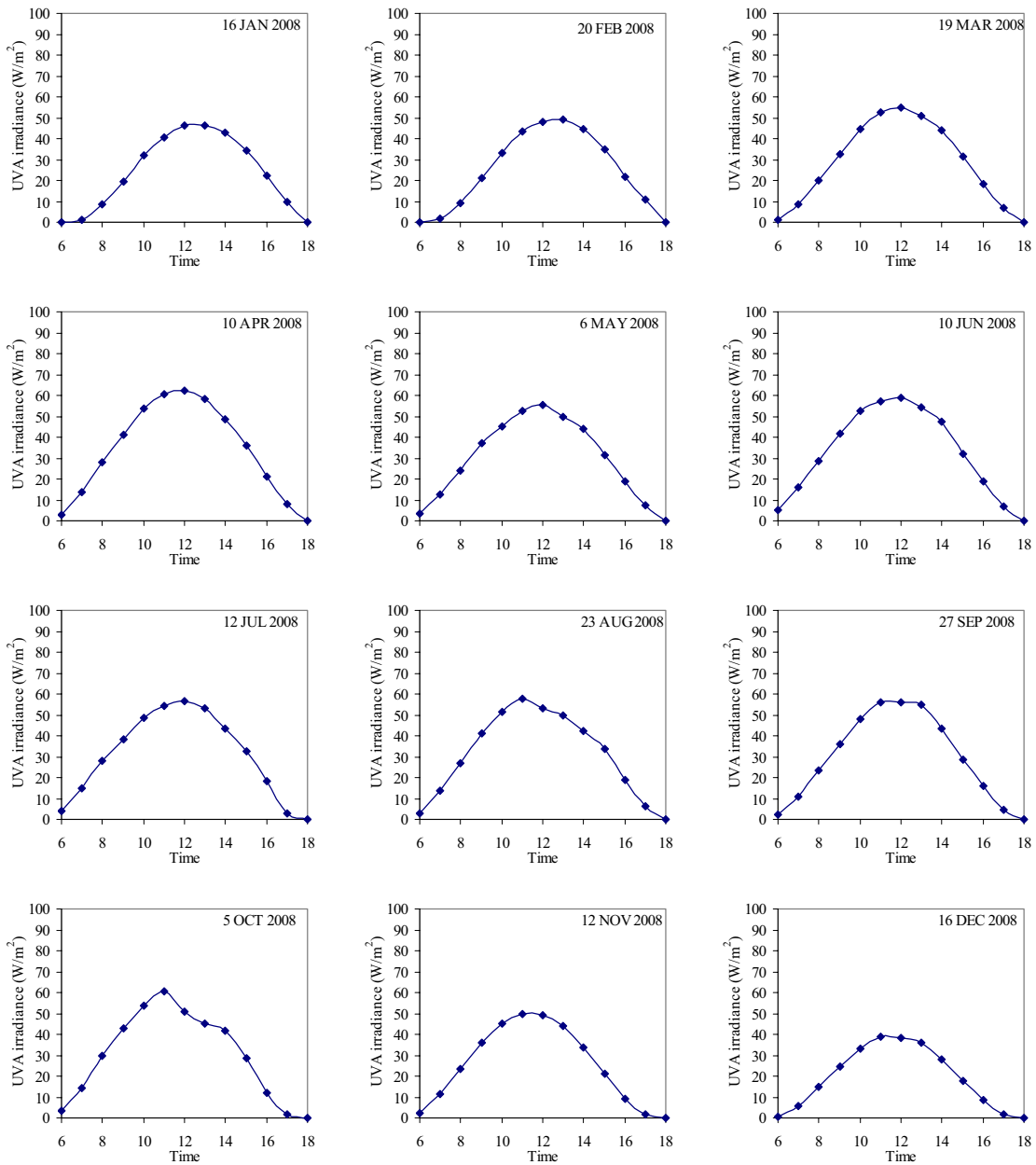
ผู้วิจัยได้ทำการหาปริมาณ UVA UVB และ EUV ด้วยวิธีการ integrate ตามสมการ 3.6, 3.7 และ 3.8 ตามลำดับ จากนั้นจึงทำการวิเคราะห์หาการแปรค่าในรอบวันและการแจกแจงความถี่ของค่าความเข้มรังสีอัลตราไวโอลे�ตที่คำนวณได้ดังกล่าว โดยมีรายละเอียดดังหัวข้อดังไป

3.5.1 การแปรค่าความเข้มรังสีอัลตราไวโอเลตตามเวลาในรอบวัน (diurnal variation)

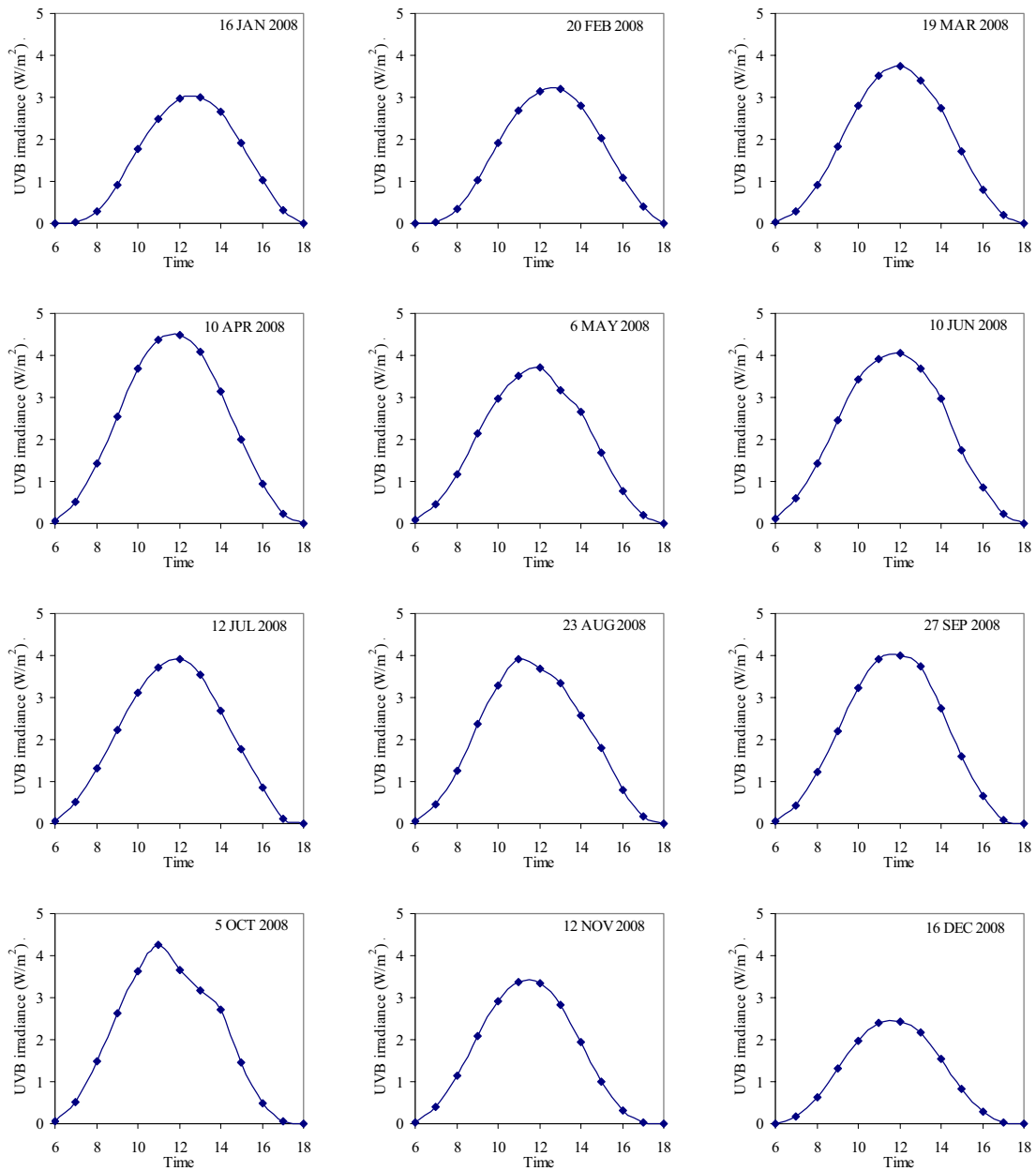
3.5.1.1 กรณีสภาพท้องฟ้าปราศจากเมฆ (clear sky)

ในกรณีที่ท้องฟ้าปราศจากเมฆ ผู้วิจัยได้นำค่าความเข้มรังสีอัลตราไวโอเลตที่ได้ทำการ integrate ในช่วง UVA, UVB และ EUV ซึ่งวัดในวันที่ท้องฟ้าปราศจากเมฆหรือมีเมฆน้อยที่สุดมาทำการพล็อตกราฟการแปรค่าความเข้มรายชั่วโมง ผลที่ได้แสดงในรูปที่ 3.44, 3.45 และ 3.46 ตามลำดับ

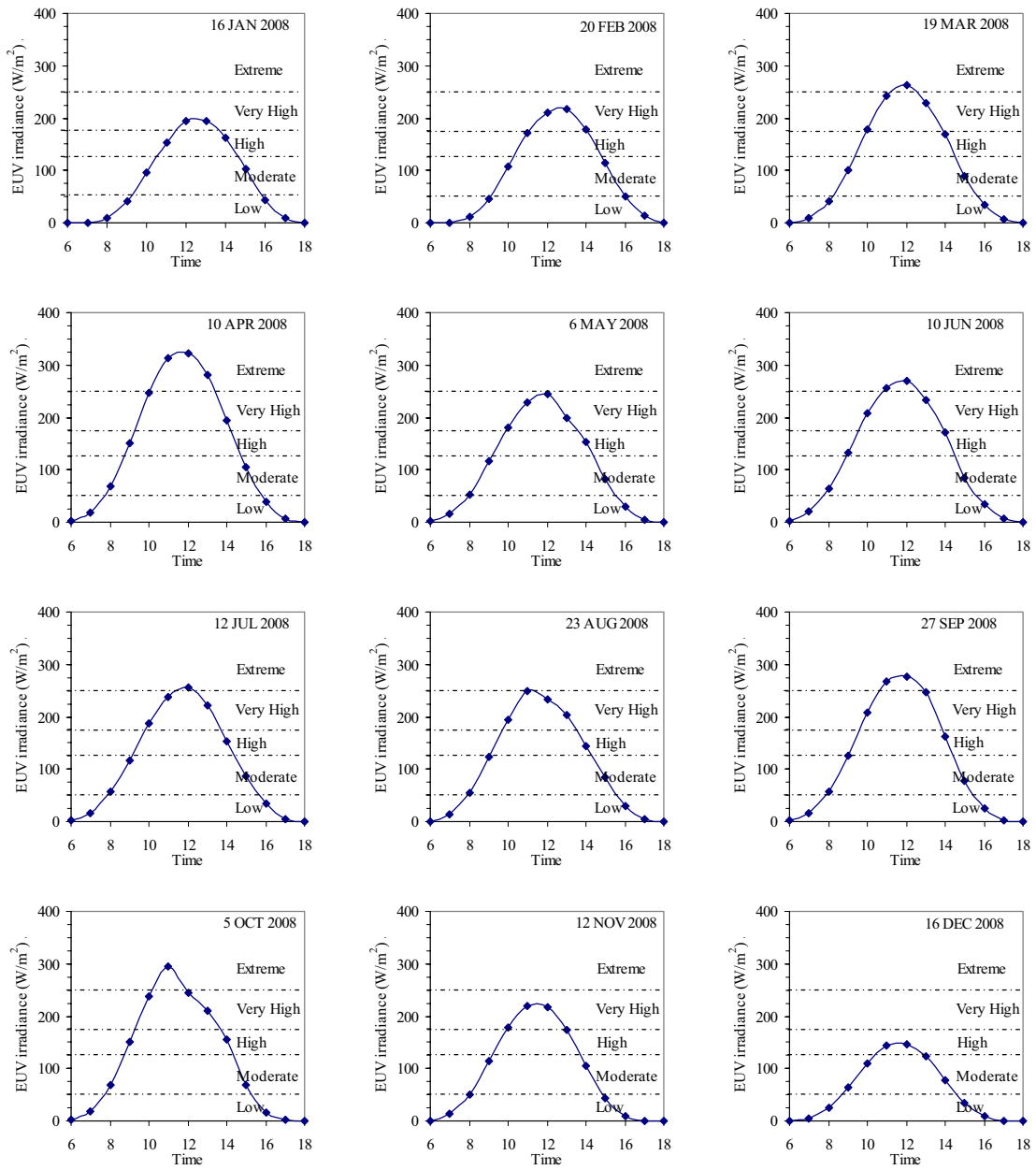
จากราฟพบว่าค่าความเข้มรังสีอัลตราไวโอเลตส่วนใหญ่มีค่าอยู่ในระดับที่สูงโดยเดือนที่มีความเข้มรังสีอัลตราไวโอเลตสูงที่สุดคือเดือนเมษายนซึ่งมีค่าสูงสุดของ UVA, UVB และ EUV เท่ากับ 62.4 W/m^2 , 4.4 W/m^2 และ 322.0 W/m^2 ตามลำดับ ส่วนเดือนที่มีค่าความเข้มรังสีอัลตราไวโอเลตต่ำที่สุดคือเดือนธันวาคม



รูปที่ 3.44 แสดงการเปลี่ยนเวลาในรอบวันของความเข้มรังสีอัลตราไวโอเลตเอ (UVA) ในวันที่ห้องพ้าปราสาทจากเมฆ



รูปที่ 3.45 แสดงการแปรค่าตามเวลาในรอบวันของความเข้มรังสีอัลตราไวโอเลตบี (UVB) ในวันที่ท่องฟ้าปราศจากเมฆ



รูปที่ 3.46 แสดงการแปรค่าตามเวลาในรอบวันของความเข้มรังสีอัลตราไวโอเลตที่มีผลต่อผิวนحنั่ง-มนุษย์ (EUV) ในวันที่ห้องฟ้าปราศจากเมฆ

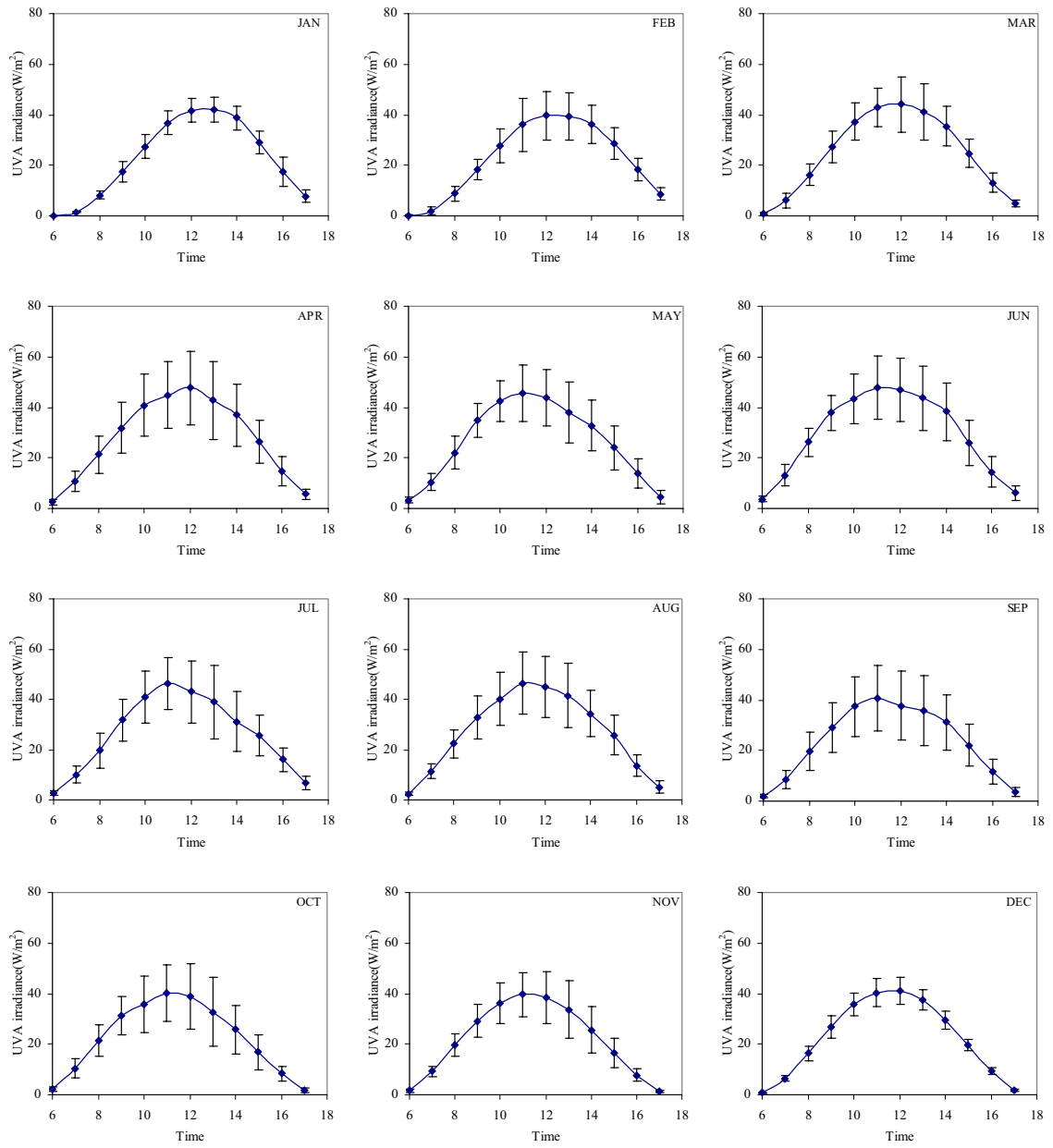
3.5.1.2 กรณีสภาพท้องฟ้าทั่วไป (general sky)

สำหรับกรณีสภาพท้องฟ้าทั่วไปการเปลี่ยนแปลงค่าความเข้มรังสี UVA, UVB และ EUV ในรอบวันขึ้นอยู่กับปริมาณเมฆและมุนชนิดน้อยสุดของแต่ละเดือน โดยในงานวิจัยนี้ผู้วิจัยได้ทำการหาค่าเฉลี่ยความเข้มรังสี UVA, UVB และ EUV รายชั่วโมงพร้อมทั้งคำนวณค่า SD ของแต่ละเดือนแล้วนำมาเขียนกราฟกับเวลาในรอบวันดังแสดงในรูปที่ 3.47, 3.48 และ 3.49 ตามลำดับ ผลที่ได้พบว่าการแปรค่าของรังสี UVA, UVB และ EUV ในเดือนมีนาคมถึงเดือนพฤษภาคมมีค่ามากเนื่องจากในเดือนดังกล่าวมีมรสุมตะวันตกเฉียงใต้ทำให้ช่วงเวลาดังกล่าวจะมีเมฆปกคลุมท้องฟ้ามาก ส่วนในเดือนพฤษภาคม, ธันวาคม, มกราคม และ กุมภาพันธ์ มีการแปรค่าน้อยอันเนื่องมาจากลมมรสุมตะวันออกเฉียงเหนือซึ่งพัดพาเมฆจากภาคเย็นและแห้งทำให้ท้องฟ้ามีสภาพปราศจากเมฆ

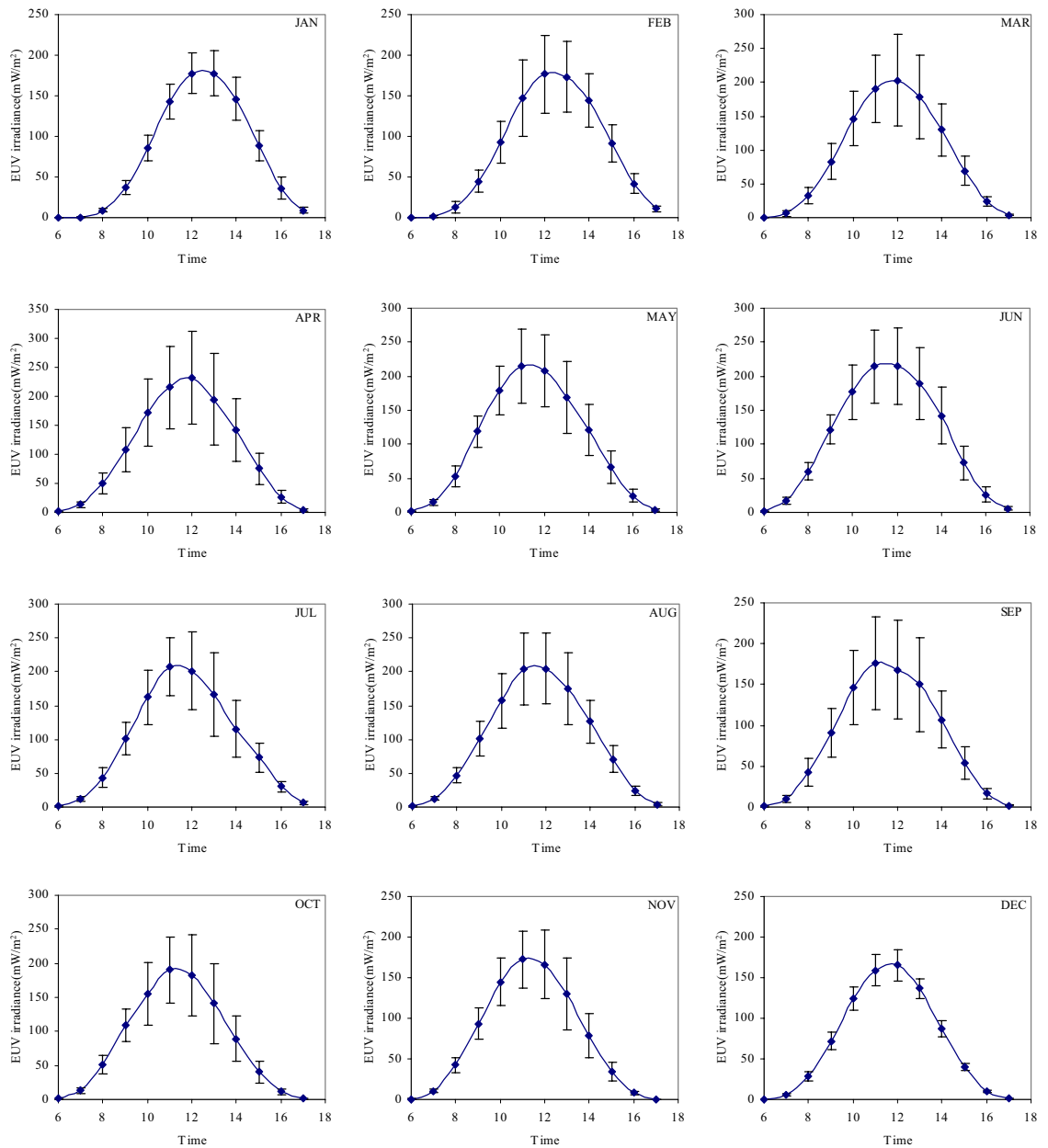
จากราฟในรูปที่ 3.47 ซึ่งแสดงการแปรค่ารังสีอัลตราไวโอเลตรายชั่วโมงของรังสี UVA โดยมีค่าสูงสุดที่เดือนมิถุนายน โดยมีค่าเท่ากับ 61.9 W/m^2

จากราฟในรูปที่ 3.48 ซึ่งแสดงการแปรค่ารังสี UVB รายชั่วโมงนั้น จะพบว่า ฟีเดือนเมษายนจะมีค่าความเข้มรังสี UVB สูงที่สุดคือ 4.4 W/m^2

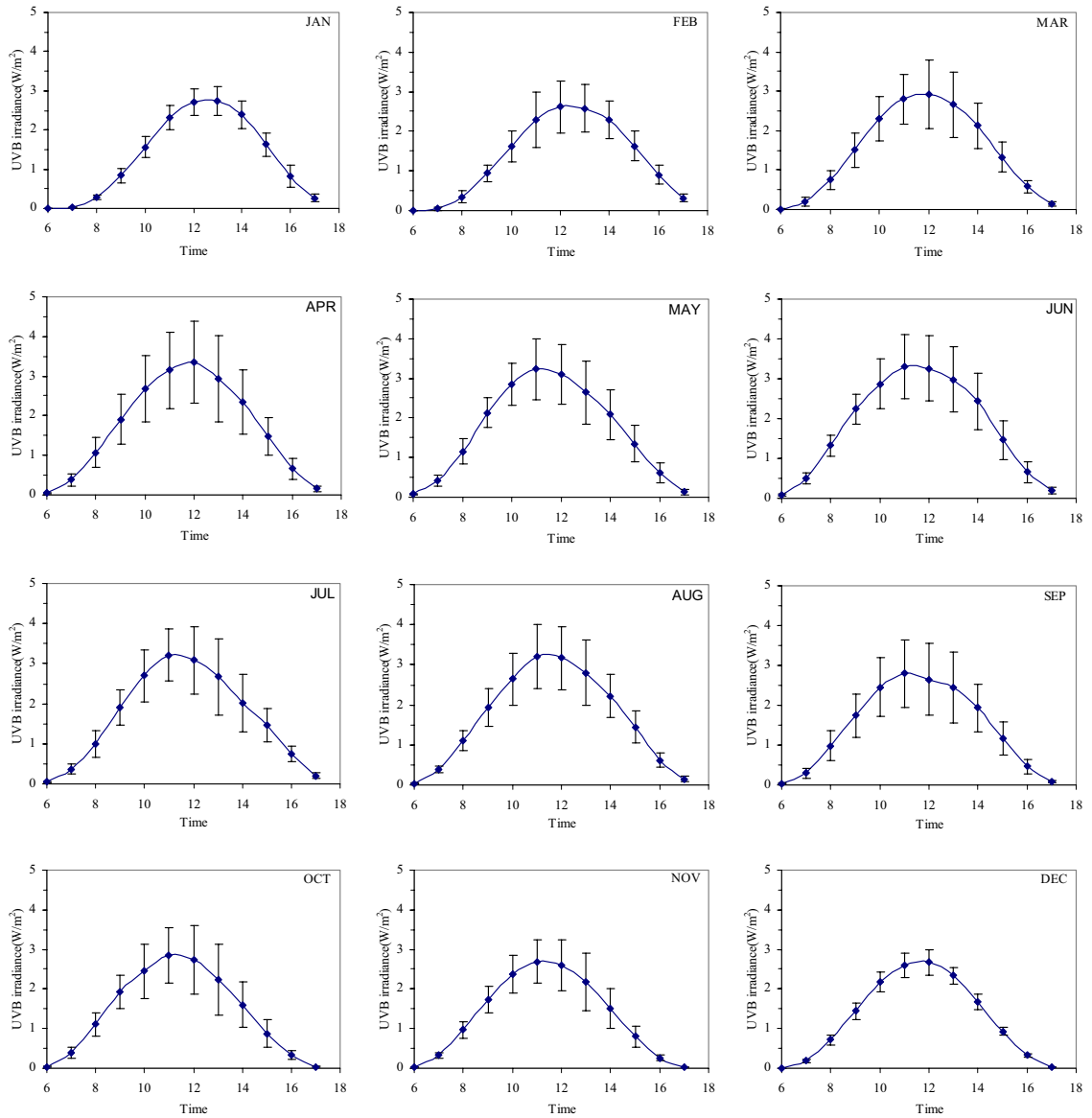
จากราฟในรูปที่ 3.49 ซึ่งแสดงการแปรค่าความเข้มรังสี EUV รายชั่วโมง จะพบว่าในเดือนเมษายนจะมีค่าสูงที่สุดเท่ากับ 311.2 mW/m^2



รูปที่ 3.47 แสดงการแปรค่าความเข้มรังสีอัลตราไวโอเลตเอ (UVA) รายชั่วโมงเฉลี่ยต่อเดือนตามเวลาในรอบวัน [error bar หมายถึงค่าเฉลี่ย \pm 1 standard deviation, SD]



รูปที่ 3.48 แสดงการแปรค่าความเข้มรังสีอัลตราไวโอเลตบี (UVB) รายชั่วโมงเฉลี่ยต่อเดือนตามเวลาในรอบวัน [error bar หมายถึงค่าเฉลี่ย ± 1 standard deviation, SD]



รูปที่ 3.49 แสดงการเปลี่ยนความเข้มรังสีอัลตราไวโอลেตที่มีผลต่อผิวหนังมนุษย์ (EUV) รายชั่วโมง เฉลี่ยต่อเดือนตามเวลาในรอบวัน [error bar หมายถึงค่าเฉลี่ย ± 1 standard deviation, SD]

3.5.2 การแปรค่าความเข้มรังสีอัลตราไวโอเลตตามฤดูกาลในรอบปี(seasonal variation)

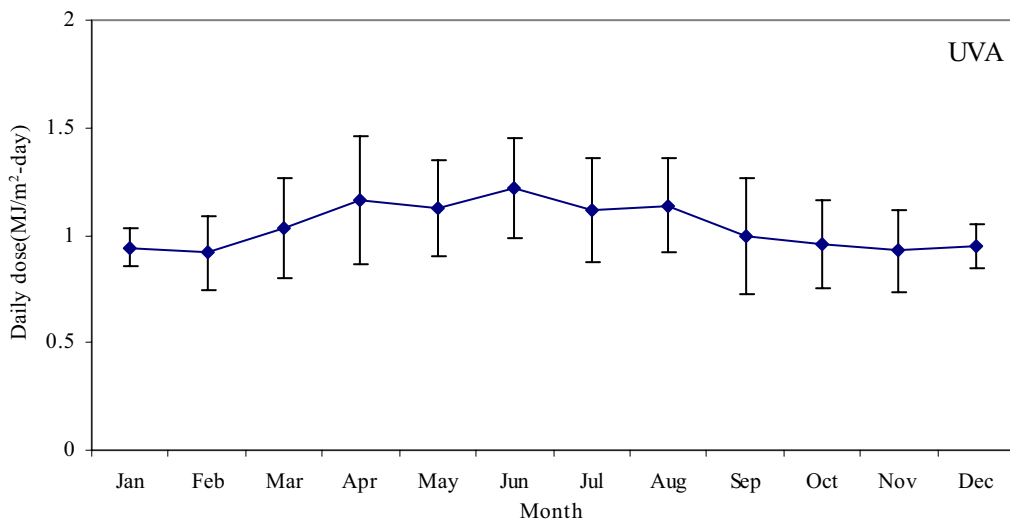
โดยทั่วไปค่าความเข้มรังสีอัลตราไวโอเลตที่วัด ณ สถานีหนึ่งจะแปรตามฤดูกาลในรอบปี ซึ่งเป็นผลมาจากการเปลี่ยนแปลงของทางเดินปรากฏของดวงอาทิตย์บนท้องฟ้าหรือการเปลี่ยนนมเดคคลินชั้นของดวงอาทิตย์ (solar declination) และปริมาณทางอุตุนิยมวิทยา ในงานวิจัยนี้ผู้วิจัยได้นำค่าความเข้ม UVA, UVB และ EUV มาทำการหาค่าพลังงานที่ได้รับรายวันเฉลี่ยต่อเดือนแสดงในหน่วยของพลังงาน พร้อมทั้งแสดงค่า SD ของค่าความเข้มดังกล่าว ผลที่ได้แสดงดังรูปที่ 3.50 ถึง 3.52

จากราฟในรูปที่ 3.50 ซึ่งแสดงการแปรค่ารังสีอัลตราไวโอเลตรายชั่วโมงของรังสี UVA โดยมีค่าสูงสุดที่เดือนมิถุนายน โดยมีค่าเท่ากับ 1.24 MJ/m^2 และมีปริมาณรังสี UVA น้อยสุดที่เดือนพฤษภาคม โดยมีค่าเท่ากับ 0.93 MJ/m^2 โดยมีค่าความเข้มเฉลี่ยทั้งปีเท่ากับ 1.06 MJ/m^2

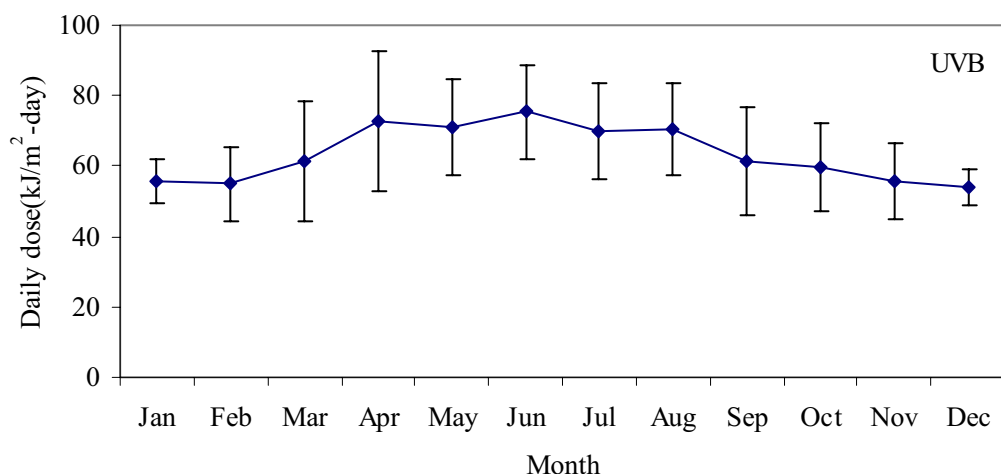
จากราฟในรูปที่ 3.51 ซึ่งแสดงการแปรค่ารังสี UVB รายชั่วโมงนั้น จะพบว่า พีเดือนเมษายนจะมีค่ารังสี UVB สูงที่สุดคือ 76.06 kJ/m^2 และจะมีปริมาณน้อยที่สุดในเดือนกุมภาพันธ์เท่ากับ 54.32 kJ/m^2 โดยมีความเข้มเฉลี่ยตลอดทั้งปีเท่ากับ 64.91 kJ/m^2

จากราฟในรูปที่ 3.52 ซึ่งแสดงการแปรค่าความเข้มรังสี EUV รายชั่วโมง จะพบว่าในเดือนเมษายนจะมีค่าสูงสูงที่สุดเท่ากับ 4.4 kJ/m^2 และในเดือนธันวาคมจะมีค่าต่ำที่สุดคือ 2.98 kJ/m^2 โดยมีความเข้มเฉลี่ยตลอดทั้งปีค่าเท่ากับ 3.80 kJ/m^2

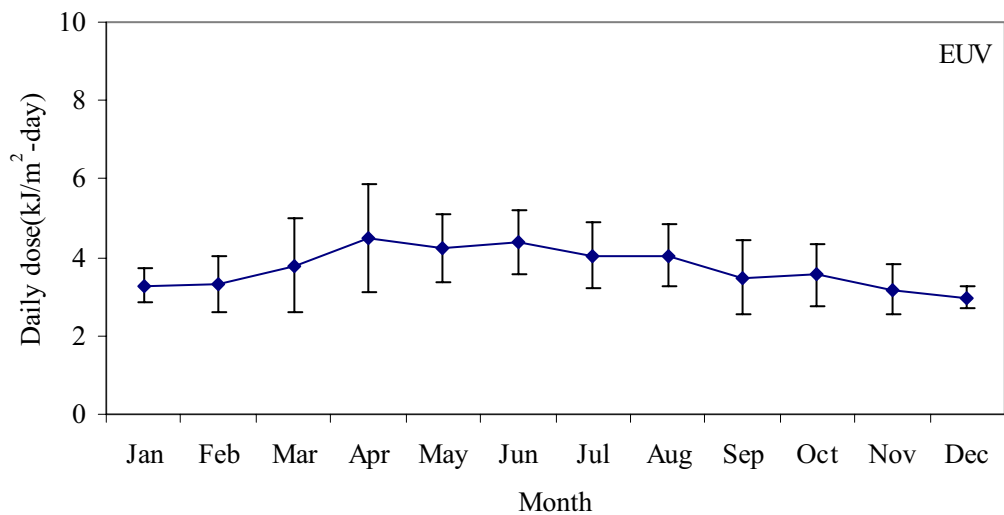
ในกรณีของความเข้มรังสี UVB และ EUV ในเดือนเมษายน จะมีค่าสูงเนื่องมาจากมุขของดวงอาทิตย์อยู่ในแนวเกื้อยิงตั้งฉากกับประเทศไทย สำหรับช่วงเดือนพฤษภาคมถึงเดือนสิงหาคมที่มีอิทธิพลจากลมมรสุมตะวันตกเฉียงใต้และปริมาณโอโซนที่สูง จะลดทอนปริมาณรังสี EUV และ UVB ส่งผลให้ปริมาณดังกล่าวที่วัดได้น้อย ซึ่งแตกต่างจากการแปรค่าของปริมาณรังสี UVA ที่จะมีค่าสูงสุดอยู่ในเดือนมิถุนายน เนื่องจากปริมาณโอโซนมีผลในการลดทอนความเข้มรังสี UVA น้อยกว่า UVB และ EUV



รูปที่ 3.50 แสดงค่าความเข้มรังสีอัลตราไวโอลेटอย่างวันเฉลี่ยต่อเดือน



รูปที่ 3.51 แสดงค่าความเข้มรังสีอัลตราไวโอลे�ตบีร้ายวันเฉลี่ยต่อเดือน



รูปที่ 3.52 แสดงค่าความเข้มรังสีอัลตราไวโอเลตที่มีผลต่อผิวนังมนุษย์รายวันเฉลี่ยต่อเดือน

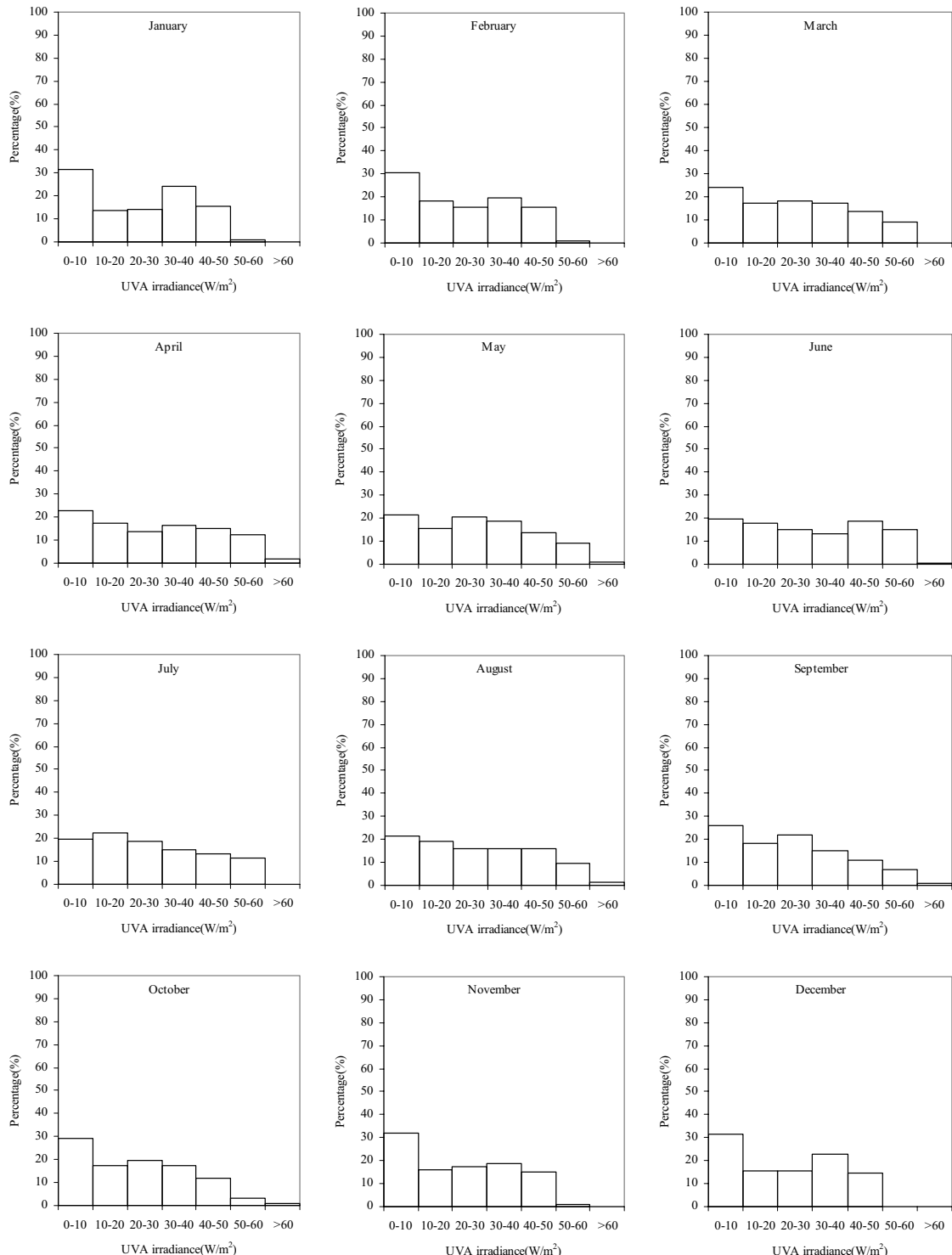
3.5.3 การแยกแยะความถี่ของค่าความเข้มรังสีอัลตราไวโอเลตรายชั่วโมง

จากข้อมูลความเข้มรังสีอัลตราไวโอเลตรายชั่วโมง ผู้วิจัยได้นำข้อมูลทั้งหมดมาทำการแยกแยะตามระดับความเข้มในแต่ละเดือน โดยจะแบ่งช่วงค่า UVA เป็นช่วงละ 10 W/m^2 และ UVB แบ่งเป็นช่วงละ 1 W/m^2 ส่วน EUV จะแบ่งช่วงความเข้มตามค่า UV index ของ WMO ซึ่งการแยกแยะดังกล่าวจะทำให้ทราบค่าความน่าจะเป็น (probability) ที่จะได้รับรังสีอัลตราไวโอเลตในระดับต่างๆ ของแต่ละเดือนในรอบปี ผลที่ได้แสดงไว้ในรูปที่ 3.53 ถึง 3.55 ผู้วิจัยได้คำนวณค่าความน่าจะเป็นที่จะได้รับความเข้มรังสีอัลตราไวโอเลตในระดับต่างๆ ในรอบปีดังแสดงในรูปที่ 3.59 ถึง 5.61 นอกจากนี้ผู้วิจัยได้ทำการแบ่งช่วงเวลาของการแยกแยะออกเป็นข้อมูลในช่วงเช้า (6.00-12.00 น.) และในช่วงบ่าย (12.00 - 18.00 น.) ผลที่ได้แสดงดังรูปที่ 3.56 ถึง 3.58

จากรูปที่ 3.56 และ 3.62 แสดงค่าการแยกแยะเบอร์เซ็นต์ความถี่รายชั่วโมงในรอบปี ของ UVA พบว่าปริมาณรังสี UVA ส่วนมากจะอยู่ในช่วงความเข้ม $0-10 \text{ W/m}^2$ มีปริมาณ 25% ต่อปี โดยที่ความเข้มในชั้น $>60 \text{ W/m}^2$ จะมีเพียง 0.53% ต่อปี เมื่อพิจารณาจากการแยกแยะเบอร์เซ็นต์ของค่าความเข้มรังสี UVA ในช่วงเช้าและบ่ายในกราฟรูปที่ 3.62 แล้วพบว่าโอกาสที่จะได้รับความเข้มในช่วงต่างๆ มีค่าใกล้เคียงกันในช่วงเวลาเช้าและบ่าย

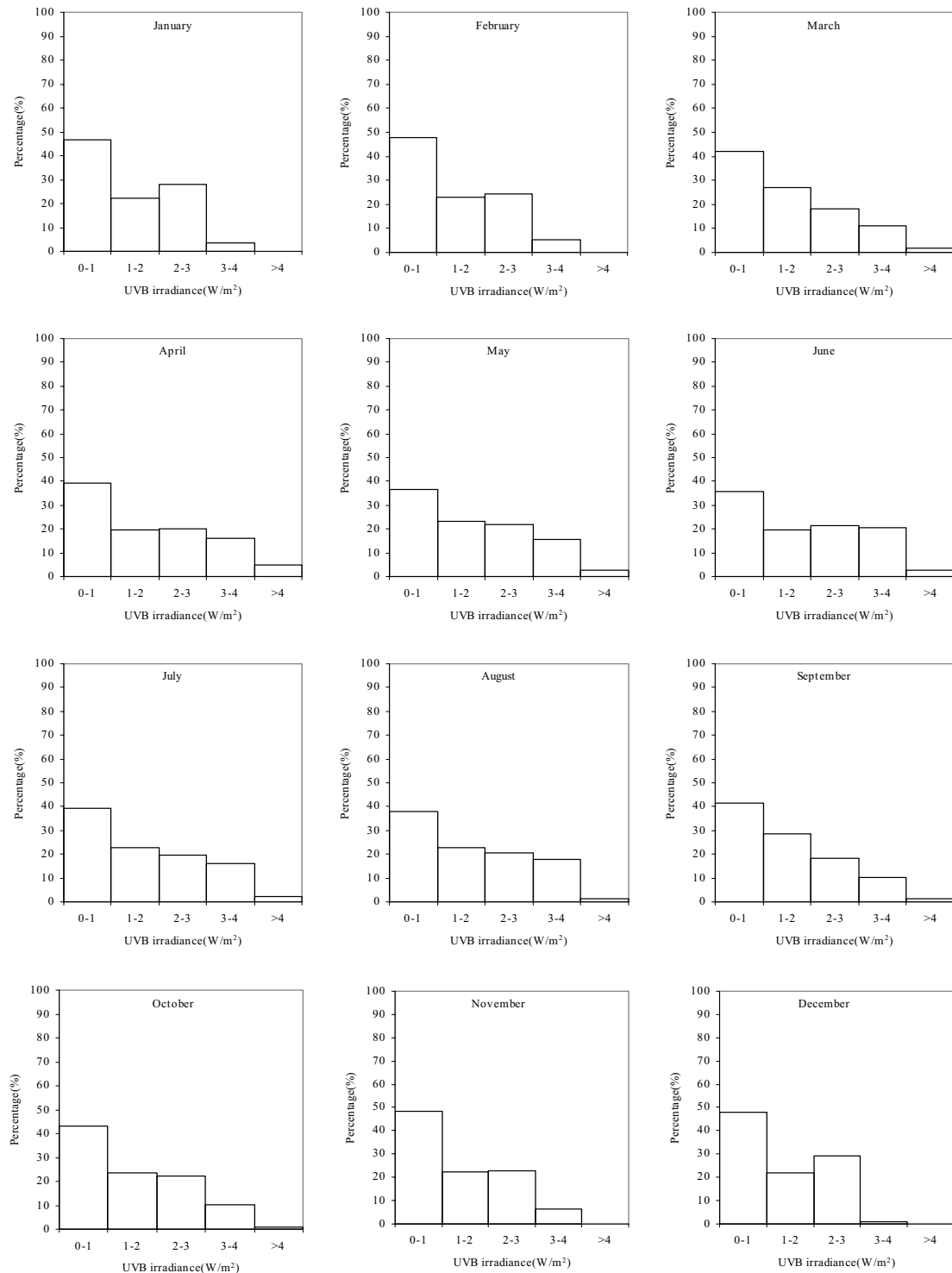
จากรูปที่ 3.57 และ 3.63 แสดงค่าการแยกแยะเบอร์เซ็นต์ความถี่ของรังสี UVB พบว่ามีค่าเฉลี่ยความถี่รายชั่วโมงสูงสุดในช่วงความเข้ม $0-1 \text{ W/m}^2$ โดยมีปริมาณ 42.13% และที่ปริมาณความเข้ม UVB ที่มีค่ามากกว่า 4 W/m^2 ก็คิดเป็น 4.75% และจากการพิจารณารูปที่ 3.60 และ 3.66 จะพบว่าในช่วงเวลาบ่ายมีโอกาสที่จะมีปริมาณความเข้มรังสีอัลตราไวโอเลตบีในช่วง $3-4 \text{ W/m}^2$ และ $>4 \text{ W/m}^2$ มากกว่าช่วงเวลาเช้า ก็คิดเป็น 0.91% ต่อปี สำหรับช่วงเวลาเช้า ในขณะที่ช่วงเวลาบ่ายมีค่าเป็น 1.95% ต่อปี เช่นเดียวกับที่ค่าความเข้มในช่วง $3-4 \text{ W/m}^2$ ซึ่งปริมาณในช่วงเวลาเช้าก็คิด 9.86% ในขณะที่ช่วงบ่ายมีค่าเป็น 12.40%

ในกรณีของค่า EUV ผลที่ได้พบว่าค่าของ EUV ส่วนใหญ่จะอยู่ที่ระดับ Low ที่มีความเข้มอยู่ระหว่าง $0-50 \text{ mW/m}^2$ หรือคิดเป็น 43.55% ต่อปี โดยที่ปริมาณความเข้มที่อยู่ในระดับ Extreme ที่มีค่าความเข้มมากกว่า 250 mW/m^2 มีค่าคิดเป็น 5.23% ต่อปี และเดือนที่มีโอกาสที่จะได้รับความเข้มในระดับ Extreme คือระหว่างเดือนมีนาคมถึงเดือนตุลาคม โดยมีค่าสูงสุดที่เดือนเมษายนหรือคิดเป็น 8.83% ต่อเดือน จากกราฟรูปที่ 3.64 แสดงการแยกแยะเบอร์เซ็นต์ความถี่ของรังสี EUV รายปี ในช่วงเวลาเช้าและบ่ายพบว่าที่ช่วงเวลาเช้าจะมีโอกาสที่จะได้รับความเข้มระดับ Extreme ก็คิดเป็น 4.50% มากกว่าช่วงบ่ายซึ่งมีปริมาณคิดเป็น 0.73%

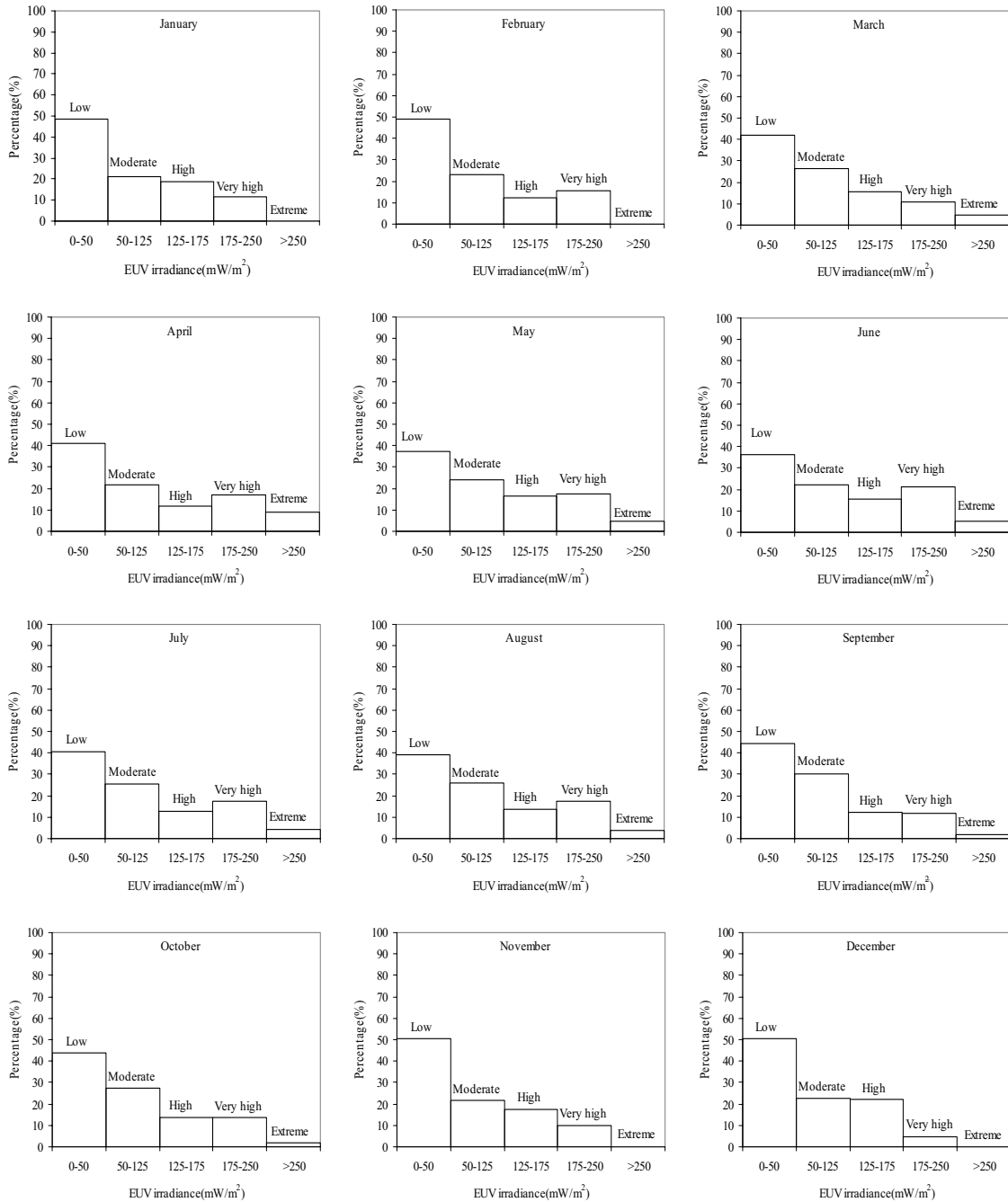


รูปที่ 3.53 แสดงการแจกแจงเบื้องต้นของค่าความเข้มรังสีอัลตราไวโอลেตເອ (UVA) รายชั่วโมง

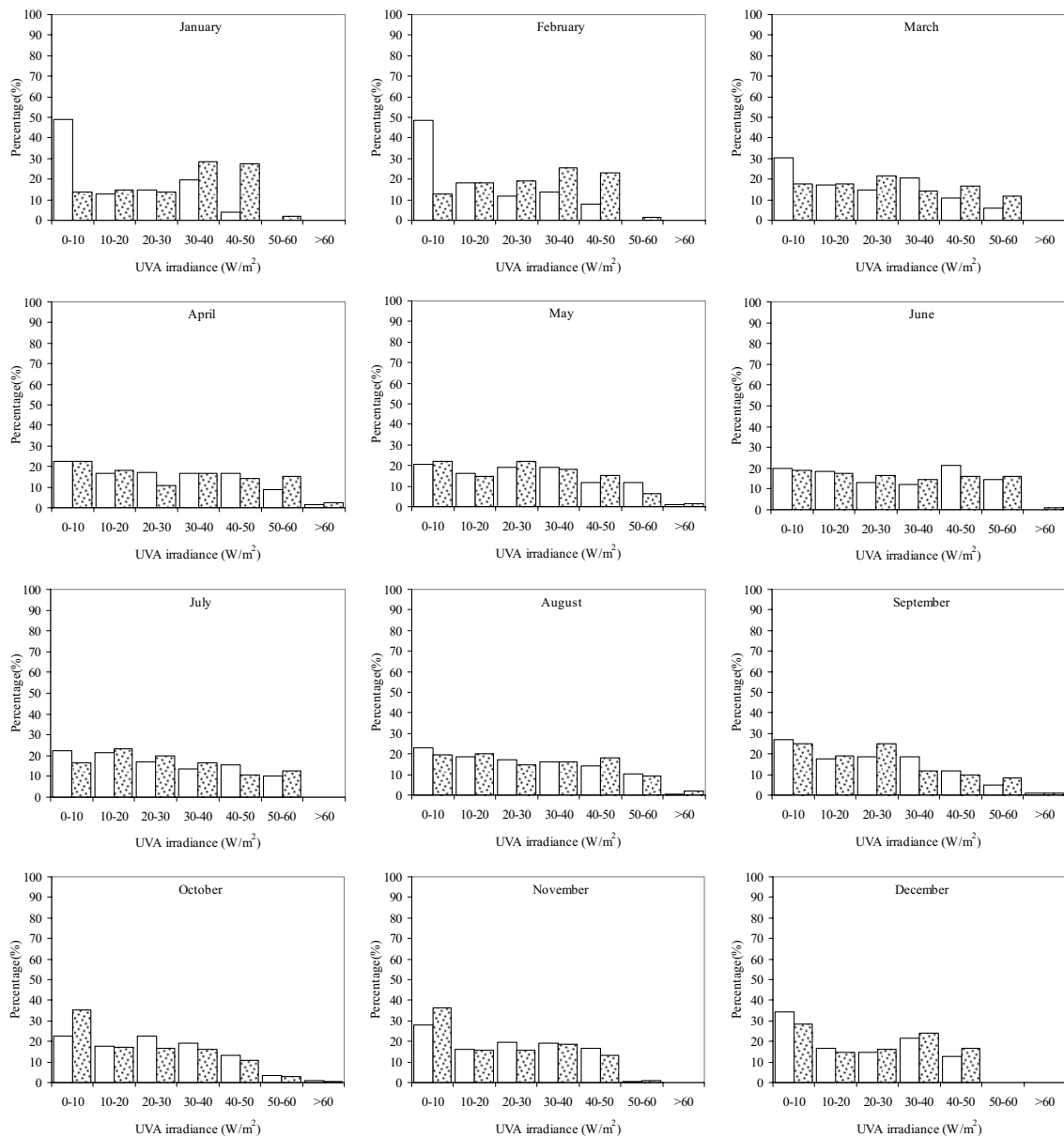
ในเดือนต่างๆ



รูปที่ 3.54 แสดงการแจกแจงเป็นเบอร์เซ็นต์ของค่าความเข้มรังสีอัลตราไวโอเลตบี (UVB) รายชั่วโมงในเดือนต่างๆ

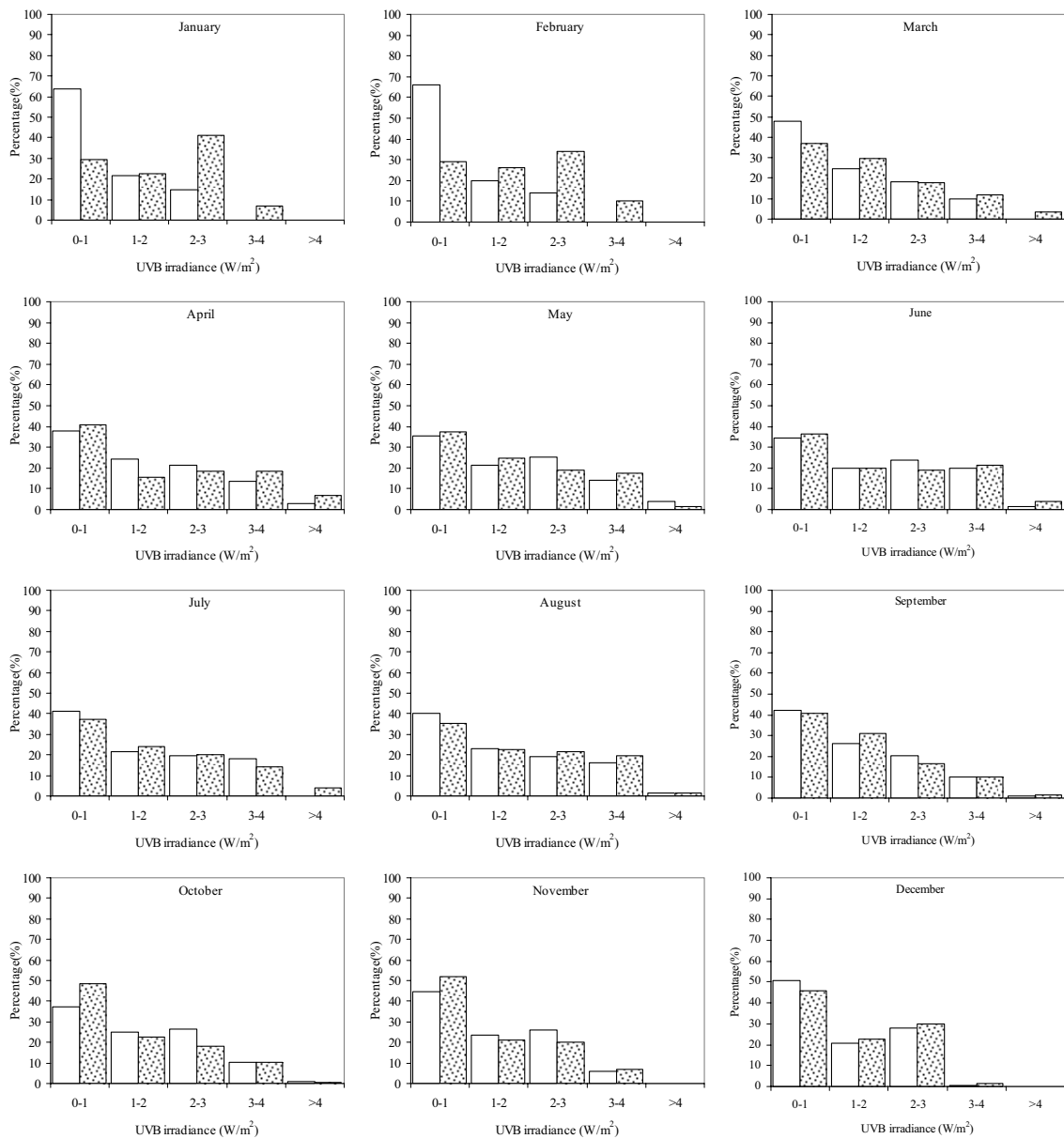


ภาพที่ 3.55 แสดงการแจกแจงเป็นปอร์เซ็นต์ของค่าความเข้มรังสีอัลตราไวโอเลตที่มีผลต่อผิวนั้น-
มนุษย์ (EUV) รายชั่วโมงในเดือนต่างๆ



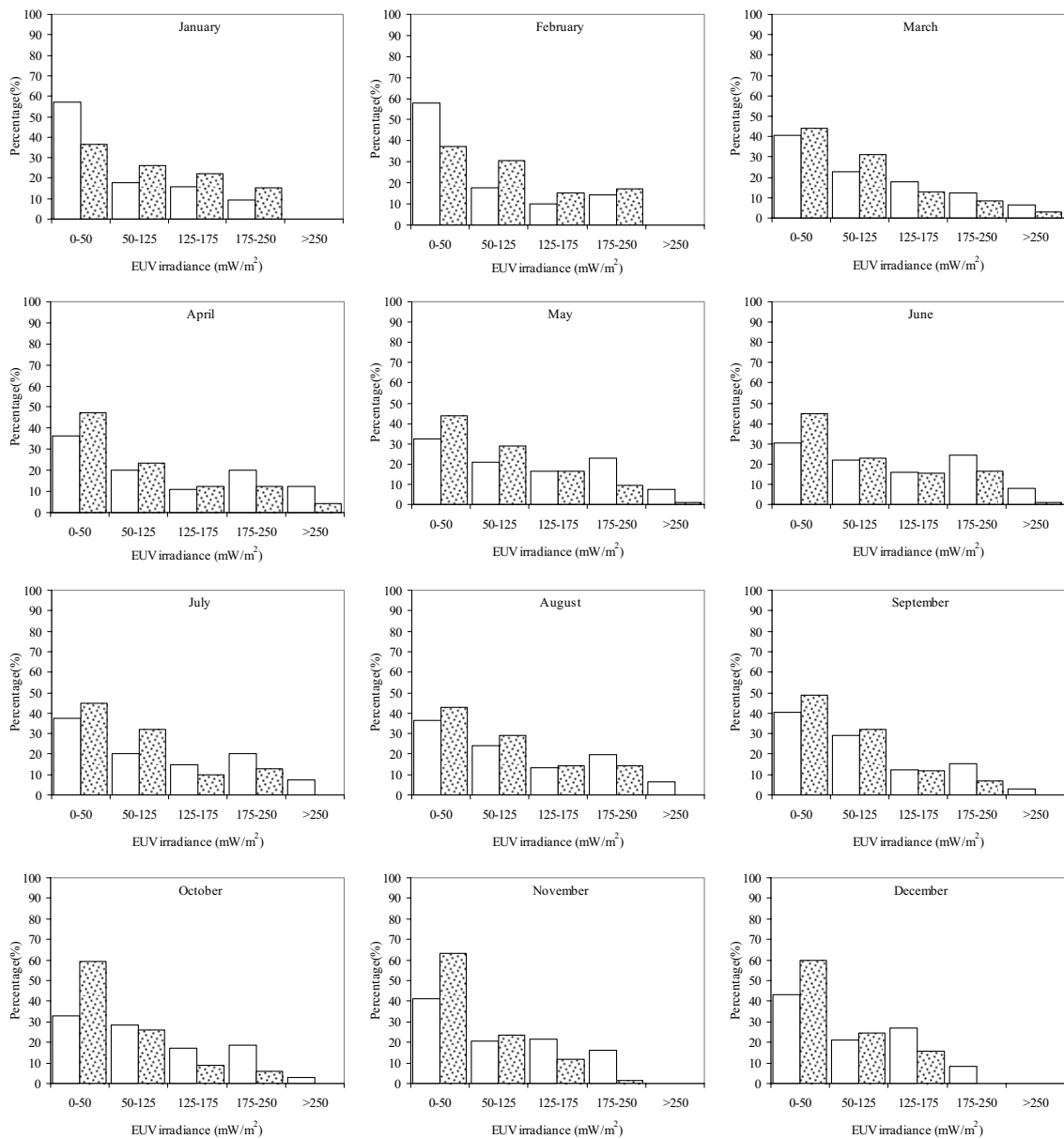
รูปที่ 3.56 แสดงการแจกแจงเป็นเบอร์เซนต์ของค่าความเข้มรังสีอัลตราไวโอเลตเอ (UVA) รายชั่วโมง (ช่วงเช้าและช่วงบ่าย)

morning (6:00-12:00) afternoon (12:00-18:00)



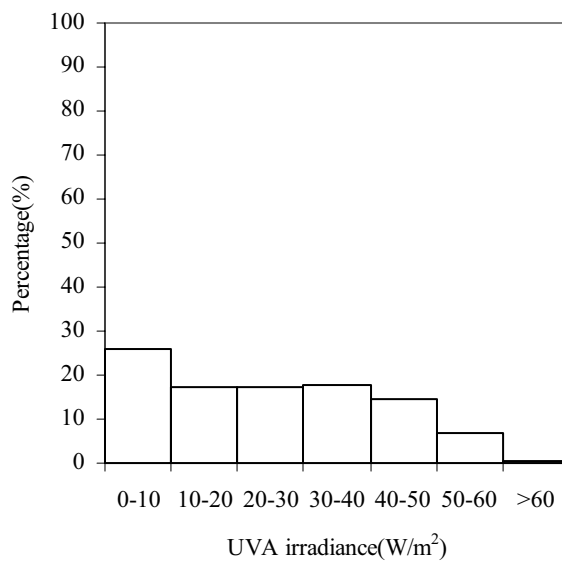
รูปที่ 3.57 แสดงการแจกแจงเป็นปอร์เซนต์ของค่าความเข้มรังสีอัลตราไวโอเลตบี (UVB) รายชั่วโมง (ช่วงเช้าและช่วงบ่าย)

morning (6:00-12:00) afternoon (12:00-18:00)

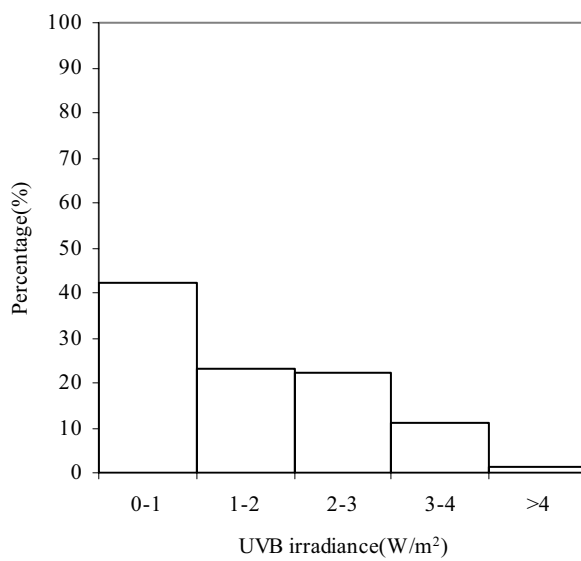


รูปที่ 3.58 แสดงการแจกแจงเป็นปอร์เช่นต์ของค่าความเข้มรังสีอัลตราไวโอลেตที่มีผลต่อผิวน้ำ-มนุษย์ (EUV) รายชั่วโมง (ช่วงเช้าและช่วงบ่าย)

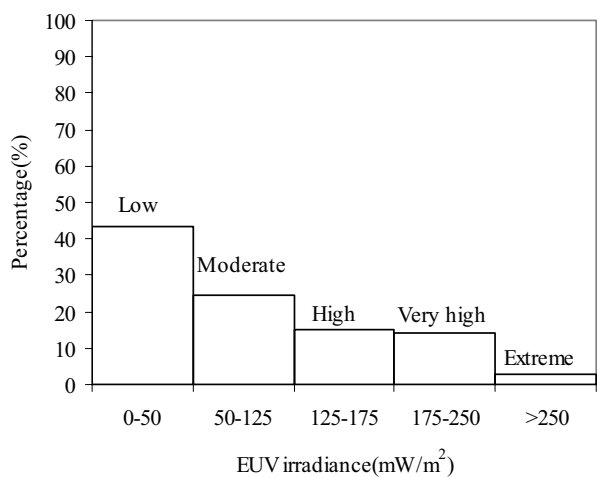
morning (6:00-12:00) afternoon (12:00-18:00)



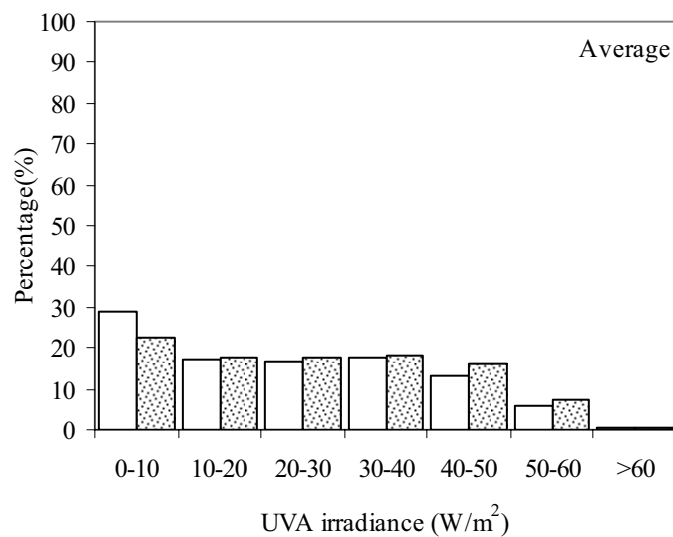
รูปที่ 3.59 แสดงการแจกแจงเป็นเบอร์เช็นต์ของค่ารังสีอัลตราไวโอเลตอย่างชั่วโมงตลอดทั้งปี



รูปที่ 3.60 แสดงการแจกแจงเป็นเบอร์เช็นต์ของค่ารังสีอัลตราไวโอเลตบีรายชั่วโมงตลอดทั้งปี

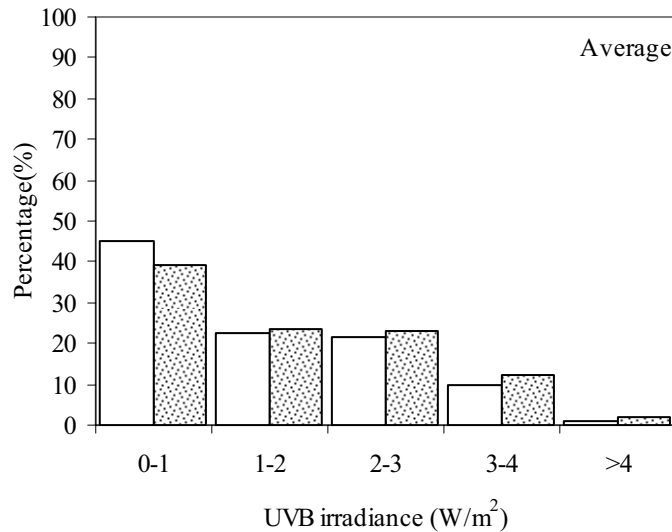


รูปที่ 3.61 แสดงการแจกแจงเป็นเบอร์เช็นต์ของค่ารังสีอัลตราไวโอลेटที่มีผลต่อผิวนังนุ่มรายชั่วโมงตลอดทั้งปี



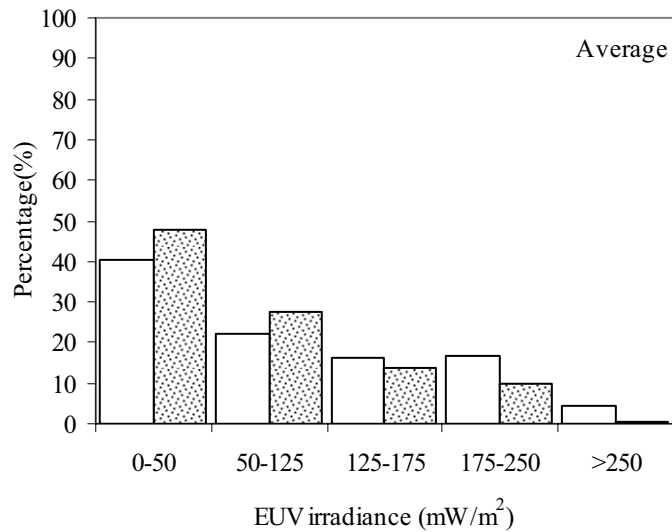
รูปที่ 3.62 แสดงการแจกแจงเป็นเบอร์เช็นต์ของค่าความเข้มรังสีอัลตราไวโอลे�ตเอ (UVA) รายชั่วโมงตลอดทั้งปี (ช่วงเช้าและช่วงบ่าย)

morning (6:00-12:00) afternoon (12:00-18:00)



รูปที่ 3.63 แสดงการแจกแจงเป็นเบอร์เช็นต์ของค่าความเข้มรังสีอัลตราไวโอลেตบี (UVB) รายชั่วโมงตลอดทั้งปี (ช่วงเช้าและช่วงบ่าย)

morning (6:00-12:00) afternoon (12:00-18:00)



รูปที่ 3.64 แสดงการแจกแจงเป็นเบอร์เช็นต์ของค่าความเข้มรังสีอัลตราไวโอลे�ตที่มีผลต่อผิวน้ำ汽 มนุษย์ (EUV) รายชั่วโมงตลอดทั้งปี (ช่วงเช้าและช่วงบ่าย)

morning (6:00-12:00) afternoon (12:00-18:00)

ตารางที่ 3.3 แสดงการแจกแจงเป็นเบอร์เซ็นต์ของค่าความเข้มรังสีอัลตราไวโอเลตเอ (UVA) รายชั่วโมง

Month	Percentage UVA%						
	0-10 (W/m ²)	10-20 (W/m ²)	20-30 (W/m ²)	30-40 (W/m ²)	40-50 (W/m ²)	50-60 (W/m ²)	>60 (W/m ²)
January	31.37	13.73	14.22	24.02	15.69	0.98	0.00
February	30.56	18.25	15.48	19.44	15.48	0.79	0.00
March	24.10	17.47	18.07	17.47	13.86	9.04	0.00
April	22.71	17.29	13.90	16.61	15.25	12.20	2.03
May	21.32	15.44	20.59	18.75	13.60	9.19	1.10
June	19.47	17.94	14.89	13.36	18.70	15.27	0.38
July	19.41	22.36	18.57	15.19	13.08	11.39	0.00
August	21.29	19.35	16.13	16.13	16.13	9.68	1.29
September	26.05	18.49	21.85	15.13	10.92	6.72	0.84
October	29.20	17.52	19.71	17.52	12.04	3.28	0.73
November	32.18	15.80	17.53	18.68	14.94	0.86	0.00
December	31.45	15.59	15.32	22.85	14.78	0.00	0.00
Average	25.76	17.44	17.19	17.93	14.54	6.62	0.53

ตารางที่ 3.4 แสดงการแจกแจงเป็นเปอร์เซ็นต์ของค่าความเข้มรังสีอัลตราไวโอเลตบี (UVB) รายชั่วโมง

Month	Percentage UVB %				
	0-1 (W/m ²)	1-2 (W/m ²)	2-3 (W/m ²)	3-4 (W/m ²)	>4 (W/m ²)
January	46.57	22.06	27.94	3.43	0.00
February	47.62	23.02	24.21	5.16	0.00
March	42.17	27.11	18.07	10.84	1.81
April	39.32	19.66	20.00	16.27	4.75
May	36.40	23.16	22.06	15.81	2.57
June	35.50	19.85	21.37	20.61	2.67
July	39.24	22.78	19.83	16.03	2.11
August	37.74	22.90	20.32	17.74	1.29
September	41.60	28.57	18.49	10.08	1.26
October	43.07	23.72	22.26	10.22	0.73
November	48.28	22.41	22.99	6.32	0.00
December	48.12	21.77	29.03	1.08	0.00
Average	42.13	23.09	22.21	11.13	1.43

ตารางที่ 3.5 แสดงการแจกแจงเป็นเบอร์เซ็นต์ของค่าความเข้มรังสีอัลตราไวโอเลตที่มีผลต่อ-
ผิวนังมุขย์ (EUV) รายชั่วโมง

Month	Percentage EUV %				
	Low	Moderate	High	Very high	Extreme
	0-50 (mW/m ²)	50-125 (mW/m ²)	125-175 (mW/m ²)	175-250 (mW/m ²)	>250 (mW/m ²)
January	48.53	21.08	18.63	11.76	0.00
February	49.21	23.02	12.30	15.48	0.00
March	42.17	26.51	15.66	10.84	4.82
April	40.99	21.55	11.66	16.96	8.83
May	37.13	24.26	16.54	17.28	4.78
June	36.26	22.14	15.65	20.99	4.96
July	40.51	25.32	12.66	17.30	4.22
August	39.03	26.13	13.55	17.42	3.87
September	44.12	30.25	12.18	11.76	1.68
October	43.80	27.37	13.50	13.50	1.82
November	50.57	21.84	17.53	10.06	0.00
December	50.27	22.58	22.31	4.84	0.00
Average	43.55	24.34	15.18	14.02	2.92

ตารางที่ 3.6 แสดงการแจกแจงเป็นเปอร์เซ็นต์ของค่าความเข้มรังสีอัลตราไวโอเลตเตอ (UVA) รายชั่วโมง (ช่วงเช้าและช่วงบ่าย)

Month	Percentage UVA %													
	0-10 (W/m ²)		10-20 (W/m ²)		20-30 (W/m ²)		30-40 (W/m ²)		40-50 (W/m ²)		50-60 (W/m ²)		>60 (W/m ²)	
	morning	afternoon	morning	afternoon	morning	afternoon	morning	afternoon	morning	afternoon	morning	afternoon	morning	afternoon
January	49.02	13.73	12.75	14.71	14.71	13.73	19.61	28.43	3.92	27.45	0.00	1.96	0.00	0.00
February	48.41	12.70	18.25	18.25	11.90	19.05	13.49	25.40	7.94	23.02	0.00	1.59	0.00	0.00
March	30.49	17.86	17.07	17.86	14.63	21.43	20.73	14.29	10.98	16.67	6.10	11.90	0.00	0.00
April	22.76	22.67	16.55	18.00	17.24	10.67	16.55	16.67	16.55	14.00	8.97	15.33	1.38	2.67
May	20.74	21.90	16.30	14.60	19.26	21.90	19.26	18.25	11.85	15.33	11.85	6.57	0.74	1.46
June	20.00	18.94	18.46	17.42	13.08	16.67	12.31	14.39	21.54	15.91	14.62	15.91	0.00	0.76
July	22.22	16.67	21.37	23.33	17.09	20.00	13.68	16.67	15.38	10.83	10.26	12.50	0.00	0.00
August	23.08	19.48	18.59	20.13	17.31	14.94	16.03	16.23	14.10	18.18	10.26	9.09	0.64	1.95
September	27.12	25.00	17.80	19.17	18.64	25.00	18.64	11.67	11.86	10.00	5.08	8.33	0.85	0.83
October	22.79	35.51	17.65	17.39	22.79	16.67	19.12	15.94	13.24	10.87	3.68	2.90	0.74	0.72
November	28.16	36.21	16.09	15.52	19.54	15.52	18.97	18.39	16.67	13.22	0.57	1.15	0.00	0.00
December	34.41	28.49	16.67	14.52	14.52	16.13	21.51	24.19	12.90	16.67	0.00	0.00	0.00	0.00
Average	29.10	22.43	17.30	17.57	16.73	17.64	17.49	18.38	13.08	16.01	5.95	7.27	0.36	0.70

ตารางที่ 3.7 แสดงการแจกแจงเป็นเปอร์เซ็นต์ของค่าความเข้มรังสีอัลตราไวโอเลตบี (UVB) รายชั่วโมง (ช่วงเช้าและช่วงบ่าย)

Month	Percentage UVB %									
	0-1 (W/m^2)		1-2 (W/m^2)		2-3 (W/m^2)		3-4 (W/m^2)		>4 (W/m^2)	
	morning	afternoon	morning	afternoon	morning	afternoon	morning	afternoon	morning	afternoon
January	63.73	29.41	21.57	22.55	14.71	41.18	0.00	6.86	0.00	0.00
February	65.87	29.37	19.84	26.19	14.29	34.13	0.00	10.32	0.00	0.00
March	47.56	36.90	24.39	29.76	18.29	17.86	9.76	11.90	0.00	3.57
April	37.93	40.67	24.14	15.33	21.38	18.67	13.79	18.67	2.76	6.67
May	35.56	37.23	21.48	24.82	25.19	18.98	14.07	17.52	3.70	1.46
June	34.62	36.36	20.00	19.70	23.85	18.94	20.00	21.21	1.54	3.79
July	41.03	37.50	21.37	24.17	19.66	20.00	17.95	14.17	0.00	4.17
August	40.38	35.06	23.08	22.73	19.23	21.43	16.03	19.48	1.28	1.30
September	42.37	40.83	26.27	30.83	20.34	16.67	10.17	10.00	0.85	1.67
October	37.50	48.55	25.00	22.46	26.47	18.12	10.29	10.14	0.74	0.72
November	44.83	51.72	23.56	21.26	25.86	20.11	5.75	6.90	0.00	0.00
December	50.54	45.70	20.97	22.58	27.96	30.11	0.54	1.61	0.00	0.00
Average	45.16	39.11	22.64	23.53	21.43	23.01	9.86	12.40	0.91	1.95

ตารางที่ 3.8 แสดงการแจกแจงเป็นเปอร์เซ็นต์ของค่าความเข้มรังสีอัลตราไวโอเลตที่มีผลต่อผิวนังมนุษย์ (EUV) รายชั่วโมง (ช่วงเช้าและช่วงบ่าย)

Month	Percentage EUV%									
	0-50 (mW/m ²)		50-125 (mW/m ²)		125-175 (mW/m ²)		175-250 (mW/m ²)		>250 (mW/m ²)	
	Low		Moderate		High		Very high		Extreme	
	morning	afternoon	morning	afternoon	morning	afternoon	morning	afternoon	morning	afternoon
January	57.14	36.47	17.65	25.88	15.97	22.35	9.24	15.29	0.00	0.00
February	57.82	37.14	17.69	30.48	10.20	15.24	14.29	17.14	0.00	0.00
March	40.63	44.29	22.92	31.43	17.71	12.86	12.50	8.57	6.25	2.86
April	36.20	47.50	20.25	23.33	11.04	12.50	20.25	12.50	12.27	4.17
May	32.28	43.86	20.89	28.95	16.46	16.67	22.78	9.65	7.59	0.88
June	30.26	44.55	21.71	22.73	15.79	15.45	24.34	16.36	7.89	0.91
July	37.23	45.00	20.44	32.00	14.60	10.00	20.44	13.00	7.30	0.00
August	36.26	42.97	24.18	28.91	13.19	14.06	19.78	14.06	6.59	0.00
September	40.58	49.00	28.99	32.00	12.32	12.00	15.22	7.00	2.90	0.00
October	32.70	59.13	28.30	26.09	16.98	8.70	18.87	6.09	3.14	0.00
November	41.38	63.45	20.69	23.45	21.67	11.72	16.26	1.38	0.00	0.00
December	43.32	60.00	21.20	24.52	27.19	15.48	8.29	0.00	0.00	0.00
Average	40.48	47.78	22.07	27.48	16.09	13.92	16.85	10.09	4.50	0.73

บทที่ 4

สรุป

ในงานวิจัยนี้ผู้วิจัยได้ทำการศึกษาความเข้มรังสีอัลตราไวโอเลตแบบスペกตรัมโดยใช้เครื่อง spectroradiometer (Bentham, DMC150) ที่สถานีวัดมหาวิทยาลัยศิลปากร จังหวัดนครปฐม (13.82°N, 100.04°E) ผู้วิจัยได้ใช้ข้อมูลระยะยาว 1 ปี ตั้งแต่เดือนกรกฎาคม 2551 ถึงเดือนธันวาคม 2551 โดยผู้วิจัยได้ศึกษาการแปรค่าตามเวลาในรอบวันของスペกตรัมรังสีอัลตราไวโอเลตที่ความยาวคลื่น 305, 310, 315, 320, 340 และ 380 nm ซึ่งเป็นความยาวคลื่นหลักของรังสีอัลตราไวโอเลต และการศึกษาพบว่า ความเข้มスペกตรัมรังสีอัลตราไวโอเลตมีค่าสูงสุดตอนเที่ยงวัน (solar noon) จากนั้นได้ศึกษาการแปรค่าตามความยาวคลื่นของความเข้มของスペกตรัมรังสีอัลตราไวโอเลตที่มุม เช่นของดวงอาทิตย์ค่าต่างๆ โดยพบว่าความเข้มรังสีอัลตราไวโอเลตจะเพิ่มขึ้นตามความยาวคลื่น และมีค่าเพิ่มขึ้นเมื่อมุมเช่นของดวงอาทิตย์มีค่าลดลง ในขั้นตอนถัดมาผู้วิจัยได้ทำการอินทิเกรตスペกตรัมรังสีอัลตราไวโอเลตใน 3 ช่วงความยาวคลื่น ได้แก่ ช่วงคลื่นรังสีอัลตราไวโอเลตเอ (UVA, 320 – 400 nm) รังสีอัลตราไวโอเลตบี (UVB, 280 – 320 nm) และ รังสีอัลตราไวโอเลตที่มีผลกระแทบท่อพิวหนังมนุษย์ (EUV, 280 – 320 nm) จากนั้นได้ศึกษาการแปรค่าในรอบวันและในรอบปี ของ UVA, UVB และ EUV ผลการศึกษาพบว่า UVA, UVB และ EUV มีความแปรปรวนมาก ยกเว้นเดือนกรกฎาคมและเดือนธันวาคมซึ่งมีความแปรปรวนน้อย การแปรค่าเฉลี่ยรายเดือนของรังสี UVA และ UVB จะมีค่าเพิ่มขึ้นตามลำดับจากเดือนกรกฎาคมและมีค่าสูงสุดในเดือนมิถุนายนและหลังจากนั้นจะมีค่าลดลงจนกระทั่งมีค่าน้อยสุดในเดือนธันวาคม ในขณะที่ปริมาณรังสี EUV จะมีค่าสูงสุดอยู่ในเดือนเมษายน

จากการแจกแจงความถี่ค่าความเข้มรังสีอัลตราไวโอเลตทั้ง 3 ชนิด พบว่าปอร์เซ็นต์ความถี่ส่วนใหญ่จะเป็นของความเข้มรังสีอัลตราไวโอเลตน้อยๆ และปอร์เซ็นต์ความถี่จะลดลงเมื่อความเข้มรังสีอัลตราไวโอเลตมีค่าเพิ่มขึ้น เมื่อแยกพิจารณาช่วงเช้าและช่วงบ่าย พบว่าค่า EUV ในระดับ Low และ Moderate (Index <6) ช่วงบ่าย (12.00-18.00 น.) จะมีปริมาณในมากกว่าในช่วงเช้า (06.00 – 12.00 น.) แต่ในระดับ High(125 – 175 mW/m²) - Extreme(มากกว่า 250 mW/m²) ในช่วงเช้าจะมีปริมาณมากกว่าในช่วงบ่าย โดยตลอดทั้งปีจะมีปริมาณ EUV ในระดับ High Very high และ Extreme มีค่าเท่ากับ 15.2% 14.0% และ 2.9% ตามลำดับ

เนื่องจากข้อมูลที่นำมาใช้ในการวิเคราะห์ทางสถิตินี้ได้มากจากจังหวัดนครปฐมซึ่งเป็นจังหวัดที่อยู่ในภาคกลางของประเทศไทย ดังนั้นจึงคาดว่าผลที่ได้มาจะสามารถนำไปใช้เป็นข้อมูลตัวแทนในเขตภาคกลางได้

ในปัจจุบันการวัดสเปกตรัมรังสีอัลตราไวโอลেตในประเทศไทยยังมีอยู่น้อยมาก ดังนั้นผู้วิจัยจึงขอเสนอแนะว่าควรจัดตั้งสถานีวัดสเปกตรัมรังสีอัลตราไวโอลเลตเพิ่มเติมโดยอย่างน้อยควรมีการวัดในภูมิภาคหลัก ภูมิภาคละ 1 แห่ง ทั้งนี้เพื่อใช้เป็นข้อมูลที่เป็นตัวแทนของแต่ละภาค สำหรับใช้ในการศึกษาผลกระทบของรังสีอัลตราไวโอลเลตที่มีต่อสุขภาพมนุษย์และสิ่งแวดล้อม ต่อไป

បររលាយករណ

- Adam, M. E-N., El Shazly, S.M. Attenuation of UV-B radiation in the atmosphere: Clouds effect, at Qena (Egypt), Atmospheric Environment 41, 4856-4864, 2007
- Casiccia, C., Kirchhoff, V.W.J.H., Torres, A. Simultaneous measurements of ozone and ultraviolet radiation : spring 2000, Punta Arenas, Chile, Atmospheric Environment 37, 383-389, 2003
- CIE, A reference action spectrum for ultraviolet induced erythema in human skin, Research note, International Commission on Illumination, vol. 6, No. 1, 1987.
- Frederick, J.E., Soulen, P.F., Diaz, S.B., Smolskaia, I., Booth, C.R., Lucas, T., Neuschuler, D. Solar ultraviolet irradiance observed from southern Argentina: September 1990 to March 1991, Journal of Geophysical Research 98, 8891-8897, 1993.
- Feister, U., Gericke, K. Cloud flagging of UV spectral irradiance measurements, Atmospheric Research 49, 115-138, 1998.
- Guarnieri, R.A., Padilha, L.F., Guarnieri, F.L., Echer, E., Makita, K., Pinheiro, D.K., Schuch, A.M.P., Boeira, L.S., Schuch, N.J. A study of the anticorrelations between ozone and UV-B radiation using linear and exponential fits southern Brazil, Advances in Space Research 34, 764-768, 2004.
- Gurney, K.R. Evidence for increasing ultraviolet irradiance at Point Barrow, Geophysical Research Letters 25, 903-906, 1998.
- Gutiérrez-Marco, E., Hernández, E., Camacho, J.L., Labajo, A. Analysis of UVB values in the centre of the Iberian Peninsula, Atmospheric Research 84, 345-352, 2007.
- Harrison, G.I., Young, A.R. Ultraviolet radiation-induced erythema in human skin, Methods 28, 14-19, 2002.
- Iqbal, M, An Introduction to Solar Radiation, Academic Press, New York, 1983.
- Kikas, Ü., Reinart, A., Vaht, M., Veismann, U. A case study of the impact of Boundary layer aerosol size distribution on the surface UV irradiance, Atmospheric Environment 35, 5041-5055, 2001.

- Lam, K.S., Ding, A., Chan, L.Y., Wang, T., Wang, T.J. Ground-base measurements of total ozone and UV radiation by the Brewer spectrophotometer #115 at Hong Kong, *Atmospheric Environment* 36, 2003-2012, 2002.
- Lovengreen, C., Fuenzalida, H., Villanueva, L. Ultraviolet solar radiation at Valdivia, Chile (39.8 °S), *Atmospheric Environment* 34, 4051-4061, 2000.
- Madronich, S., McKenzie, R.L., Björn, L.O., Caldwell, M.M. Changes in biologically active ultraviolet radiation reaching the Earth's surface, *Journal of Photochemistry and photobiology B: Biology* 46, 5-19, 1998.
- Orce, V.L., Helbling, E.W. latitudinal UVR-PAR measurements in Argentina: extent of the ozone hole, *Global and Planetary Change* 15, 113-121, 1997.
- Palanca, G.G., Toselli, B.M., Erythemal ultraviolet irradiance in Córdoba, Argentina, *Atmospheric Environment* 36, 278-292, 2002.
- Seckmeyer, G., Mayer, B., Bernhard, G., Erb, R., Albold, A., Jager, H., Stockwell, W.R. New maximum UV irradiance levels observed in central Europe, *Atmospheric Environment* 31, 2971-2976, 1997.
- Steinmetz, M. Continuous solar UV monitoring in Germany, *Journal of Photochemistry and photobiology B: Biology* 41, 181-187, 1997.
- Stick, C., Krüger, K., Schade, N.H., Sandmann, H., Macke, A. Episode of unusual high solar ultraviolet radiation over central Europe due to dynamical reduced total ozone in May 2005, *Atmospheric Chemistry and Physics* 6, 1771-1776, 2006.
- Tevini, M. UV-B radiation and Ozone Depletion: effects on humans, animals, plants, microorganisms, and materials, Lewis Publishers, America, 1993.
- Thorseth, T. M., Solar Ultraviolet irradiance measurements, instrumentation, intercomparison, and interpretations, Norwegian University of Science and Technolog (NTNU), 2000.
- Webb, A. R., UVB Instrumentalton and Applications, Gordon and Breach Science Publishers, Amterdam, Netherland, 1998.
- WMO, Seckmeyer, G. Instruments to measure solar ultraviolet radiation Part 1: Spectral instrument, GAW Rep. 125.

กีรติ เกิดศิริ. 2548, “การศึกษาลักษณะทางสติ๊ติและแบบจำลองของรังสีอัลตราไวโอลেตจากดวงอาทิตย์ที่มีผลต่อผิวนังมนุษย์ในประเทศไทย” รายงานการศึกษาวิชาการศึกษารายบุคคล ภาควิชาฟิสิกส์ คณะวิทยาศาสตร์ มหาวิทยาลัยศิลปากร.

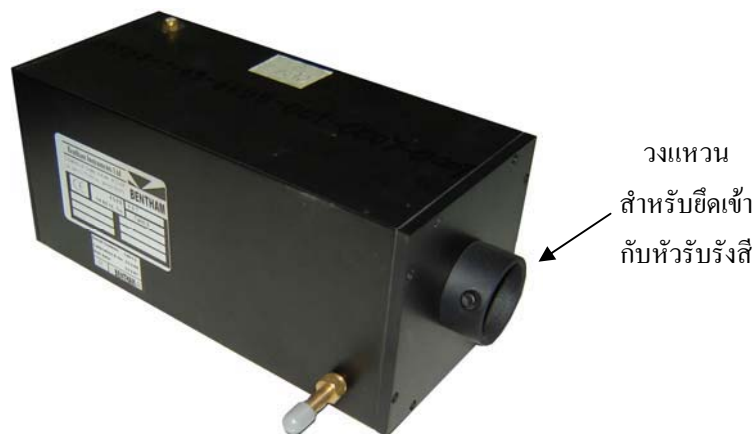
พิพวรรณ สุชา. 2539, “การศึกษาลักษณะทางสติ๊ติของรังสีอัลตราไวโอลেตซึ่งวัดที่จังหวัดนครปฐม.” รายงานการศึกษาวิชาการศึกษารายบุคคล สาขาวิชาฟิสิกส์ ภาควิชาฟิสิกส์ คณะวิทยาศาสตร์ มหาวิทยาลัยศิลปากร.

สุนามาลย์ บรรเทิง. 2543, “การศึกษาลักษณะทางสติ๊ติของความเข้มรังสีอัลตราไวโอลেตรายชั่วโมง และรายวันซึ่งวัดที่สถานีวัดจังหวัดนครปฐม” รายงานการศึกษาวิชาการศึกษารายบุคคล ภาควิชาฟิสิกส์ คณะวิทยาศาสตร์ มหาวิทยาลัยศิลปากร.

ภาคผนวก 1
วิธีการสอบเทียบ spectroradiometer

วิธีการสอบเทียบ spectroradiometer

ในการสอบเทียบเครื่องมือวัด spectroradiometer (Bentham, DMc150) ที่ใช้ในงานวิจัยนี้ จะใช้หลอดมาตรฐานจากบริษัท Bentham รุ่น CL7 (deuterium lamp) (รูป A1.1) ที่ได้รับการสอบเทียบตรงตามมาตรฐานของ National Physical Laboratory (NPL Teddington UK) มาใช้ทำการสอบเทียบที่สถานีวัดอาคารวิทยาศาสตร์ จังหวัดนครปฐม



รูป A1.1 แสดงหลอดมาตรฐานสำหรับการสอบเทียบเครื่องวัด spectroradiometer Bentham DMc150

CL7 จะมีวงแหวนสำหรับ拴ต่อเข้ากับหัวรับรังสีเพื่อใช้ในการยึดจับหัวรับรังสีกับหลอดมาตรฐาน ทำให้ระยะระหว่างไส้หลอดกับหัวรับรังสีอยู่ในระยะพอดีและทำให้แนวระหว่างไส้หลอดมาตรฐานกับกึ่งกลางหัวรับรังสีตรงกัน โดยที่หลอดมาตรฐานนี้จะถูกควบคุมด้วย 705 p.s.u. (รูป A1.2)



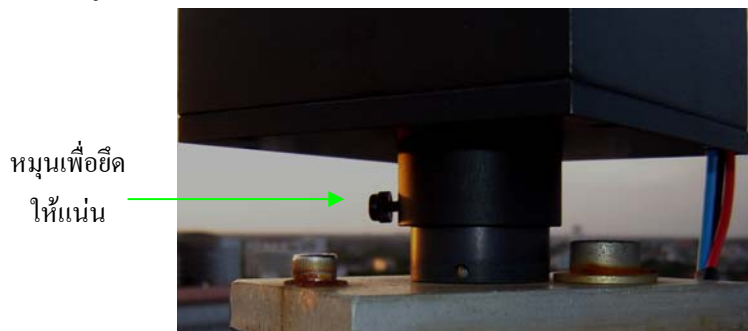
รูป A1.2 แสดงแหล่งจ่ายไฟ 705 p.s.u. สำหรับควบคุมหลอดมาตรฐาน CL7

ขั้นตอนสำหรับการต่อสายไฟจากแหล่งจ่ายไฟเข้ากับหัววัดรังสี ดังรูป A1.3 โดยต่อสายไฟเข้ากับช่องเสียบที่มีสีเดียวกับสายไฟ (คำ – CATHODE, แดง – ANODE, น้ำเงิน – HEATER)



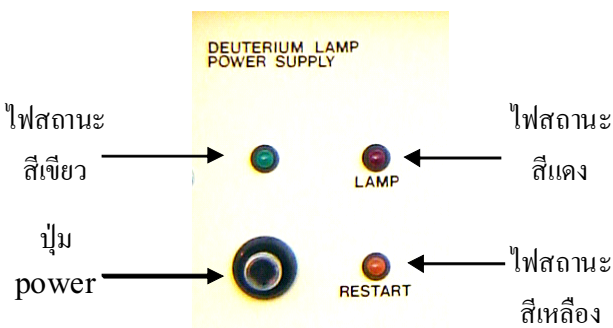
รูป A1.3 แสดงการต่อสายไฟจากแหล่งจ่ายไฟเข้ากับหลอดมาตรฐาน

2. ต่อหลอดมาตรฐานเข้ากับหัววัดรังสีโดยใช้วงแหวนด้านหน้าขีดเข้าไว้กับหัวรับรังสี ดังรูป A1.4



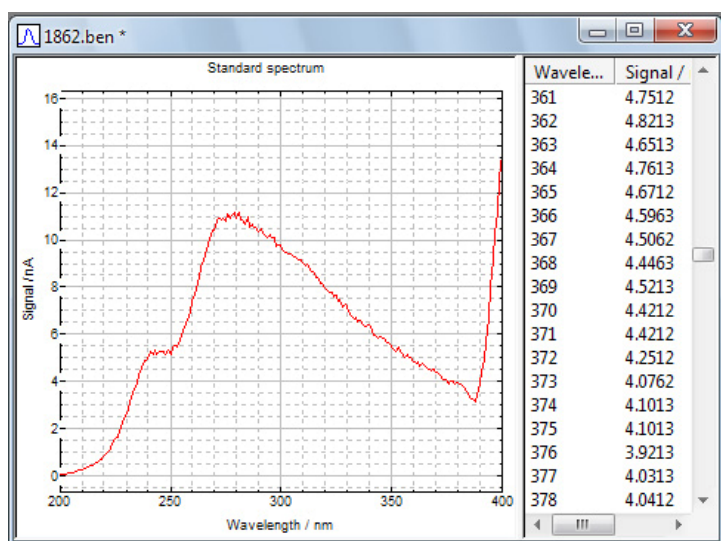
รูป A1.4 แสดงการยึดหลอดมาตรฐานเข้ากับหัวรับรังสี

3. เสียบสายไฟของ 705 p.s.u. เข้ากับไฟบ้าน 220 V (สำหรับประเทศไทย)
4. กดปุ่ม power เพื่อเปิดเครื่อง สังเกตว่าไฟสีแดงที่หน้าปัดเครื่องจะสว่างประมาณ 1 นาที และจะเปลี่ยนเป็นไฟสีเขียว (ถ้าเปิดเครื่องมาแล้วไฟสีเหลืองสว่างแสดงว่าต่อสายไฟด้านหลังไม่แน่นหรือต่อสายผิด ให้ทำการต่อสายใหม่) หน้าปัดของแหล่งจ่าย 705 p.s.u. แสดงดังรูป A1.5



รูป A1.5 แสดงแผงหน้าปัดของแหล่งจ่ายไฟ 705 p.s.u.

5. เมื่อไฟสีเขียวสว่างแล้วรอ 20 นาที เพื่อให้หลอดมาตรฐานปล่อยแสงอัลตราไวโอลেตที่คงที่แล้วจึงทำการวัดスペกตรัมหลอดมาตรฐาน โดยควบคุมจากเครื่องคอมพิวเตอร์ ให้ทำการวัดที่ step size 1 nm หรือน้อยกว่า ตัวอย่างค่าการวัดแสดงดังรูป A1.6

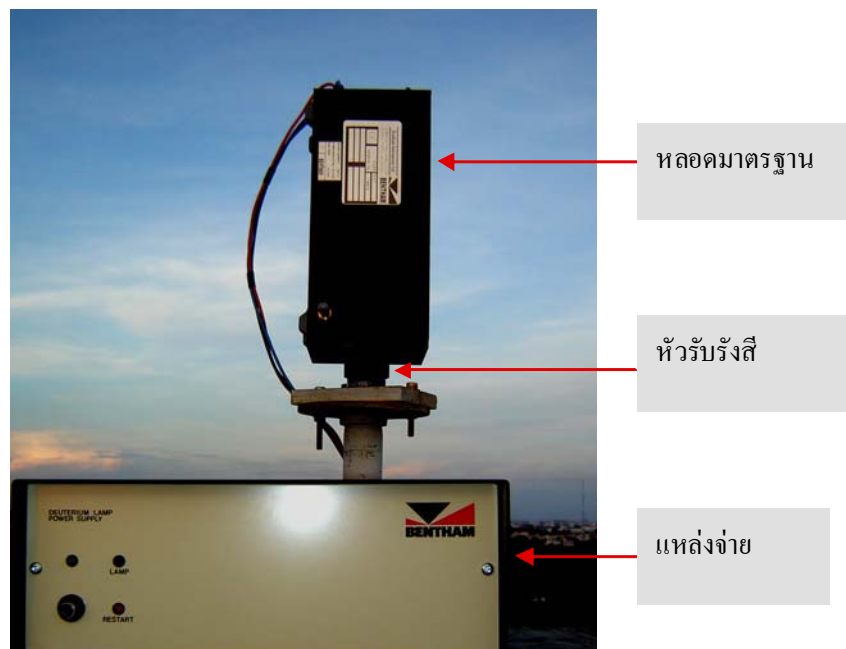


รูป A1.6 แสดงกราฟค่าสัญญาณไฟฟ้าจากการวัดスペกตรัมของหลอดมาตรฐาน

6. ควรทำซ้ำอย่างน้อย 2 รอบ เพื่อพิจารณาค่าจากการวัด เนื่องจากหลอด Deuterium มี สัญญาณความเข้มรังสีอัลตราไวโอเลตที่ไม่รวมเรียบจึงทำการวัดหลายๆ ครั้งเพื่อ หาค่าเฉลี่ย
7. หลังจากที่ได้สัญญาณจากหลอดมาตรฐานแล้วจะต้องทำการแปลงให้เป็นค่า sensitivity ด้วยค่าความเข้มสเปกตรัมรังสีอัลตราไวโอเลตที่ได้มาจากการวัดที่เป็นการ เสริจสิ้นขั้นตอนการสอบเทียบเครื่อง spectroradiometer

การสอบเทียบเครื่อง spectroradiometer ควรกระทำอย่างเป็นประจำ อย่างน้อยทุก 1 ปี สำหรับการสอบเทียบค่าตอบสนองต่อสัญญาณการวัด (sensitivity)

ในการเก็บรักษาหลอดมาตรฐานสำหรับการสอบเทียบจำเป็นต้องเก็บรักษาเป็นอย่างดี โดย จะทำการเก็บรักษาไว้ในตู้ที่มีประตูปิดมิดชิดและควบคุมอุณหภูมิ



รูป A1.7 แสดงตัวอย่างการสอบเทียบเครื่อง spectroradiometer ที่สถานีวัดมหาวิทยาลัยศิลปากร จังหวัดนครปฐม

ภาคผนวก 2
แบบจำลองการถ่ายเทรังสี UVSPEC

การใช้งานแบบจำลองการถ่ายเทรังสี UVSPEC

แบบจำลองการถ่ายเทรังสี (radiative transfer model) เป็นแบบจำลองที่พัฒนาขึ้นโดย Chandrasekhar (1960) สำหรับคำนวณค่าความเข้มรังสีคงอัธิศูนย์ในช่วงความยาวคลื่นแสงสว่าง ถึงความยาวคลื่นรังสีอัลตราไวโอเลตบี โดยจะเป็นการจำลองการแผ่รังสีคงอัธิศูนย์ที่ลงมาซึ่งพื้นโลก ซึ่งมีแนวความคิดว่า เมื่อรังสีคงอัธิศูนย์ผ่านบรรยากาศที่เป็นตัวกลางลงมาสู่พื้นโลก จะมี interaction กับตัวกลาง ซึ่งในที่นี้คือบรรยากาศโลกด้วย 2 ขบวนการ คือ extinction process และ emission process ซึ่ง extinction process จะเป็นสาเหตุที่ทำให้ความเข้มรังสีคงอัธิศูนย์ที่ลงมาสู่พื้นโลกมีค่าลดลงอันเนื่องมาจากการดูดกลืน (absorption) และการกระเจิงของโนเมกุลอากาศ เมฆ (scattering) และผู้นละองที่อยู่ในบรรยากาศ สำหรับ emission process จะทำให้ความเข้มรังสีคงอัธิศูนย์มีค่าเพิ่มขึ้น ซึ่งสามารถเขียนสมการแสดงการเปลี่ยนแปลงของ specific intensity ได้ดังนี้

$$\mu \frac{dU_v(\tau_v, \mu, \phi)}{d\tau} = U_v(\tau_v, \mu, \phi) - S_v(\tau_v, \mu, \phi) \quad (\text{A 2.1})$$

เมื่อ	$U_v(\tau_v, \mu, \phi)$	= specific intensity ในทิศ μ, ϕ ที่ความลึกเชิงแสง (optical depth) τ
S_v		= source function
τ_v		= ความลึกเชิงแสง
μ		= cosine ของมุมเชนิช (zenith angle)
ϕ		= มุมอาซิมูช (azimuth angle)
v		= ความถี่ของคลื่นแม่เหล็กไฟฟ้า

สมการข้างบนจะเรียกว่า radiative transfer equation ซึ่งจะเป็นสมการพื้นฐานสำหรับนำมาใช้ในการคำนวณความเข้มรังสีคงอัธิศูนย์ สำหรับวิธีการในการแก้สมการการถ่ายเทรังสี (radiative transfer equation) จะต้องใช้วิธีการเชิงตัวเลข (numerical method) โดยมีแนวความคิดว่า บรรยากาศประกอบไปด้วยชั้นระนาบที่นานกันหลาย ๆ ชั้น ซึ่งในแต่ละชั้นจะมีคุณสมบัติขององค์ประกอบของบรรยากาศที่เหมือนกัน อัธิเช่น อุณหภูมิ ความกดอากาศ ค่าความลึกเชิงแสง เป็นต้น ซึ่งวิธีการเชิงตัวเลขที่ใช้มีหลายวิธีด้วยกันได้แก่

1. Two - stream approximation

2. Discrete - ordinate method (DISORT)
3. Adding - doubling method
4. Monte Carlo method
5. Spherical Harmonic Discrete method (SHDOM)
6. Eddington and Delta - Eddington approximation

วิธีที่นิยมใช้กันทั่วไปในงานวิจัยด้านรังสีอัลตราไวโอลেตคือ Discrete - ordinate method (DISORT) ซึ่งพัฒนาโดย Stamnes และคณะ (1988) หลังจากนั้น Mayer et. al (1997) จึงได้พัฒนาโปรแกรมคอมพิวเตอร์ (computer code) ซึ่งมีชื่อว่า UVSPEC สำหรับช่วยในการคำนวณ ซึ่งโปรแกรมนี้ได้รับการทดสอบจากนักวิจัยต่างๆ (Zeng et. al, 1994) และใช้กันอย่างแพร่หลาย ในงานด้านรังสีอัลตราไวโอลেต ในการใช้งานโปรแกรม UVSPEC ค่าตั้งต้น (input) ที่จะต้องใส่ลงในโปรแกรมได้แก่ วันในรอบปี (Julian day) มุม zenith (zenith angle) สเปกตรัมรังสีดวงอาทิตย์ (solar spectrum file) ปริมาณโอโซน ค่าสัมประสิทธิ์การสะท้อนของพื้นผิวโลก (surface albedo) ค่าความยาวคลื่น (wavelength) ข้อมูลสเปกตรัมรังสีดวงอาทิตย์นอกบรรยากาศโลก (extraterrestrial spectrum data) ชนิดและฤดูกาลของฝุ่นละออง (aerosol type and aerosol season) ค่าทัศนวิสัย ค่าความสูงสำหรับการคำนวณค่าความเข้มรังสีดวงอาทิตย์

output ที่ได้จากแบบจำลอง UVSPCE คือ

- ค่าความยาวคลื่น (lambda)
- ค่าความเข้มรังสีตรงของรังสีอัลตราไวโอลे�ตบีที่ลงมายังพื้นผิวโลก (edir)
- ค่าความเข้มรังสีกระจายของรังสีอัลตราไวโอลे�ตบีที่ลงมา�ังพื้นผิวโลก (edn)
- ค่าความเข้มรังสีกระจายของรังสีอัลตราไวโอลेतบีที่สะท้อนกลับสู่บรรยากาศ (eup)
- ค่าความเข้มรังสีอัลตราไวโอลे�ตบีเฉลี่ย (uavg)
- ค่าความเข้มรังสีตรงของรังสีอัลตราไวโอลेतบีสำหรับความเข้มรังสีเฉลี่ย (uavgdir)
- ค่าความเข้มรังสีกระจายของรังสีอัลตราไวโอลेतบีเฉลี่ยที่ลงมา�ังพื้นผิวโลก (uavgdn)
- ค่าความเข้มรังสีกระจายของรังสีอัลตราไวโอลे�ตบีเฉลี่ยที่สะท้อนกลับสู่บรรยากาศ (uavgup)

ดังนั้นความเข้มรังสีอัลตราไวโอลেตบีทั้งหมดที่ลงมาข้างพื้นผิวโลก จะมีค่าเท่ากับ ผลกระทบของค่าความเข้มรังสีตรงของรังสีอัลตราไวโอลেตบีที่ลงมาข้างพื้นผิวโลกกับค่าความเข้มรังสีกระเจายของรังสีอัลตราไวโอลেตบีที่ลงมาข้างพื้นผิวโลก ดังสมการ

$$\text{irr_down} = \text{edir} + \text{edn}$$

ตัวอย่าง input ของโปรแกรม UVSPEC

```
data_files_path data/
atmosphere_file data/atmmod/afglt.dat
solar_file data/solar_flux/apm_1nm
albedo 0.05
day_of_year 1
sza 32.57
ozone_column 270.5
wvn 280.0 400.0
rte_solver disort
deltam on
nstr 6
aerosol_vulcan 1
aerosol_haze 6
aerosol_season 1
aerosol_visibility 7
```

เมื่อ data_files_path = ระบุตำแหน่งไฟล์ข้อมูลที่นำมาใช้งานในการ run โปรแกรม
atmosphere_file = ข้อมูล profile ของบรรยากาศ
solar_file = ไฟล์สเปกตรัมรังสีดวงอาทิตย์ของบรรยากาศโลก
albedo = ค่าสัมประสิทธิ์การสะท้อนของพื้นผิวโลก
wvn = ช่วงความยาวคลื่นที่ต้องการจะทำการคำนวณค่าความเข้มรังสีดวงอาทิตย์
rte_solver = วิธีการที่เลือกใช้ในการแก้สมการการถ่ายเทรังสี
deltam = Delta – M scaling
nstr = จำนวน stream ที่ใช้ในการการถ่ายเทรังสี
zout = ค่าความสูงของจากพื้นดินที่จะให้ทำการคำนวณค่าความเข้มรังสีดวงอาทิตย์ (km.)

aerosol_vulcan = condition ของฝุ่นละอองที่ความสูงเหนือ 2 กม.
 aerosol_haze = ชนิดของฝุ่นละอองที่ความสูงต่ำกว่า 2 กม.
 aerosol_season = กำหนดฤดูกาลที่จะนำมาใช้กับ profile ของฝุ่นละออง
 aerosol_visibility = ค่าทัศนวิสัย (กม.)
 ozone_column = ปริมาณโอโซน (ชม.)
 day_of_year = Julian day เช่น วันที่ 1 ม.ค. จะได้ค่า Julian day เป็น 1
 sza = ค่า cosine มุมเชนิชของดวงอาทิตย์ (องศา)

การเรียกใช้งานโปรแกรม UVSPEC

โปรแกรมที่ใช้งานในปัจจุบันจะทำงานบนระบบปฏิบัติการ Windows ซึ่งเมื่อกรอกข้อมูลค่า input ที่จำเป็นต้องใช้เรียบร้อยแล้ว (ในที่นี่จะเป็น input file ที่มีนามสกุล “txt”) จะต้องเข้าสู่การทำงานใน Dos mode หลังจากนั้นทำการ run โปรแกรมโดยใช้รูปแบบคำสั่ง ดังนี้

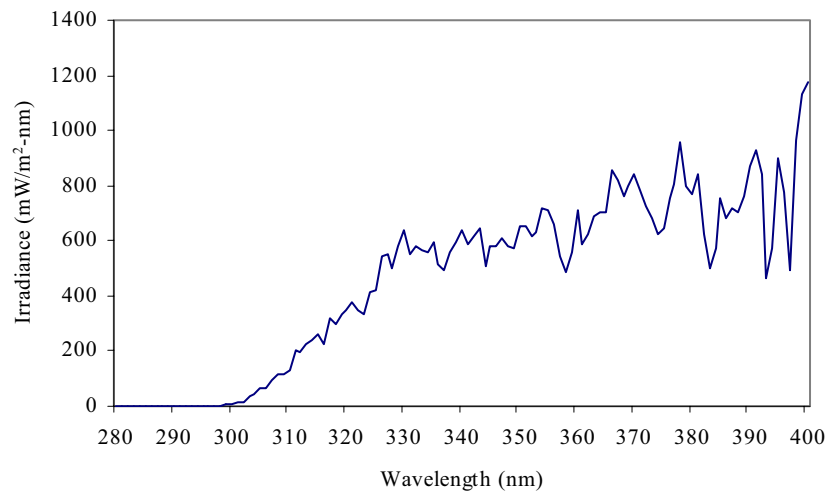
```
...\\libRadtran-1.3>UVSPEC <input_file> output_file
```

ในที่นี่ input file คือ input.txt สำหรับ output_file จะใส่เป็นชื่ออะไรก็ได้แต่ผลลัพธ์ที่ออกมามาจะเป็น Unicode สามารถเรียกดูได้ด้วยโปรแกรมประยุกต์ที่เป็น text editor ทั่วไปรวมทั้ง spread sheet ด้วย

ตัวอย่าง output ของโปรแกรม UVSPEC

Lambda (nm)	edir (mW/m ²)	edn (mW/m ²)	eup (mW/m ²)	uavgdir (mW/m ²)	uavgdn (mW/m ²)	Uavgup (mW/m ²)
280	0.00E+00	0.00E+00	0.00E+00	0.00E+00	0.00E+00	0.00E+00
281	0.00E+00	0.00E+00	0.00E+00	0.00E+00	0.00E+00	0.00E+00
282	0.00E+00	0.00E+00	0.00E+00	0.00E+00	0.00E+00	0.00E+00
283	0.00E+00	0.00E+00	0.00E+00	0.00E+00	0.00E+00	0.00E+00
284	0.00E+00	0.00E+00	0.00E+00	0.00E+00	0.00E+00	0.00E+00
285	0.00E+00	0.00E+00	0.00E+00	0.00E+00	0.00E+00	0.00E+00
286	0.00E+00	0.00E+00	0.00E+00	0.00E+00	0.00E+00	0.00E+00
287	0.00E+00	0.00E+00	0.00E+00	0.00E+00	0.00E+00	0.00E+00
288	0.00E+00	0.00E+00	0.00E+00	0.00E+00	0.00E+00	0.00E+00
289	0.00E+00	0.00E+00	0.00E+00	0.00E+00	0.00E+00	0.00E+00
290	3.79E-04	1.08E-03	2.45E-04	3.96E-05	1.43E-04	4.95E-05
291	1.32E-03	3.82E-03	9.69E-04	1.38E-04	5.10E-04	1.91E-04
292	5.84E-03	1.73E-02	4.50E-03	6.10E-04	2.33E-03	8.87E-04
293	1.45E-02	4.36E-02	1.15E-02	1.52E-03	5.91E-03	2.28E-03
294	4.13E-02	1.26E-01	3.42E-02	4.31E-03	1.73E-02	6.76E-03
295	9.09E-02	2.82E-01	7.75E-02	9.48E-03	3.88E-02	1.54E-02
296	2.47E-01	7.81E-01	2.18E-01	2.57E-02	1.08E-01	4.33E-02
297	3.96E-01	1.27E+00	3.61E-01	4.13E-02	1.77E-01	7.17E-02
298	8.34E-01	2.72E+00	7.85E-01	8.68E-02	3.81E-01	1.56E-01
299	1.27E+00	4.19E+00	1.22E+00	1.32E-01	5.89E-01	2.44E-01
300	1.93E+00	6.45E+00	1.91E+00	2.00E-01	9.12E-01	3.80E-01
301	3.27E+00	1.10E+01	3.27E+00	3.40E-01	1.56E+00	6.55E-01
302	4.14E+00	1.40E+01	4.17E+00	4.31E-01	1.99E+00	8.35E-01
303	8.94E+00	3.04E+01	9.10E+00	9.29E-01	4.33E+00	1.82E+00
304	1.01E+01	3.43E+01	1.03E+01	1.05E+00	4.90E+00	2.07E+00
305	1.50E+01	5.10E+01	1.54E+01	1.55E+00	7.31E+00	3.09E+00
306	1.56E+01	5.28E+01	1.59E+01	1.62E+00	7.58E+00	3.21E+00
307	2.14E+01	7.26E+01	2.20E+01	2.22E+00	1.04E+01	4.42E+00
308	2.64E+01	8.92E+01	2.70E+01	2.74E+00	1.28E+01	5.45E+00
309	2.65E+01	8.91E+01	2.71E+01	2.75E+00	1.28E+01	5.46E+00
310	2.97E+01	9.98E+01	3.04E+01	3.08E+00	1.44E+01	6.13E+00
311	4.64E+01	1.54E+02	4.70E+01	4.81E+00	2.23E+01	9.51E+00
312	4.62E+01	1.53E+02	4.67E+01	4.79E+00	2.21E+01	9.44E+00
313	5.32E+01	1.75E+02	5.34E+01	5.50E+00	2.53E+01	1.08E+01
314	5.70E+01	1.85E+02	5.67E+01	5.90E+00	2.69E+01	1.15E+01
315	6.09E+01	1.97E+02	6.04E+01	6.31E+00	2.86E+01	1.22E+01
316	5.43E+01	1.74E+02	5.33E+01	5.62E+00	2.52E+01	1.08E+01
317	7.72E+01	2.45E+02	7.51E+01	7.99E+00	3.56E+01	1.53E+01
318	7.16E+01	2.25E+02	6.89E+01	7.40E+00	3.26E+01	1.40E+01
319	8.09E+01	2.53E+02	7.77E+01	8.36E+00	3.68E+01	1.58E+01
320	8.65E+01	2.65E+02	8.14E+01	8.94E+00	3.85E+01	1.65E+01

ตัวอย่างกราฟสเปกตรัมรังสีอัลตราไวโอเลตที่คำนวณได้จาก UVSPEC



รูปที่ A2.1 แสดงตัวอย่างสเปกตรัมรังสีอัลตราไวโอเลตที่คำนวณจาก UVSPEC

ภาคผนวก 3

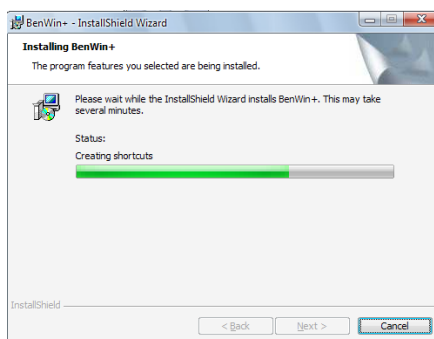
การใช้โปรแกรม BenWin+ ในการควบคุมการทำงานของ
เครื่อง spectroradiometer Bentham, DMc 150

โปรแกรมควบคุมการทำงานของเครื่อง spectroradiometer Bentham, DMc 150

A3.1 การติดตั้งโปรแกรม BenWin+

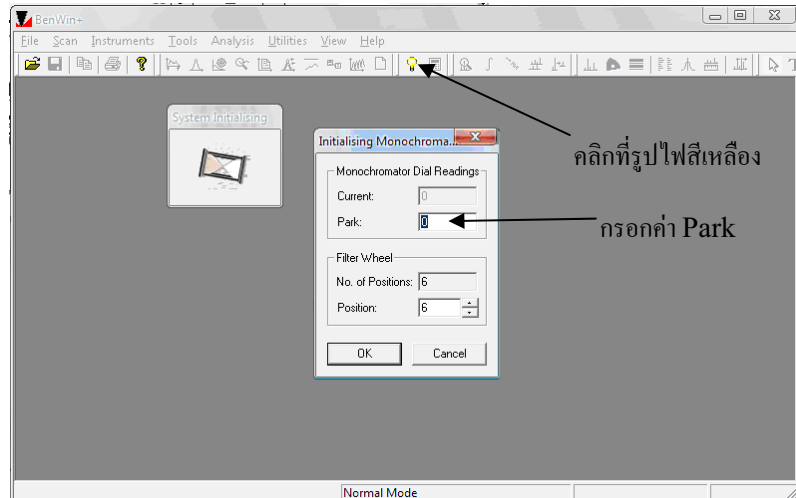
หลังจากที่ได้ทำการติดตั้งระบบฮาร์ดแวร์ของเครื่องวัดสเปกตรัม spectroradiometer Bentham, DMc150 เรียบร้อยแล้ว spectroradiometer จะยังไม่สามารถที่จะทำงานได้เนื่องจากต้องใช้ชุดคำสั่งในการสั่งการให้เครื่องทำการตรวจวัด ซึ่งชุดคำสั่งดังกล่าวได้ถูกรวบรวมอยู่ในชุดโปรแกรม BenWin+ ที่พัฒนาโดยบริษัท Bentham instruments Limited ในขั้นตอนนี้จะเป็นการติดตั้งโปรแกรมและทำการตั้งค่าเริ่มแรกให้กับเครื่องมือ spectroradiometer ซึ่งมีขั้นตอนดังนี้

1. เปิดเครื่อง spectroradiometer Bentham และต่อสาย USB เข้ากับเครื่องคอมพิวเตอร์
2. รอให้คอมพิวเตอร์ตรวจเจอไคร์เวอร์ของเครื่องมือ (ถ้าใช้win โควส์ xp จะมีอยู่ในตัวwin โควส์อยู่แล้ว)
3. ติดตั้งโปรแกรม BenWin+ ลงในเครื่องคอมพิวเตอร์ (รันไฟล์ Setup.exe)



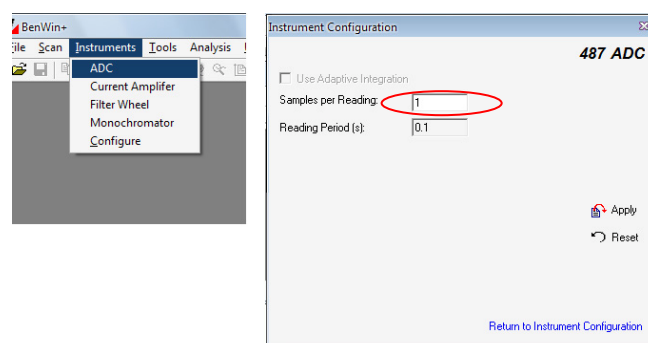
รูปที่ A3.1 แสดงการติดตั้งโปรแกรม BenWin+

4. หลังจากที่ติดตั้งโปรแกรมเสร็จเรียบร้อยแล้วจะต้องทำการติดตั้ง configuration ที่ใช้สำหรับในการติดต่อระหว่างเครื่องคอมพิวเตอร์กับเครื่อง spectroradiometer ที่อยู่ในแผ่นติดตั้งในโฟลเดอร์ ...\\system\\ โดยคัดลอกนามาบัญช์โฟลเดอร์ ..\\Program Files\\Bentham\\ BenWin+\\
5. เครื่อง spectroradiometer ที่ใช้เครื่องควบคุมอุณหภูมิ (Environbox) จะต้องทำการคัดลอกไฟล์ ENV_487.dll จากโฟลเดอร์ ..\\Add on\\ ที่อยู่ในแผ่นติดตั้งมาไว้ที่ ...\\Program Files \\Bentham\\ BenWin+\\Add on\\
6. เมื่อเริ่มต้นโปรแกรมครั้งแรกจะต้องทำการกำหนดค่าของระบบโดยทำการเริ่มระบบก่อนเป็นขั้นตอนแรก วิธีการแสดงดังรูป A3.2 กรอกค่า Park ตามที่บริษัทให้มา (ในที่นี้เป็น 835.45)



รูปที่ A3.2 แสดงการ initialise Monochromator ซึ่งเป็นการเริ่มต่อเครื่องคอมพิวเตอร์กับ spectroradiometer

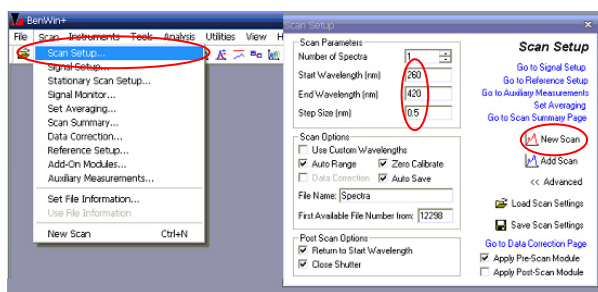
- ก่อนที่จะทำการวัดควรทำการตั้งค่าจำนวนครั้งในการวัดต่อข้อมูล 1 ความยาวคลื่นที่เหมาะสมโดยสามารถที่จะทำได้ดังรูปที่ A3.3 (ค่าปกติอยู่ที่ 5) โดยที่ค่าอิ่มมากการวัดจะมีความถูกต้องมากแต่จะเสียเวลาในการวัดนานขึ้น



รูปที่ A3.3 การตั้งค่าจำนวนครั้งในการเก็บข้อมูลต่อ 1 ความยาวคลื่น

- โปรแกรม BenWin+ สามารถที่จะทำการ integrate spectrum ได้ทันที แต่ผู้ใช้แนะนำว่าควรเก็บข้อมูลการวัดในรูปของข้อมูลดิบเนื่องจากสามารถที่จะนำไปประยุกต์ใช้ได้มากกว่า

9. การวัดรังสีอัลตราไวโอลেตสามารถทำการวัดได้โดยใช้คำสั่งดังรูปที่ A3.4 โดยผู้ใช้งานต้องทำการกำหนดช่วงความยาวคลื่นและ step size ที่จะทำการเก็บข้อมูล เมื่อกำหนดค่าเสร็จแล้ว เริ่มต้นการวัดค่าด้วยการกดที่ New Scan



รูปที่ A3.4 แสดงเมนูที่ใช้สำหรับการวัดспектروم

ตัวอย่างไฟล์ข้อมูลที่ได้จากการวัด

VERSION: BenWin+ Version: 1.0.4.13

CREATED: 1 มีนาคม 2551 10:10:48AM

TIME CODE: 0x307d8, 0x10006, 0xa000a, 0x24b0030

NO SPECTRA: 0

SCAN SUMMARY START:

200: Start Scan. Step Size: 2 nm

200: Samples per reading: 1

200: DM150 Monochromator: Grating selected

200: Filter Wheel: Position 1

200: 487 DC Amplifier: Channel 1

600: End Scan

SCAN SUMMARY END

SPECTRUM NAMES:

s24882_1

SPECTRUM NAMES END

ZERO CALIBRATION INFO:

1, 1, 200 nm, 0.017 nA, 392

ZERO CALIBRATION INFO END

PRE-SCAN MODULE:

Name: ENV_487.dll

Description: Envirobox(487)

Information: Y

Applied to all spectra.

PRE-SCAN MODULE END

MEASUREMENT TYPE/UNITS: Signal / nA

MEASUREMENT TYPE/UNITS CODE: 0 100

X AXIS TYPE: 0

INTEGRALS:

1 Irradiance 1109209.9 0 nm nA

INTEGRALS END

ADD-ON MODULE MEASUREMENTS:

1 Temp 22.72 0 C

1 HV 757.13 0 V

ADD-ON MODULE MEASUREMENTS END

ADD-ON MODULE CURVE MEASUREMENTS:

ADD-ON MODULE CURVE MEASUREMENTS END

COLORIMETRY:

s24882_1

x: 0.1573

y: 0.1535

u: 0.1390

v: 0.2035

u': 0.1390

v': 0.3052

Dominant Wavelength: 476 nm

Purity: 75.3 %

Colour Temperature: Not defined

Ra: 0.0 %

R1: 0.0 %

R2: 0.0 %

R3: 0.0 %

R4: 0.0 %

R5: 0.0 %

R6: 0.0 %

R7: 0.0 %

R8: 0.0 %

R9: 0.0 %

R10: 0.0 %

R11: 0.0 %

R12: 0.0 %

R13: 0.0 %

R14: 0.0 %

In Region: None

COLORIMETRY END

POINTS IN SPECTRUM:

201

POINTS IN SPECTRUM END

200 0.002677

... ...

... ...

... ...

396 9779.98

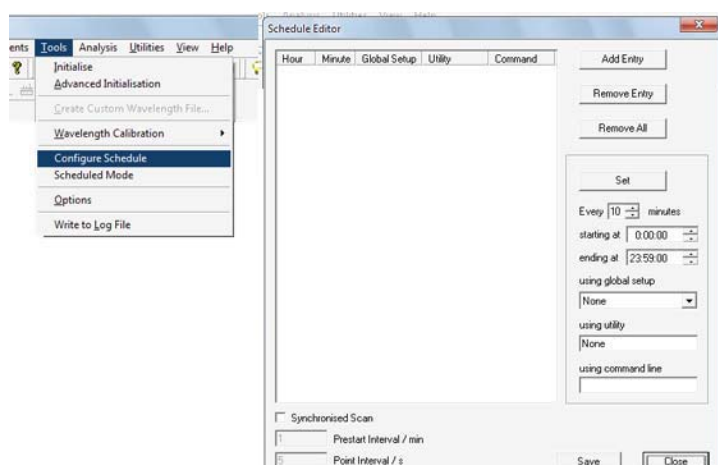
398 8024.98

400 19400

A3.2 การตั้งค่าสำหรับการตรวจวัดสเปกตรัมอย่างต่อเนื่อง

สำหรับการตรวจวัดข้อมูลรังสีอัลตราไวโอเลตระยะยาว เครื่อง spectroradiometer ของบริษัท Bentham มีฟังก์ชันที่ใช้สำหรับการควบคุมให้เครื่องทำการวัดในช่วงเวลาที่กำหนดไว้ได้โดยการตั้ง mode การวัด schedule ซึ่งสามารถทำได้ดังนี้

- ที่หน้าต่างหลักโปรแกรม BenWin+ เข้าไปที่เมนู Tools และเลือกที่ Configure Schedule เมื่อเลือกเข้าไปแล้วจะมีหน้าต่างเกิดขึ้นดังรูปที่ A3.5 ซึ่งก็คือหน้าต่างสำหรับกำหนดค่า schedule



รูปที่ A3.5 แสดงหน้าต่างกำหนดค่าตารางเวลา (Schedule) ในการวัดข้อมูล

- ในหน้าต่าง schedule editor สามารถระบุเวลาให้เครื่อง spectroradiometer ทำการวัด ได้โดยคลิกที่ Add Entry และระบุเวลาลงไปในช่องเวลาที่ปรากฏขึ้น
- ในโปรแกรมนี้สามารถที่จะตั้งค่ารอบของการวัด(นาที)ได้ที่ช่องกรอกข้อมูล หลังคำว่า Every และคลิกที่ Set
- หลังจากตั้งค่าเรียบร้อยแล้วให้ทำการ save schedule ไว้
- ในการใช้งาน ให้ไปที่เรียกเมนู tools และเลือกที่ Schedule Mode เปิดไฟล์ Schedule ที่ได้ Save ไว้ขึ้นมา (หากโปรแกรมยังไม่ได้ initialize โปรแกรมจะเรียกว่องให้ทำการ initialize โดยอัตโนมัติ)
- หลังจากที่ได้เรียกการทำงานของ Schedule Mode และที่บาร์ Status bar ด้านล่างของจอจะมีตัวอักษรขึ้นแสดงเวลาถัดไปที่เครื่อง spectroradiometer จะทำการตรวจวัดข้อมูล (Scheduled Mode: Next Acquisition at XX:XX)

ในขณะที่ schedule ทำงานโปรแกรม BenWin+ จะทำการวัดตามเวลาใน schedule ก่อน โดยจะหยุดการวัดอื่นไว้ชั่วคราว รอให้การวัดใน schedule เสร็จก่อน จึงทำการวัดที่ค้างไว้ ในบางครั้งอาจทำให้โปรแกรมขัดข้อง จึงไม่สมควรที่จะทำการวัดสเปกตรัมในขณะใช้ schedule mode

ในการตั้งช่วงเวลาของ schedule ช่วงเวลาของการวัดจะเป็น 2 เท่าของเวลาที่กำหนด ตัวอย่าง เช่น เมื่อกำหนดช่วงเวลาในการวัดเป็นช่วงละ 10 นาที จะทำให้ช่วงเวลาที่เครื่อง spectroradiometer ทำการวัดจะเป็นทุก 20 นาที ดังนั้นถ้าต้องการให้เครื่อง spectroradiometer ทำการวัดทุกๆ 10 นาที จึงต้องลดเวลาใน schedule เป็น 5 นาที

ภาคผนวก 4
Specification ของเครื่อง Bentham

Specification ของเครื่อง spectroradiometer Bentham

Specification : DMc150F

Configuration	Two symmetrical Czerny Turner monochromators arranged for additive dispersion (or subtractive dispersion - factory set only)
Focal Length	Total focal length - 300mm; Individual Units - 150mm
Aperture Ratio	F/4
Slits	Interchangeable fixed slits, micrometer adjusted, variable or motorized (see over)
Order Sorting	Unit can be fully order sorted from 200 nm to 30 microns by using option 252 and Bentham OS series of order sorting filters.
Gratings	33 mm square plain gratings kinematically mounted to allow change-over without loss of calibration. A range of gratings covers 200nm to 30 microns.
Resolution	Limit resolution with 1200 lines/mm gratings is better than 0.5nm
Stray Light.	For measurement of notch filter in visible with quartz halogen light, stray light is less than 10^{-8}
Wavelength Scanning	By integral stepping motor and micro stepping drive electronics
Maximum Scanning.	Speed For 1200 lines/mm grating maximum scanning speed is 30nm/second
Wavelength Accuracy	$\pm 0.3\text{nm}$ over normal operating range of 1200 lines/mm grating (no software correction) $\pm 0.05\text{nm}$ with software correction
Reciprocal Dispersion	2.7 nm/mm with 1200 lines/mm grating
PC Interface 8	Integral IEEE-48
Power Supply	Mains input 110/220V 50/60Hz
Weight	12 kg
Overall Dimensions	300 mm x 400 mm x 180 mm high
Construction	Single aluminium casting with rebated lid

ประวัติผู้วิจัย

ชื่อสกุล นายสมเจตน์ กัทรพาณิชชัย
ที่อยู่ บ้านเลขที่ 63 หมู่ 5 ตำบลหนองสาหร่าย
อำเภอโคกโจนเจดีย์ จังหวัดสุพรรณบุรี 72170

ประวัติการศึกษา

- พ.ศ. 2544 สำเร็จการศึกษามัธยมศึกษาปีที่ 6 โรงเรียนพระปฐมวิทยาลัย
อำเภอเมือง จังหวัดนครปฐม

พ.ศ. 2548 สำเร็จการศึกษาวิทยาศาสตรบัณฑิต สาขาวิชาฟิสิกส์ คณะวิทยาศาสตร์
มหาวิทยาลัยศิลปากร จังหวัดนครปฐม

พ.ศ. 2549 ศึกษาต่อระดับปริญญาวิทยาศาสตรบัณฑิต สาขาวิชาฟิสิกส์
บัณฑิตวิทยาลัย มหาวิทยาลัยศิลปากร จังหวัดนครปฐม